

МИНИСТЕРСТВО ОБРАЗОВАНИЯ И НАУКИ  
РОССИЙСКОЙ ФЕДЕРАЦИИ

МОСКОВСКИЙ ГОСУДАРСТВЕННЫЙ УНИВЕРСИТЕТ  
ИМЕНИ М. В. ЛОМОНОСОВА

ФАКУЛЬТЕТ ВЫЧИСЛИТЕЛЬНОЙ МАТЕМАТИКИ  
И КИБЕРНЕТИКИ

На правах рукописи

Корныхин Евгений Валерьевич

# **Исследование методов генерации программ для тестирования модулей управления памяти микропроцессоров**

Специальность 05.13.11 – математическое и программное обеспечение  
вычислительных машин, комплексов и компьютерных сетей

Диссертация на соискание ученой степени  
кандидата физико-математических наук

Научный руководитель:  
д.ф-м.н. Петренко Александр Константинович

Москва – 2009

# Оглавление

<b>Введение</b>	<b>5</b>
<b>1 Обзор методов построения тестовых программ</b>	<b>13</b>
1.1 Модуль управления памятью . . . . .	13
1.2 Методы генерации тестовых программ . . . . .	14
1.3 Разработка генераторов тестовых программ . . . . .	16
1.3.1 Разработка генераторов тестовых программ вручную . .	17
1.3.2 Комбинаторные методы генерации тестовых программ .	18
1.3.3 Генерация тестовых программ с использованием методов решения задачи ATPG . . . . .	19
1.3.4 Генерация тестовых программ с использованием методов разрешения ограничений . . . . .	19
1.3.5 Сравнение методов генерации тестовых программ . . . .	22
1.4 Генераторы тестовых данных для абстрактных тестовых воздействий . . . . .	24
1.4.1 Симуляционные методы . . . . .	24
1.4.2 Генерация с использованием символического исполнения . .	25
1.5 Постановка задачи . . . . .	27
1.6 Предварительные сведения и термины . . . . .	30
1.6.1 Типы кэш-памяти . . . . .	30
1.6.2 Таблицы вытеснения . . . . .	31
1.6.3 Методы разрешения ограничений . . . . .	33
<b>2 Методы генерации ограничений для описания поведения тестовых программ</b>	<b>36</b>
2.1 Модель модулей управления памятью . . . . .	36
2.1.1 Кэширующие буферы и таблицы . . . . .	37

2.1.2	Дизъюнктивное представление тестовых ситуаций в кэширующих буферах . . . . .	38
2.2	Совместная генерация ограничений . . . . .	43
2.2.1	Особенности исполнения инструкций обращения к памяти на современных микропроцессорах . . . . .	44
2.2.2	Уровни генерации тестовых данных . . . . .	45
2.2.3	Выделение подзадач на кэширующие буферы . . . . .	47
2.2.4	Метод совместной генерации ограничений . . . . .	49
2.2.5	Корректность и условная полнота совместной генерации . . . . .	53
2.3	Зеркальная генерация тестовых данных . . . . .	54
2.3.1	Корректность зеркального метода . . . . .	56
2.3.2	Полнота зеркального метода. Верхняя оценка длины инициализирующей программы . . . . .	65
2.3.3	Совместно-зеркальная генерация . . . . .	71
2.3.4	Построение инициализирующей программы . . . . .	72
2.4	Единый взгляд на все предлагаемые методы . . . . .	73
<b>3</b>	<b>Методы генерации ограничений для описания стратегий вытеснения</b>	<b>76</b>
3.1	Исследование стратегии вытеснения Pseudo-LRU . . . . .	76
3.2	Метод перебора диапазонов вытеснения записи стратегии вытеснения в виде ограничений . . . . .	85
3.2.1	Метод перебора диапазонов вытеснения для стратегии вытеснения LRU . . . . .	85
3.2.2	Метод перебора диапазонов вытеснения для стратегии вытеснения FIFO . . . . .	92
3.2.3	Метод перебора диапазонов вытеснения для стратегии вытеснения Pseudo-LRU . . . . .	96
3.3	Метод функций полезности записи стратегии вытеснения в виде ограничений . . . . .	98
3.3.1	Метод функций полезности для стратегии вытеснения LRU . . . . .	99
3.3.2	Метод функций полезности для стратегии вытеснения FIFO . . . . .	108

3.3.3	Метод функций полезности для стратегии вытеснения Pseudo-LRU . . . . .	109
3.3.4	Разрешение уравнений, описывающих стратегии вытеснения . . . . .	116
3.4	Ограничения, описывающие тестовые ситуации в некоторых частных случаях, для стратегии вытеснения LRU . . . . .	118
3.4.1	Тестовые шаблоны без кэш-промахов . . . . .	118
3.4.2	Тестовые шаблоны без кэш-попаданий . . . . .	118
3.4.3	Короткие тестовые шаблоны . . . . .	119
3.4.4	Генерация тестовых данных для кэш-памяти, содержащей «грязные» ячейки . . . . .	121
3.4.5	Функции полезности для зеркальной генерации тестовых данных . . . . .	125
3.4.6	Зеркальный метод генерации ограничений для кэш-памяти первого и второго уровня . . . . .	127
<b>4</b>	<b>Программная реализация</b>	<b>131</b>
4.1	Структура генератора тестовых программ . . . . .	131
4.2	Описание тестовых шаблонов . . . . .	134
4.3	Описание тестовых ситуаций . . . . .	139
4.4	Генератор ограничений (ядро) . . . . .	144
<b>5</b>	<b>Апробация</b>	<b>145</b>
5.1	Генерация ограничений для архитектуры MIPS . . . . .	146
5.2	Генерация ограничений для архитектуры PowerPC . . . . .	150
5.3	Генерация ограничений для архитектуры Alpha . . . . .	152
5.4	Генерация ограничений для архитектуры Pentium . . . . .	153
	<b>Заключение</b>	<b>155</b>
	<b>А Таблицы ограничений</b>	<b>157</b>
	<b>Литература</b>	<b>161</b>

# Введение

## Актуальность

Современные программные и аппаратные системы зачастую обладают сложным внутренним устройством и логикой работы. Для повышения эффективности работы этих систем применяются в том числе и механизмы кэширования. В микропроцессорах используется иерархическая кэш-память, в операционных системах используется аппарат виртуальной памяти, включающий в себя кэширование и управления страницами виртуальной памяти, системы управления базами данных используют кэширование для ускорения выдачи данных, удовлетворяющих запросам, кэширование применяется и для оптимизации работы в компьютерных сетях. С увеличением сложности таких систем возрастает вероятность ошибки при их реализации.

Для обнаружения ошибок применяются различные методы, такие как статистический анализ, тестирование, мониторинг, формальная верификация, верификация на моделях и прочие [8]. Данная работа посвящена одному из таких методов, а именно тестированию. Одним из видов тестирования является функциональное тестирование, или тестирование интерфейса системы [5].

Тестирование интерфейса системы осуществляется подачей специальных *тестовых воздействий* (последовательностей стимулов), наблюдением за работой системы или, как минимум, фиксацией реакций системы на тестовое воздействие, и, наконец, вынесением вердикта о соответствии реакций системы требованиям, предъявляемым к системе. Каждое тестовое воздействие моделируется как последовательность обращений к интерфейсным операциям с некоторым набором аргументов [14]. При наличии требований, сформулированных в формальном виде, в качестве критерия тестового покрытия может быть выбрано покрытие элементов требований. Современные системы отличаются большим количеством требований, поэтому для обеспечения

достаточного качества тестирования (достаточного покрытия элементов требований) приходится использовать большое количество тестовых воздействий – не менее одного для каждого элемента покрытия. Такие тестовые воздействия обладают большим количеством внутренних зависимостей и требований на тестовые данные – значения аргументов интерфейсных операций и состояние системы перед тестовым воздействием. Всё это приводит к уменьшению количества допустимых тестовых данных и уменьшению эффективности применения переборных и вероятностных алгоритмов построения тестовых данных [37].

Тем не менее в такой области построения тестовых воздействий, как построения тестов и верификация микропроцессоров, последние годы сделан существенный шаг вперед [22, 45]. Он связан с использованием алгоритмов, которые позволяют выражать отношения на объектах и строить эффективные *процедуры разрешения* этих отношений (*ограничений*) с целью построения объектов, на которых заданные отношения выполнены [64]. Такие методы получили название методов генерации тестов *с использованием ограничений*. Однако задача построения эффективных процедур разрешения систем ограничений в общем случае является нетривиальной задачей. Поэтому следует ограничиться некоторым классом тестируемых систем и в данной работе это будут микропроцессоры.

Тестирование микропроцессоров является неотъемлемой частью процесса их разработки. Тестирование может осуществляться на этапе проектирования микропроцессора, такое тестирование называют *имитационным*. Функциональное тестирование микропроцессоров может проводиться на системном или модульном уровне. При *системном тестировании* тестовым воздействием является программа на языке ассемблера микропроцессора (*тестовая программа*). При *модульном тестировании* тестовым воздействием является сигнал, подаваемый на интерфейсные входы тестируемого модуля. Системное тестирование микропроцессора оказывается дешевле модульного тестирования, поскольку не нужно предварительно выделять модуль из всего микропроцессора, подводить к его входам нужные сигналы и принимать выходные и промежуточные сигналы.

В случае функционального тестирования микропроцессоров интерфейсными операциями являются инструкции микропроцессора, тестовыми воз-

действиями – программы на языке ассемблера микропроцессора, требования на тестовые воздействия оформляются специальным образом в виде *тестовых шаблонов* [45]. Была показана эффективность систематического построения тестовых шаблонов (на основе модели микропроцессора) [6], однако описанный способ построения тестовых воздействий по таким тестовым шаблонам включал большую долю ручной работы. Поэтому представляется перспективным объединить предложенные систематические методы построения тестовых шаблонов и методы построения тестовых воздействий с помощью ограничений для автоматизации построения тестовых программ. Это поможет снизить трудозатраты на их подготовку и ускорить выполнение тестирования.

Тестовое воздействие включает в себя перевод микропроцессора в некоторое специальное состояние. При этом возможные ошибки могут проявиться уже при этом переводе. Поэтому представляется перспективным исследование методов построения тестовых воздействий небольшой длины и методов построения тестовых программ по тестовым шаблонам с использованием начального состояния микропроцессора, что тоже нацелено на сокращения размера тестового воздействия.

## Цели и задачи работы

Целью диссертационной работы является исследование и разработка методов автоматического построения тестовых программ по тестовым шаблонам. Для достижения цели были поставлены следующие задачи:

- провести анализ существующих методов построения тестовых программ;
- разработать новые методы построения тестовых программ по тестовым шаблонам, которые позволяют снизить сложность процедуры генерации ограничений и их разрешения;
- провести апробацию предложенных методов для современных архитектур микропроцессоров.

## Основные результаты работы

Основные научные результаты, полученные в рамках диссертационной работы и выносимые на защиту, состоят в следующем:

1. метод генерации ограничений (т.н. *совместная генерация ограничений*) для тестовых шаблонов, нацеленных на тестирование инструкций обращения к памяти, с использованием заданного начального состояния микропроцессора;
2. метод *зеркальной генерации* ограничений для тестовых шаблонов, нацеленных на тестирование инструкций обращения к памяти, без использования начального состояния микропроцессора;
3. метод описания стратегий вытеснения в кэш-памяти в виде ограничений *перебором диапазонов вытеснения*, т.е. части тестового шаблона, непосредственно влияющего на вытеснение;
4. метод описания стратегий вытеснения в кэш-памяти в виде ограничений *с использованием функций полезности*, т.е. ограничений на количество инструкций, способствующих вытеснению.

## Научная новизна работы

Следующие результаты являются новыми:

1. модель модулей управления памятью микропроцессоров;
2. метод совместной генерации ограничений для тестовых шаблонов;
3. метод зеркальной генерации ограничений для тестовых шаблонов;
4. метод перебора диапазонов вытеснения для описания стратегий вытеснения;
5. метод функций полезности для описания стратегий вытеснения;
6. определение стратегии вытеснения Pseudo-LRU на ветвях бинарного дерева.



## Практическая значимость

Результаты диссертации могут быть использованы в проектах по функциональному тестированию микропроцессорных систем (RISC-архитектуры, некоторые CISC-архитектуры), операционных систем, в работах, связанных с исследованием механизмов кэширования и трансляции адресов.

Практическая значимость подтверждается применимостью предложенных идей к практически значимым архитектурам микропроцессоров и тестовым шаблонам.

## Доклады и публикации

Основные результаты диссертации докладывались на следующих конференциях и семинарах:

- Второй весенний коллоквиум молодых исследователей в области программной инженерии (SYRCoSE: Spring Young Researchers Colloquium on Software Engineering, г. Санкт-Петербург, 2008 г.);
- XVI Международная конференция студентов, аспирантов и молодых учёных «Ломоносов» (г.Москва, 2009 г.);
- XVI Всероссийская межвузовская научно-техническая конференция студентов и аспирантов «Микроэлектроника и информатика - 2009» (г.Москва, Зеленоград, 2009 г.);
- Третий весенний коллоквиум молодых исследователей в области программной инженерии (SYRCoSE: Spring Young Researchers Colloquium on Software Engineering, г. Москва, 2009 г.);
- IV летняя международная школа аспирантов по научным вычислениям (г.Москва, 2009 г.);
- Семинарах Института системного программирования РАН (г. Москва, 2009 г.).

По материалам диссертации опубликованы работы [7, 9–13, 48–50], полно отражающие основные результаты диссертации.

# Структура и объем диссертации

Работа состоит из введения, 5 глав, заключения, списка литературы (74 наименования) и приложения. Основной текст диссертации (без приложения и списка литературы) занимает 153 страницы.

## Краткое содержание работы

Первая глава является обзорной и содержит описание методов построения тестовых программ по тестовым шаблонам, примененных в различных промышленных проектах по тестированию микропроцессоров, а также методы построения генераторов тестовых программ. Рассматриваются построение генераторов вручную, комбинаторные методы, использование задачи АТПГ [17] и использование ограничений. Описываются достоинства и недостатки различных методов. Основное внимание уделяется качеству генерируемых тестовых программ, полноте и применимости методов. В конце главы дается анализ существующих методов генерации тестовых программ по тестовым шаблонам, уточняются цели и задачи диссертационной работы. Завершается глава предварительными сведениями и терминами, полезными при чтении остальной части диссертации. К таковым относятся описанием типов кэш-памяти, представление стратегий вытеснения в виде таблиц вытеснения и небольшой обзор методов разрешения ограничений.

Во второй главе описываются предлагаемые автором методы генерации ограничений для тестовых шаблонов, нацеленных на тестирование механизмов кэширования, и модель модулей управления памятью, на основе которой происходит выделение ограничений. Рассматриваются предлагаемые автором методы совместной и зеркальной генерации. В основе совместного метода генерации ограничений лежит возможность сокращения размера ограничений для инструкций, которые обращаются к нескольким подсистемам микропроцессора в процессе своего исполнения. Метод позволяет эффективно выбрать часть начального состояния микропроцессора, действительно влияющую на исполнение инструкции, и тем самым сократить размер ограничений. Формулируются и доказываются теоремы корректности и условной полноты совместной генерации ограничений (полнота при условии, что состояние кэширу-

ющих подсистем микропроцессора не меняется перед исполнением инструкций тестового шаблона). В основе зеркального метода генерации ограничений лежит эвристика о том, что любой адрес в программе должен появиться как минимум дважды для гарантирования его тестовой ситуации при повторных обращениях: вне зависимости от начального состояния микропроцессора каждый элемент тестового воздействия должен быть предварительно подготовлен последовательностью инструкций, начинающихся с обращения к тому же элементу. Зеркальный метод генерации ограничений дополняет метод совместной генерации ограничений. В отличие от совместной генерации зеркальная генерация дает решение, если оно существует, правда, большей длины, чем длина тестовой программы от совместной генерации. Формулируются и доказываются теоремы о корректности и полноте зеркального метода генерации ограничений. Эти теоремы формально обосновывают применение зеркального метода. Также в разделе формулируется и доказывается теорема о дизъюнктивном представлении тестовых ситуаций. Эта теорема дает способ генерирования ограничений для тестовых ситуаций в кэширующих буферах на основе изменений содержимого кэширующих буферов как множества.

В третьей главе описываются предлагаемые автором методы генерации ограничений, описывающих стратегию вытеснения в кэширующих буферах. Это методы перебора диапазонов вытеснения и метод функций полезности. Метод перебора диапазонов вытеснения позволяет записать ограничения лишь на часть тестового воздействия, непосредственно влияющую на вытеснение в данной инструкции. Метод функций полезности предлагает описать вытеснение как ограничение на количество *полезных к вытеснению* инструкций. В разделе формализуются и доказываются теоремы о корректности и полноте применения предлагаемых методов генерации ограничений, описывающих стратегию вытеснения для стратегий вытеснения LRU, FIFO и Pseudo-LRU. В начале главы дается новое определение стратегии вытеснения Pseudo-LRU (определение «на ветвях бинарного дерева»), показывается его эквивалентность другим определениям этой стратегии вытеснения. Определение «на ветвях бинарного дерева» полезно для исследований стратегии вытеснения с точки зрения одного вытесняемого тега (другие определения описывают изменение всего набора тегов).

В четвертой главе описывается программная реализация генерато-

ра ограничений. Описывается архитектура генератора, процесс подготовки входных данных и формат описания тестовых шаблонов и особенностей архитектуры микропроцессора.

В пятой главе описываются результаты апробации предлагаемых автором методов построения тестовых программ по тестовым шаблонам с использованием ограничений. А именно в главе показывается, как с использованием предлагаемых методов сгенерировать ограничения, описывающие работу MMU микропроцессоров для таких архитектур как PowerPC, Alpha, MIPS и Pentium. Для каждой архитектуры на примере одного из микропроцессоров составляется структура MMU и показываются схемы совместной генерации ограничений. Для микропроцессора архитектуры MIPS приведены результаты экспериментов с прототипом генератора тестовых программ, реализованным автором работы. Основным результатом главы является обоснование того, что предлагаемые автором методы достаточны для применения при тестировании современных архитектур микропроцессоров и соответствуют поставленным в работе целям.

# Глава 1

## Обзор методов построения тестовых программ

### 1.1 Модуль управления памятью

Модуль управления памятью (MMU, Memory Management Unit) — логически связанный набор модулей микропроцессора, который выполняет основные функции обращения к памяти [66]. Практически ни один микропроцессор не обходится без MMU, причем его организация становится всё сложнее, а требования к корректности функционирования — всё строже.

MMU используется для выполнении инструкций обращения к памяти. Основными функциями MMU являются:

1. *трансляция адресов*: преобразование логических адресов в физические;
2. *организация виртуальной памяти*;
3. *организация защиты* адресного пространства процесса от других процессов;
4. *организация кэширования данных оперативной памяти* (иногда эту функцию включают в MMU [1], иногда — нет [3]).

Согласно этим функциям MMU может управлять следующими модулями микропроцессора:

- кэш-память (кэш-память данных и кэш-память инструкций) первого уровня, второго уровня (возможно, и третьего уровня);

- TLB (Translation Lookaside Buffer) – буфер, задающий соответствие некоторых страниц виртуальной памяти кадрам физической памяти;
- таблица страниц – различным образом организованное полное соответствие всех страниц виртуальной памяти кадрам физической памяти;
- сегментные регистры – содержат адреса начала сегментов;
- различные другие буферы.

Организация кэширования в MMU отличается от организации кэширования программных систем (баз данных, операционных систем) тем, что в микропроцессорах применяется довольно ограниченный набор стратегий вытеснения. Наиболее часто применяются стратегии вытеснения LRU, FIFO и Pseudo-LRU. Это связано с особыми требованиями к эффективности реализации алгоритмов вытеснения в микропроцессорах (вся реализация алгоритма вытеснения должна располагаться на кристалле и не давать большой проигрыш по времени).

Для описания модулей управления памятью применяются различные *модели*. *Структурные модели* описывают множество модулей, которыми управляет MMU в данном микропроцессоре. *Потоковые модели* описывают потоки данных алгоритма получения физических адресов по виртуальным. В качестве данных используются битовые поля физических и виртуальных адресов [25]. Применение автоматных моделей для описания MMU в литературе не замечено.

## 1.2 Методы генерации тестовых программ

Тестирование микропроцессоров является важной составляющей частью процесса их разработки. Тестированию может подвергаться как готовый чип, так и модель. Тестирование может проводиться как на модульном, так и на системном уровне. В данной работе речь идет о системном функциональном тестировании. Иными словами, целью тестирования является проверка правильности функционирования микропроцессора целиком. Эта проверка выполняется путем запуска на микропроцессоре специальных машинных программ (далее такие программы будут называться *тестовыми*).

Системное функциональное тестирование микропроцессоров включает в себя следующие этапы [6]:

1. определение целей тестирования, тестового покрытия и тестовых ситуаций (структурные – какие инструкции включать в тестирование – и функциональные – как инструкции должны быть исполнены);
2. генерация тестовых программ для тестовых ситуаций;
3. исполнение тестовых программ на микропроцессоре, получение выходных данных (трасса исполнения, финальные значения регистров);
4. вынесение вердикта на основе анализа выходных данных.

Данная работа посвящена этапу генерации тестовых программ. В настоящее время в практике системного функционального тестирования микропроцессоров можно выделить следующие подходы к построению тестовых программ:

- *ручная разработка тестовых программ* хоть и практически неприменима для полного тестирования микропроцессора, всё же может применяться для тестирования особых, крайних случаев;
- *тестирование с использованием кросс-компиляции* применяется часто из-за невысокой сложности его проведения: после согласования спецификации микропроцессора можно начинать делать кросс-компилятор, а код, предназначенный для кросс-компиляции, уже готов. Однако гарантировать полноту такое тестирование не может;
- *случайная генерация тестовых программ* применяется так же часто в силу простоты автоматизации. Сгенерированные таким образом тестовые программы позволяют быстро обнаружить простые ошибки, однако не гарантируют полноты тестирования. Разрабатываются и более сложные варианты случайной генерации [20];
- *генерация тестовых программ на основе тестовых шаблонов* предполагает разделение процесса генерации тестовой программы на два этапа: на первом на основе тестовых ситуаций подготавливаются тестовые

шаблоны – абстрактные представления тестовых программ – а на втором этапе по тестовым шаблонам генерируются тестовые программы.

Тестовые шаблоны могут описывать следующие свойства тестовых программ:

- заданная последовательность инструкций (только коды операций или коды операций с аргументами);
- заданная последовательность типов инструкций;
- выборка инструкций заданных типов;
- аргументы инструкций (регистры, непосредственные значения, переменные величины);
- дополнительные ограничения на инструкции;
- дополнительные ограничения на отдельные аргументы инструкций, аргументы разных инструкций;
- дополнительные функциональные ограничения на инструкции (при исполнении должны произойти некоторые заданные события).

## 1.3 Разработка генераторов тестовых программ

Выделяют следующие подзадачи при генерации тестовых программ по тестовым шаблонам (подзадачи могут решаться по отдельности [6] или итеративно для каждой очередной выделяемой инструкции [45]):

1. выбор последовательности инструкций / выбор очередной инструкции;
2. выбор аргументов (не значений, а имен аргументов!) инструкций / выбор аргументов очередной инструкции;
3. построение программы, инициализирующей микропроцессор для выполнения инструкций тестового шаблона (или построение *инициализирующей программы*).



Решение этих задач составляет основу генераторов тестовых программ. Настоящая работа посвящена исследованию методов построения инициализирующих программ. Исследователями предложены следующие классы методов решения этой задачи:

1. разработка генераторов тестовых программ вручную (не путать с разработкой тестовых программ вручную);
2. комбинаторные методы;
3. использование методов генерации входных векторов (АТПГ [55]);
4. использование методов разрешения ограничений.

### **1.3.1 Разработка генераторов тестовых программ вручную**

В Институте Системного Программирования РАН группой под руководством Александра Камкина разработана технология системного функционального тестирования микропроцессоров с использованием тестовых шаблонов [1, 6]. Построение тестовых шаблонов осуществляется полуавтоматически на основе тестового покрытия по модели системы инструкций микропроцессора. Тем самым гарантированно обеспечивается заданная метрика качества тестирования. Тестовые шаблоны представляются в виде последовательностей инструкций с зависимостями между их аргументами (например, «запись-чтение») и тестовыми ситуациями для инструкций.

Для получения тестовых программ по сгенерированным тестовым шаблонам следует реализовать на языке Java *конструкторы тестовых данных*. Под «тестовыми данными» понимаются значения регистров, аргументы инструкций обращения к памяти для инициализации состояния кэш-памяти и ячеек оперативной памяти, если это требуется. Все зависимости в тестовом шаблоне обладают направлением, конструирование аргументов инструкций производится итеративно, начиная с инструкций, от которых не зависят от еще не обработанные инструкции. Для выбора независимых значений используется случайная генерация.

### 1.3.2 Комбинаторные методы генерации тестовых программ

Тестовый шаблон состоит из заданной последовательности инструкций, аргументами которых являются переменные величины. Кроме того для каждой переменной величины указывается конечная область значений. Все значения в области равноправны. Тестовая программа содержит ту же последовательность инструкций, а для каждого аргумента выбрано значение из области значений этого аргумента. В комбинаторных методах инструкции воспринимаются лишь как синтаксические объекты (термы) – у них есть лишь имя и аргументы (возможно типизированные).

Последовательность инструкций может быть задана неявно, но у каждой инструкции всё же будут переменные величины в качестве аргументов и для каждой переменной величины задана область значений. Исследователи из Fujitsu Lab. [36] предлагают описать последовательность инструкций в виде выражений (Test Specification Expressions, TSE), а семантику инструкций – на языке ISDL [41]. Отдаленно TSE могут напоминать регулярные выражения, где бесконечнозначные операции заменены конечными аналогами. ISDL-описание может включать в том числе и параметры исполнения инструкции на конвейере, которые могут быть использованы в TSE. Авторы исследования реализовали специальный генератор, который строит тестовые программы, удовлетворяющие данному TSE.

Kohno и Matsumoto [47] рассматривают задачу верификации конвейерных микропроцессоров, используя для её решения генерацию тестовых программ с помощью тестовых шаблонов. Тестовый шаблон явно содержит последовательность типов инструкций, возможно, с использованием конструкций итерирования блоков инструкций (предполагается, что исполнение инструкции на конвейере зависит от типа инструкции, поэтому, используя обход конечной модели конвейера, алгоритм генерирует последовательности типов инструкций, т.е. тестовые шаблоны). Использование разными инструкциями в шаблоне одной и той же переменной величины должно приводить в тестовой программе к использованию одного и того же значения для этой переменной величины. Областями значений являются заданное в архитектуре множество регистров ( $GPR$  – множество регистров общего назначения,  $CPR$  – множество регистров сопроцессора). Выбор во множестве значений осуществляется

псевдослучайным образом.

### 1.3.3 Генерация тестовых программ с использованием методов решения задачи ATPG

Задача ATPG (Automatic Test Pattern Generation) [55] относится к вопросам модульного тестирования микропроцессоров. Модульное тестирование осуществляется подачей определенных сигналов (возможно, многотактовых) на входы модуля (схемы) и снятие значения выходных сигналов (возможно, также многотактовых). Принятие вердикта осуществляется на основе сравнения ожидаемого выходного сигнала и снимаемого с данной схемы. Тестовым воздействием является сигнал, поданный на входные порты схемы. Моделью ошибки является смена функции некоторых элементов схемы (например, в результате пробоя или замыкания элемент может сменить функцию, которую он реализует, на тождественную константу). ATPG – это задача построения тестовых воздействий для схем, нацеленных на данную модель ошибки. Аргументы инструкций являются входными сигналами некоторых модулей микропроцессора, поэтому решая задачу генерации входных сигналов, можно решать и задачу генерации тестовых программ.

Эту идею использовали исследователи из Politecnico di Milano [17]. Тестовым шаблоном выступает препроцессированная модель этапа декодирования инструкции. Модель написана на языке VHDL [19]. Специальный генератор подставляет на место кода инструкции заданные значения кодов операций и передает получившуюся модель стороннему (коммерческому) ATPG-инструменту. Тот в свою очередь возвращает остальные значения, которые надо передать в модуль декодирования инструкции, т.е. значения аргументов инструкции. Метод был применен к тестированию АЛУ VLIW-микропроцессора.

### 1.3.4 Генерация тестовых программ с использованием методов разрешения ограничений

Под *ограничением* будет пониматься предикат, в котором переменные принимают значения из конечной области. Например,  $x > 0$ , если  $x \in \{0, 10, 100\}$ . Задачей разрешения ограничений (constraint satisfaction problem) является

задача поиска значений для переменных из их областей значений, при которых все ограничения выполнены [64]. Для областей значений небольшого размера достаточно перебрать все комбинации значений переменных, пока не встретится комбинация, на которой выполнены все ограничения. В общем случае применяются более сложные алгоритмы (зачастую с привлечением эвристик), сочетающие перебор с возвратом и распространение ограничений (т.е. автоматический вывод ограничений-следствий по данной системе ограничений).

Представление в виде CSP [64] удобно для задач, сформулированных в виде задачи выполнимости некоторого набора условий. Задача генерации тестовых программ по тестовым шаблонам тоже может быть сформулирована в таком виде, поскольку есть связанный набор переменных (инструкций, аргументов инструкций, элементов состояния микропроцессора), причем связи выражаются в виде утверждений, зависимостей. Сама идея построения тестовой программы через формулирование тестового шаблона близка решению задачи с использованием CSP, поскольку этап построения тестового шаблона (формализации требований к тестовому воздействию) по сути является этапом формулирования задачи построения тестового шаблона в виде утверждений, в виде задачи выполнимости. Остается только перевести эту формулировку к виду, используемому в инструментах для решения CSP. Выбор инструментов, метод их решения, а также вида самих ограничений, зависит от того, какие применяются тестовые шаблоны и как описывается семантика инструкций.

С целью упрощения подготовки нужного представления семантики микропроцессора китайские исследователи в своем инструменте MAATG [69] предложили использовать хорошо известный язык описания архитектуры EXPRESSION [68]. Тестовые шаблоны позволяют явно задавать блоки инструкций, задавать ограничения на аргументы разных инструкций (одинаковые регистры, разные регистры, непосредственные значения из некоторого множества констант), а также указывать события, которые могут произойти при исполнении инструкции (например, целочисленное переполнение для инструкции ADD). Специальный генератор строит тестовую программу итеративно. Сначала он упорядочивает инструкции так, чтобы переменные для очередной инструкции зависели только от переменных предыдущих инструк-

ций. Это позволяет разбить задачу генерации тестовой программы на последовательность более простых задач генерации одной инструкции. Однако по доступным публикациям невозможно сделать вывод о том, какие ограничения генерирует МААТГ и тем самым оценить эффективность работы этого инструмента.

Еще одно семейство инструментов генерации тестовых программ на основе тестовых шаблонов было разработано в IBM в течение последних 20 лет. Далее будет дано описание последнего на сегодняшний день инструмента в этом семействе – Genesys-Pro [46]. Тестовые шаблоны этого инструмента позволяют описывать как заданные последовательности инструкций, так и всевозможные их композиции. Разработчиками предложен несложный императивный язык, позволяющий задать эту последовательность инструкций.

Для каждой инструкции могут быть указаны ограничения на аргументов пожелания к значениям аргументов инструкции для улучшения тестового покрытия (эта информация называется *testing knowledge*) [38]. Эти пожелания (по сути особенности семантики инструкций и тестовые ситуации) предлагается описывать с использованием ограничений [39]. Можно задавать ограничения на атрибуты аргументов инструкции (например, значение одного аргумента больше значения другого) и состояние микропроцессора (например, на значения в таблицах и буферах). Для описания механизма трансляции адресов (получения физического адреса по виртуальному) предлагается использовать подход DeepTrans [31]. В этом подходе предлагается пользователю описать структуру строки таблицы, через которую осуществляется трансляция, правило соответствия адреса строке, некоторые другие преобразования, а специальный генератор автоматически построит нужную систему ограничений для использования в Genesys-Pro.

Тестовый шаблон может содержать параметры работы генератора тестовых программ: вероятности выбора тех или иных значений, параметры распределения адресов в памяти и другие – они позволяют управлять выбором некоторого одного значения из множества допустимых.

Требуется описать структуру системы команд (*architecture model*), задать исполнительную семантику команд (по сути симулятор микропроцессора).

Рассмотрим теперь, как Genesys-Pro генерирует тестовые программы на основе тестовых шаблонов. Для бóльшей эффективности этапы построения

последовательности инструкций и выбора аргументов осуществляются вместе (отдельная инициализация состояния микропроцессора не проводится). На основе параметров генерации, текущего состояния модели микропроцессора и построенной тестовой программы выбирается очередная инструкция (тестовые шаблоны позволяют описывать сложные потоки управления на инструкциях). Далее для этой инструкции генерируются аргументы инструкций. Для этого строится и разрешается система ограничений на основе тестовых ситуаций (testing knowledge) и текущего модельного состояния микропроцессора), в результате чего получаются значения аргументов. Готовая инструкция исполняется на модели микропроцессора (architecture model, он готовится пользователем) с получением нового модельного состояния микропроцессора. На этом генерация инструкции завершается и генерируется следующая инструкция. Ключевым моментом является эффективность работы решателя ограничений. Для этой цели разработчики инструмента самостоятельно написали свой решатель ограничений. Он базируется на хорошо известном семействе алгоритмов разрешения ограничений MAC (Maintaining Arc-Consistency) [64], но заточен под ограничения, генерируемые для тестовых программ [74]. Написание такого решателя является довольно нетривиальной задачей и предметом отдельного исследования. Например, Genesys-Pro позволяет использовать для описания тестовых ситуаций элементы массивов (Memory, таблицы страниц) с переменными индексами.

Тем самым ни один из методов генерации тестовых программ, использующих ограничения, не нацеливается на строго заданную последовательность инструкций, однако потребности в использовании тестовых шаблонов с заданной последовательностью инструкций отмечают исследователями [6].

### 1.3.5 Сравнение методов генерации тестовых программ

Сравнение проводилось по следующим критериям:

1. сложность построения генератора тестовых программ;
2. допустимые архитектурные механизмы;
3. полнота метода.

Из сделанного обзора следует, что возможность генерирования тестовых программ для тестовых шаблонов, ориентированных на поведение ММУ (тестовые ситуации в кэширующих буферах и таблицах ММУ), т.е. поддержку механизмов кэширования в ММУ, есть у следующих методов:

- разработка генераторов тестовых программ вручную [6];
- вероятностные алгоритмы генерации тестовых программ (как разновидность – переборные алгоритмы); среди них можно выделить простые вероятностные алгоритмы (типа метода Монте-Карло [54]) и более сложные вероятностные алгоритмы (например, перебор с обратной связью [37]);
- покомандный перебор с возвратом на основе разрешения ограничений [45].

	полный	неполный
простой		переборный алгоритм простой вероятностный
сложный	вручную написанный генератор сложный вероятностный покомандный перебор с возвратом	—

Использование простых переборных или вероятностных алгоритмов генерации тестовых программ позволяют подготовить генератор на основе очевидных несложных идей, однако они не позволяют добиться достаточной полноты генерации тестовых программ. Это означает, что для произвольного тестового шаблона время генерации тестовой программы может быть очень велико.

Напротив более сложные варианты вероятностных (переборных) алгоритмов, написанные вручную генераторы или генераторы, основанные на более регулярных алгоритмах (например, покомандный перебор с возвратом, реализованный в системе Genesys-Pro [45]), нацелены на получение высокой полноты. Однако достигается это в основном за счет разработки и применения уникальных идей, которые сложно использовать вновь при тестировании другого микропроцессора. Это усложняет написание таких генераторов и, как результат, увеличивает время подготовки самого генератора.

Тем самым представляется перспективным исследование и разработка регулярных легко переиспользуемых методов построения генераторов тестовых

программ по тестовым шаблонам, применимых для тестирования механизмов кэширования, не уступающих в полноте существующим методам.

## 1.4 Генераторы тестовых данных для абстрактных тестовых воздействий

Рассмотрим работы по генерации тестовых данных для тестовых воздействий, которые задаются *в абстрактном виде*. А именно, в виде требований на аргументы вызываемых в тестовом воздействии функций системы. Одним из примеров таких абстрактных тестовых воздействий являются тестовые шаблоны, поскольку они задают требования на аргументы инструкций, входящих в тестовую программу. Другим примером абстрактных тестовых воздействий являются *параметрические тесты* [?] для программных систем. Они напоминают модульные тесты (unit-тесты), в которых аргументы вызываемых методов могут быть переменными величинами.

### 1.4.1 Симуляционные методы

Идея симуляционных методов (simulation-based) состоит в чередовании этапов разрешения ограничений и исполнения кода («симуляции»). Рассмотрим абстрактное тестовое воздействие в виде последовательности чередующихся инструкций  $i_1, i_2, \dots, i_N$  и условий пути  $P_1, P_2, \dots, P_N$ :

condition:  $P_1(x_1, x_2, \dots, x_{n_1})$   
instruction:  $i_1(x_1, x_2, \dots, x_{n_1})$   
condition:  $P_2(x_1, x_2, \dots, x_{n_1}, x_{n_1+1}, \dots, x_{n_2})$   
instruction:  $i_2(x_1, x_2, \dots, x_{n_2})$   
condition:  $P_3(x_1, x_2, \dots, x_{n_2}, x_{n_2+1}, \dots, x_{n_3})$   
instruction:  $i_3(x_1, x_2, \dots, x_{n_3})$   
...  
instruction:  $i_N(x_1, x_2, \dots, x_n)$

Для каждой инструкции определен *симулятор*, т.е. процедура, которая позволяет исполнить инструкцию с некоторыми значениями аргументов. Каждое условие пути задано формулой в некотором языке. Ключевым моментом



является отсутствие трактовки инструкции как отношения на параметрах-результатах и параметрах-значениях.

Тестовыми данными являются значения  $x_1, x_2, \dots, x_n$ . Их поиск осуществляется с помощью следующего перебора с возвратом [45]: для  $i$ 'й инструкции составляются и разрешаются ограничения из условия пути перед этой инструкцией с учетом уже известных значений тестовых данных и текущего модельного состояния системы; если составленная система ограничений совместна, то входящие в нее тестовые данные получают значение; если составленная система ограничения несовместна, происходит возврат на предыдущий шаг для выбора других значений тестовых данных. Как только для инструкции получены значения аргументов, запускается симулятор этой инструкции для получения нового модельного состояния системы. На этом принципе основаны инструменты семейства Genesys-Pro [45].

Этот метод обладает хорошей масштабируемостью, поскольку в нем разделяется задача поиска значений  $x_1, x_2, \dots, x_n$  на поиск значений меньшего числа переменных. Этот метод подходит для сложных систем, поскольку не возникает необходимости в составлении и разрешении ограничений для всего тестового воздействия.

Однако разработчики Genesys-Pro столкнулись с тем, что даже такое упрощение ограничений не позволяет использовать для разрешения ограничений обычные используемые решатели широкого назначения [18]. Им пришлось разрабатывать специальные алгоритмы и эвристики для подготовки решателя, способного решать ограничения того вида, которые генерирует Genesys-Pro [74]. Побочным эффектом этого стал низкий процент переиспользования кода при построении решателя ограничений для новой архитектуры микропроцессоров.

#### **1.4.2 Генерация с использованием символьного исполнения**

Идеей методов, использующих символьное исполнение (symbolic execution), является составление единой системы ограничений для всего тестового воздействия. Благодаря появлению в последние годы общедоступных решателей ограничений [28, 29], появляются и инструменты генерации тестовых воздей-

ствий, среди которых можно выделить Рех [? ]. Например, для того же абстрактного тестового воздействия

condition:  $P_1(x_1, x_2, \dots, x_{n_1})$   
instruction:  $i_1(x_1, x_2, \dots, x_{n_1})$   
condition:  $P_2(x_1, x_2, \dots, x_{n_1}, x_{n_1+1}, \dots, x_{n_2})$   
instruction:  $i_2(x_1, x_2, \dots, x_{n_2})$   
condition:  $P_3(x_1, x_2, \dots, x_{n_2}, x_{n_2+1}, \dots, x_{n_3})$   
instruction:  $i_3(x_1, x_2, \dots, x_{n_3})$   
...  
instruction:  $i_N(x_1, x_2, \dots, x_n)$

для получения значений переменных  $x_1, x_2, \dots, x_n$  будет построена следующая система ограничений:

$$\left\{ \begin{array}{l} P_1(x_1, x_2, \dots, x_{n_1}) \\ I_1(x_1, x_2, \dots, x_{n_1}) \\ P_2(x_1, x_2, \dots, x_{n_1}, x_{n_1+1}, \dots, x_{n_2}) \\ I_2(x_1, x_2, \dots, x_{n_2}) \\ P_3(x_1, x_2, \dots, x_{n_2}, x_{n_2+1}, \dots, x_{n_3}) \\ I_3(x_1, x_2, \dots, x_{n_3}) \\ \dots \\ I_N(x_1, x_2, \dots, x_n) \end{array} \right.$$

в которой отношение  $I_k(x_1, x_2, \dots, x_{n_k})$  описывает отношение параметров-результатов и параметров-значений среди аргументов инструкции  $i_k$  и получено путем символьного исполнения инструкции  $i_k$  [? ].

Из-за своей природы масштабируемость этих методов зависит от эффективности работы решателя ограничений. Сложности возникают и при генерации тестовых данных «сложной природы»: деревья, графы, особые списки.

Тем не менее пока не было показана возможность и сущность применения символьного исполнения для построения тестовых программ по тестовым шаблонам, что представляется перспективным.

## 1.5 Постановка задачи

В диссертации решается задача построения тестовых программ по тестовым шаблонам, обладающим следующими свойствами.

*Тестовым шаблоном* называется последовательностью троек  $(I_i, A_i, S_i)$ , где:

- $I_i \in \mathcal{I}$  – инструкция из множества инструкций микропроцессора  $\mathcal{I}$ ;
- $A_i \in (\mathcal{R} \cup \mathcal{C})^*$  – список аргументов инструкции: аргументом может быть регистр из множества регистров микропроцессора  $\mathcal{R}$  (явно задано имя регистра) или переменная с константным значением ( $\mathcal{C}$  – множество переменных); количество аргументов инструкции соответствует требуемому в архитектуре микропроцессора;
- $S_i \in 2^{\mathcal{R} \times \mathcal{C} \times \mathcal{S}}$  – тестовая ситуация инструкции – отношение («ограничение») на аргументы инструкции и состояние микропроцессора ( $\mathcal{S}$ ).

Пример тестового шаблона:

```
ADD r1, r2, r3 @ r2 > 0 && r2 != r3
```

```
LW r4, r1, c @ let phys = AT(r1,c): notincluded(phys, Cache)
```

Множество инструкций включает в себя ADD и LW. Аргументами первой инструкции является список  $(r1, r2, r3)$ , второй – список  $(r4, r1, c)$ . Тестовой ситуацией первой инструкции является отношение « $r2 > 0 \ \&\& \ r2 \neq r3$ ». Например, ему удовлетворяют значения  $r2 = 1, r3 = 0$ . Тестовой ситуацией второй инструкции является отношение « $\text{let phys} = \text{AT}(r1, c): \text{notincluded}(\text{phys}, \text{Cache})$ », в котором записано, что, обозначив именем **phys** результат функции  $\text{AT}(r1, c)$  (это физический адрес, он получен в результате трансляции адреса), должно быть выполнено отношение  $\text{notincluded}(\text{phys}, \text{Cache})$ , т.е. данных по этому адресу не должно быть в кэш-памяти – такая ситуация еще называется «кэш-промахом».

*Тестовая программа* – это последовательность двоек  $(I_i, A'_i)$ , где

- $I_i \in \mathcal{I}$  – инструкция из множества инструкций микропроцессора  $\mathcal{I}$ ;
- $A'_i \in (\mathcal{R} \cup \mathbb{N})^*$  – список аргументов инструкции: аргументом может быть регистр из множества регистров микропроцессора  $\mathcal{R}$  (явно задано

имя регистра) или константа (непосредственное значение); количество аргументов инструкции соответствует требуемому в архитектуре микропроцессора.

Тестовая программа  $(I_i, A'_i)^*$  соответствует тестовому шаблону  $(II_i, AA_i, SS_i)^*$ , если одновременно выполнены следующие условия:

1. последовательность  $(II_i)^*$  является подпоследовательностью, завершающую последовательность  $(I_i)^*$ , т.е. существует такой индекс  $k$ , что для всех положительных допустимых  $l$  выполнено  $I_{k+l} = II_l$ ; при этом часть тестовой программы, предшествующей инструкциям тестового шаблона, будем называть *инициализирующей программой*, а инструкции тестовой программы, соответствующие инструкциям тестового шаблона, *инструкциями тестового воздействия* (см.рис. 1.1);
2. аргументы инструкций тестовой программы, которые входят в тестовый шаблон, соответствуют аргументам соответствующих инструкций в тестовом шаблоне – регистры совпадают, значения одинаковых переменных-констант в разных инструкциях совпадают;
3. инструкции тестовой программы, которые входят в тестовый шаблон, исполняются в соответствии с тестовыми ситуациями, указанными для них в тестовом шаблоне.

Требуется построить тестовую программу по тестовому шаблону [11, 13], которая состоит из двух частей: инициализирующие инструкции и инструкции тестового воздействия. Инициализирующие инструкции переводят модель микропроцессора из заданного начального состояния в состояние, необходимое для тестового воздействия. Инструкции тестового воздействия в точности повторяют последовательность инструкций тестового шаблона с заменой переменных на непосредственные значения. На рисунке 1.2 приведен пример тестового шаблона и возможных инструкций тестового воздействия, построенных по этому шаблону.

Уже сгенерированная тестовая программа может быть позднее дополнена инструкциями проверки состояния микропроцессора после исполнения инструкций тестового воздействия.

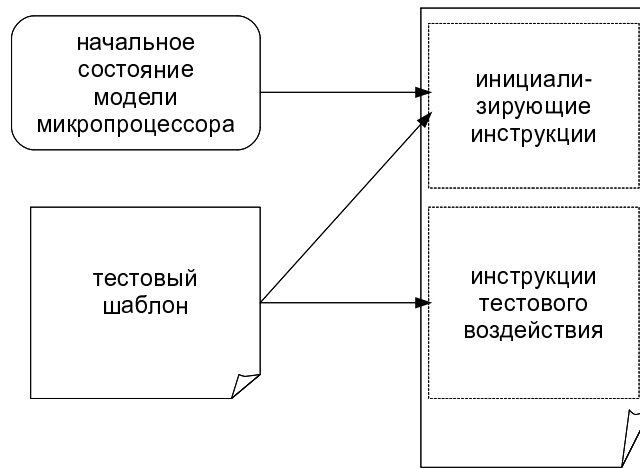


Рис. 1.1. Составление тестовой программы

AND r1, r2, r3 @ normal	AND r1, r2, r3
LD r4, r2, c1 @ l1Hit	LD r4, r2, 0x0FA2
SUB r3, r1, r5 @ overflow	SUB r3, r1, r5

Рис. 1.2. Тестовый шаблон и возможные соответствующие ему инструкции тестового воздействия

Инициализирующие инструкции призваны подготовить модель микропроцессора к исполнению инструкций тестового воздействия. Без инициализирующих инструкций запуск инструкций тестового воздействия даже на корректной модели микропроцессора может приводить к ложным сообщениям об ошибках в модели.

В работе рассматривается модель микропроцессора, включающая в себя регистры общего назначения, кэш-память (возможно многоуровневую), различные подсистемы для выполнения трансляции адресов (TLB) [44].

Решение поставленной задачи для тестовых шаблонов, в которых  $\mathcal{S} = \emptyset$ , хорошо известно [7, 48] (тестовые ситуации в таких тестовых шаблонах формулируются лишь на значения регистров и констант-аргументов инструкций). Для этого тестовые ситуации транслируются в ограничения (constraints), а искомые начальные значения регистров и значения констант получаются в результате разрешения этих ограничений [64]. Для того, чтобы в тестовых шаблонах использовать инструкции, аргументы которых связаны (например, должны быть равны или неравны), кроме ограничения на значения аргументов и состояние микропроцессора, надо дать определение аргумента-результата инструкции (задействовать семантику инструкции). Предметом исследования являются способ построения ограничений в случае  $\mathcal{S} \neq \emptyset$  при

разных способах задания семантики инструкций.

## 1.6 Предварительные сведения и термины

### 1.6.1 Типы кэш-памяти

По организации кэш-память делят на *полностью ассоциативную*, *прямого доступа* и *наборно-ассоциативную*. Различие производится на основе двух параметров: количества секций  $W$  и количества наборов  $R$ . Кэш-память хранит некоторый набор данных. Каждому блоку данных соответствует некоторый адрес (физический или виртуальный). Блоки с адресами организованы в *секции* и *наборы* (см.рис. 1.3).

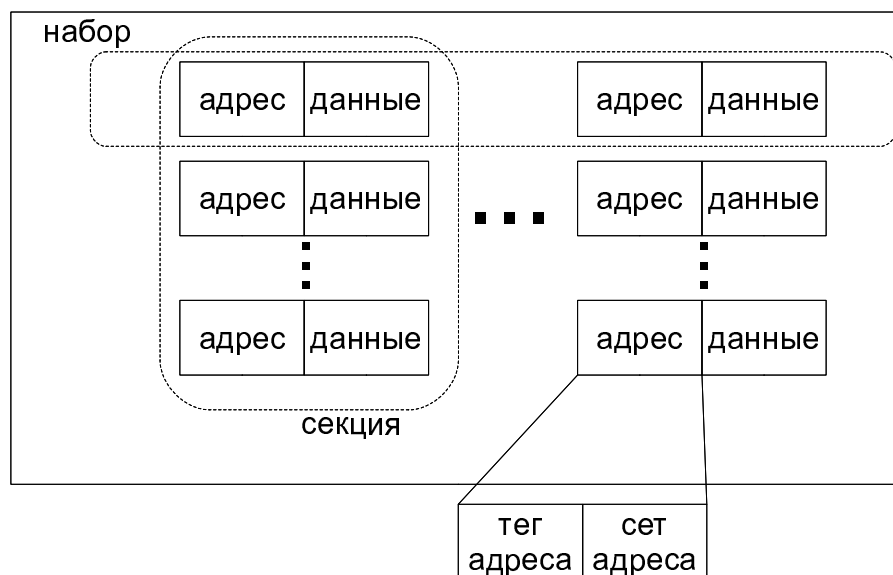


Рис. 1.3. Модель кэш-памяти и адреса данных

Каждый адрес может быть разделен на два битовых поля: поле *тега адреса* и поле *сета адреса*. Один набор составляют адреса с одинаковым сетом. Кэш-память организована таким образом, что для каждого сета хранится всегда одно и то же количество адресов (равное количеству секций  $W$ ). Адреса всех данных в кэш-памяти различные. Отсюда следует, что теги адресов одного набора разные. В кэш-памяти представлены все наборы, возможные в рамках битового поля сета адреса.

Кэш-память является полностью ассоциативной, если  $R = 1$ . Кэш-память является кэш-памятью прямого доступа, если  $W = 1$ . И кэш-память является наборно-ассоциативной, если  $R > 1$  и  $W > 1$ .

Инструкции обращения в память бывают двух видов: инструкции загрузки данных из памяти по данному адресу и инструкции сохранения данных в памяти по данному адресу. При выполнении этих инструкций может быть задействована кэш-память. Если данные по требуемому адресу присутствуют в кэш-памяти, операция проводится с нею. Такая ситуация называется *кэш-попаданием*. Если данные по требуемому адресу не присутствуют в кэш-памяти, осуществляется подгрузка данных в кэш-память и совершение операции. Такая ситуация называется *кэш-промахом*. В этом случае если кэш-память полностью заполнена, некоторые данные должны быть *вытеснены* из кэш-памяти и на их место будут загружены данные по требуемому адресу. *Стратегия вытеснения* (или *политика замещения*) – это правило, по которому определяются вытесняемые данные. Например, могут быть вытеснены данные, которые дольше всего не были нужны (такая стратегия называется LRU), или данные, которые были внесены в кэш-память раньше остальных (такая стратегия называется FIFO).

### 1.6.2 Таблицы вытеснения

Для возможности формальных рассуждений о стратегиях вытеснения потребуется более явное определение стратегии вытеснения нежели просто «правило определения вытесняемого тега». Для этого воспользуемся *таблицами вытеснения* (*policy table*). Они были предложены в 2008 году исследователями из немецкого университета Саарланда [40]. Таблица вытеснения однозначно описывает изменение порядка и вытеснение тегов в наборе. Таблица представляет собой матрицу  $(w+1) \times (w+1)$ , где  $w$  — ассоциативность кэширующего буфера. Первый столбец — специальный, он содержит указание позиций от 0 до  $w-1$  и специальную «псевдопозицию» для промаха. Остальными элементами матрицы являются числа от 0 до  $w-1$  и специальный символ  $t$  для вытесняющего тега. Пример таблицы вытеснения (для стратегии вытеснения LRU) смотрите на рисунке 1.4.

Первые строки таблицы вытеснения описывают изменение порядка элементов набора при кэш-попаданиях. Каждой такой строке соответствует свой случай кэш-попадания, при этом первый столбец показывает, тег с какой позицией дает кэш-попадание, а части строк, не включающие первый столбец, показывают, каким образом осуществляется перестановка тегов набор из по-

$$\left[ \begin{array}{c|cccccccc} \pi_0 & 0 & 1 & 2 & 3 & 4 & 5 & 6 & 7 \\ \pi_1 & 1 & 0 & 2 & 3 & 4 & 5 & 6 & 7 \\ \pi_2 & 2 & 0 & 1 & 3 & 4 & 5 & 6 & 7 \\ \pi_3 & 3 & 0 & 1 & 2 & 4 & 5 & 6 & 7 \\ \pi_4 & 4 & 0 & 1 & 2 & 3 & 5 & 6 & 7 \\ \pi_5 & 5 & 0 & 1 & 2 & 3 & 4 & 6 & 7 \\ \pi_6 & 6 & 0 & 1 & 2 & 3 & 4 & 5 & 7 \\ \pi_7 & 7 & 0 & 1 & 2 & 3 & 4 & 5 & 6 \\ \pi_m & m & 0 & 1 & 2 & 3 & 4 & 5 & 6 \end{array} \right]$$

Рис. 1.4. Таблица вытеснения для стратегии вытеснения LRU, 8-ассоциативный кэширующий буфер

следовательности индексов  $(0 \ 1 \ \dots \ w-1)$ . Например, для стратегии вытеснения LRU, представленной на рисунке 1.4, при кэш-попадании тега 5 к набору  $(4 \ 6 \ 5 \ 7 \ 1 \ 0 \ 2 \ 3)$  будет применена перестановка (смотрим строку с  $\pi_2$ , потому что тег 5 находится на втором месте)  $(2 \ 0 \ 1 \ 3 \ 4 \ 5 \ 6 \ 7)$ , что даст следующий порядок элементов набора:  $(5 \ 4 \ 6 \ 7 \ 1 \ 0 \ 2 \ 3)$ .

Последняя строка таблицы вытеснения соответствует ситуации кэш-промаха. Вытесняющий элемент набора помечается буквой  $m$ . Вытесняемый элемент – элемент набора  $(0 \ 1 \ \dots \ w-1)$ , который отсутствует в последней строке таблицы вытеснения (в примере – это 7, т.е. вытесняется последний элемент, а вытесняющий помещается на нулевое место).

В качестве примера приведем таблицы вытеснений для других двух стратегий вытеснения – FIFO и MRU (см. рис. 1.5).

$\left[ \begin{array}{c cccccccc} \pi_0 & 0 & 1 & 2 & 3 & 4 & 5 & 6 & 7 \\ \pi_1 & 0 & 1 & 2 & 3 & 4 & 5 & 6 & 7 \\ \pi_2 & 0 & 1 & 2 & 3 & 4 & 5 & 6 & 7 \\ \pi_3 & 0 & 1 & 2 & 3 & 4 & 5 & 6 & 7 \\ \pi_4 & 0 & 1 & 2 & 3 & 4 & 5 & 6 & 7 \\ \pi_5 & 0 & 1 & 2 & 3 & 4 & 5 & 6 & 7 \\ \pi_6 & 0 & 1 & 2 & 3 & 4 & 5 & 6 & 7 \\ \pi_7 & 0 & 1 & 2 & 3 & 4 & 5 & 6 & 7 \\ \pi_m & m & 0 & 1 & 2 & 3 & 4 & 5 & 6 \end{array} \right]$	$\left[ \begin{array}{c cccccccc} \pi_0 & 1 & 2 & 3 & 4 & 5 & 6 & 7 & 0 \\ \pi_1 & 0 & 2 & 3 & 4 & 5 & 6 & 7 & 1 \\ \pi_2 & 0 & 1 & 3 & 4 & 5 & 6 & 7 & 2 \\ \pi_3 & 0 & 1 & 2 & 4 & 5 & 6 & 7 & 3 \\ \pi_4 & 0 & 1 & 2 & 3 & 5 & 6 & 7 & 4 \\ \pi_5 & 0 & 1 & 2 & 3 & 4 & 6 & 7 & 5 \\ \pi_6 & 0 & 1 & 2 & 3 & 4 & 5 & 7 & 6 \\ \pi_7 & 0 & 1 & 2 & 3 & 4 & 5 & 6 & 7 \\ \pi_m & 0 & 1 & 2 & 3 & 4 & 5 & 6 & m \end{array} \right]$
FIFO	MRU

Рис. 1.5. Таблицы вытеснения для 8-ассоциативного кэширующего буфера



В отличие от определений, в которых теги получали свои позиции и не меняли их, а критерий вытеснения определялся на основе дополнительных структур данных, определение с помощью таблицы вытеснения описывает перестановку тегов в наборе без дополнительных структур данных.

### 1.6.3 Методы разрешения ограничений

Задача разрешения ограничений (CSP, Constraint Satisfaction Problem) [64] определяется с использованием множества переменных  $x_1, x_2, \dots, x_n$ , для каждой переменной указана конечная область значений  $D_1, D_2, \dots, D_n$ , и отношений на этих переменных (*ограничений*). Задача состоит в отыскании значений переменных из своих областей значений, которые удовлетворяют отношениям на них (см. рис. 1.6).

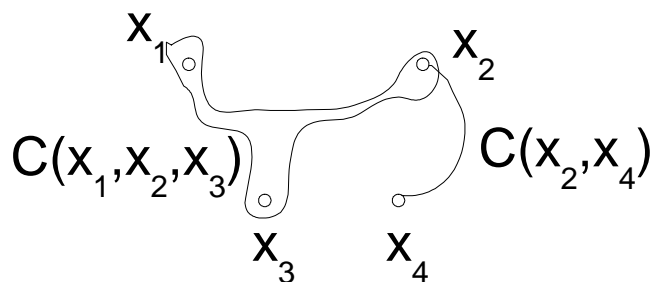


Рис. 1.6. Constraint Satisfaction Problem

Впервые задача разрешения ограничений в данной формулировке была предложена Уго Монтанари в 1974 году [56] при решении задачи машинного зрения. Монтанари ввел понятие сети ограничений (constraint net) и на основе этой сети предложил метод разрешения ограничений.

Основной методикой решения CSP является распространение ограничений (constraint propagation), а именно итеративное построение новых ограничений на основе данного в задаче множества ограничений (логических следствий). Если в процессе распространения ограничений будет построено тождественно ложное ограничение, то CSP является *несовместной*, для нее не существует решений. Особо обращается внимание на одноместные ограничения, поскольку с помощью них уменьшается область значений переменной. Если распространение ограничений не привело к тождественно ложному ограничению, то в случае уменьшения области значений некоторой переменной до единственного значения это значение и будет ответом для данной переменной. Если же в области определения всё ещё много значений, то для выбора

из области значений используются различные техники перебора (последовательный перебор, перебор в случайном порядке, метод ветвей и границ). Эвристические алгоритмы решения CSP обычно чередуют этапы перебора значений и распространения ограничений. Одними из таких алгоритмов являются алгоритмы семейства MAC (Maintaining Arc Consistency) [64]. Другие алгоритмы перечислены в [21], [30], [52].

Одним из важных направлений развития CSP стала интеграция с парадигмой логического программирования. Она позволила динамически менять множество отношений [18]. Примеры систем CLP (Constraint Logic Programming) – SICStus Prolog [72], ILOG [62], ECLiPSe [18]. В этих системах используются стандартные алгоритмы разрешения ограничений для некоторых типов переменных (а именно, целые числа, вещественные числа, строки и т.п.).

Задолго до работы Уго Монтанари в 1959 году Мартин Дэвис и Хилари Путнэм работали в Национальном Агентстве Безопасности над системой построения доказательств в логике первого порядка [42]. Через год появилась публикация алгоритма (*алгоритм Дэвиса-Патнэм*) [27]. Он предполагал перебор с возвратом всех значений переменных, входящих в исследуемую формулу, с использованием эвристик, сокращающих формулу. Георг Логеманн и Дональд Ловеланд усовершенствовали этот алгоритм [26]. Результат этого известен как DPLL-алгоритм. Он стал основой для инструментов разрешения ограничений над пропозициональными переменными (их области значений состоят лишь из двух значений: истины и лжи). Такие инструменты известны как *SAT-инструменты*, например, Chaff [24] или WalkSAT [65].

Вместо поиска единственной разрешающей процедуры для любой формулы были найдены эффективные разрешающие процедуры для формул для специальных языках («теориях»). *SMT (Satisfiability Modulo Theory)* — задача построения разрешающих процедур для формул логики первого порядка в некоторой теории. Такие разрешающие процедуры были найдены для теорий неинтерпретируемых функций с равенством [73], битовых строк [51], линейной арифметики (арифметики Пресбургера) [57], многочленов над вещественными числами [16], векторов и многие другие теории. Кроме того было построено несколько методов построения разрешающих процедур для объединения теорий [33, 58, 67]. Всё это сделало возможным построение SMT-инструментов [28, 29] на практике. В частности были верифицированы неко-

торые конвейеры и RTL-модели микропроцессоров [22, 23, 32, 34].

## Глава 2

# Методы генерации ограничений для описания поведения тестовых программ

### 2.1 Модель модулей управления памятью

Введение собственной модели для модуля управления памятью преследовало несколько целей. Во-первых, это ввести терминологию для дальнейшего описания методов генерации ограничений для тестовых шаблонов. И, во-вторых, выделить класс архитектур микропроцессоров, для которых предлагаемые далее методы генерации ограничений применимы (а именно, методы применимы тогда, когда можно построить модель).

Модель модуля управления памятью отражает только те особенности модуля управления памятью, на которые нацелено проводимое тестирование. Например, если микропроцессор включает иерархические таблицы страниц, но в тестовом шаблоне нет тестовых ситуаций таблицы отдельных уровней (а содержит тестовые ситуации на все таблицы целиком), то в модели такая таблица будет представлена без иерархии, целиком. Кроме того, в микропроцессоре могут быть реализованы механизмы, меняющие порядок исполнения инструкций по сравнению с программой (спекулятивное выполнение, пред-

сказание переходов [4]), однако их учитывать в данном тестировании не имеет смысла, ибо в таком случае невозможно будет провести тестирование (если неизвестен порядок инструкций, то невозможно построить тестовый оракул).

### 2.1.1 Кэширующие буферы и таблицы

В данной работе особо важным классом инструкций в тестовых шаблонах является класс инструкций обращения к памяти. Такие инструкции присутствуют практически во всех микропроцессорах. Инструкции обращения к памяти делятся на два класса: *инструкции загрузки данных из памяти* и *инструкции сохранения данных в памяти*. При исполнении такой инструкции кроме оперативной памяти могут быть задействованы некоторые специальные структуры данных-подсистемы микропроцессора — а именно *кэширующие буфера и таблицы*.

Таблицы содержат последовательный индексированный набор данных. Изменение содержимого таблиц осуществляется только программно. Пример таблицы — таблица страниц виртуальной памяти. Изменение содержимого этих таблиц может осуществляться операционной системой.

Кэширующие буфера содержат множество пар (ячеек) «(тег, значение)» заданного количества. Содержимое кэширующего буфера может меняться в процессе работы микропроцессора: какие-то ячейки добавляются, какие-то *вытесняются*. Управление кэширующими буферами осуществляется только микропроцессором. Исполнение инструкции обращения к памяти может включать в себя обращения к кэширующим буферам для получения данных по некоторому тегу. Обращение к кэширующему буферу может быть успешным (такая ситуация называется *кэш-попаданием*), если нужные данные есть в буфере, и неуспешным (такая ситуация называется *кэш-промахом*), если нужных данных нет в буфере.

Кэширующий буфер может быть *подчинен* таблице, если при неуспешном обращении к кэширующему буферу поиск данных продолжается в таблице, при успешном — обращение к таблице не производится. Если поиск в таблице оказался успешным, то найденные данные добавляются в кэширующий буфер (некоторые данные из кэширующего буфера при этом вытесняются для поддержания постоянного размера буфера). Например, в микропроцессоре MIPS RM7000 [71] кэширующий буфер DTLB подчинен таблице JointTLB. Можно

представить, что кэш-память подчинена основной памяти, если рассматривать основную память как таблицу, правда, основная память не является подсистемой микропроцессора.

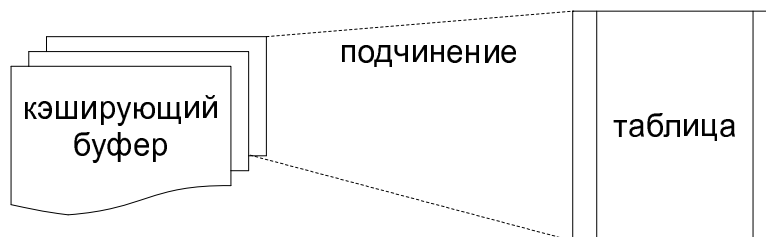


Рис. 2.1. Основные элементы модели модулей управления памяти

Тестовая ситуация инструкции обращения к памяти включает указание на то, какие обращения к кэширующим буферам в данной инструкции успешные, а какие – нет.

Будем считать тестовую ситуацию на инструкцию обращения к памяти *полной*, если она содержит тестовые ситуации на все кэширующие буферы, которые задействованы при исполнении этой инструкции. Например, если микропроцессор содержит двухуровневую кэш-память и при исполнении задействованы оба уровня кэш-памяти (например, в кэш-памяти первого уровня происходит промах, а в кэш-памяти второго уровня – попадание), то тестовая ситуация на эту инструкцию содержит тестовую ситуацию на кэш-память первого уровня и на кэш-память второго уровня (если, конечно, к ним обоим происходит обращение).

Данная работа не рассматривает тестовые шаблоны, в которых есть инструкции обращения к памяти с неполными тестовыми ситуациями.

### 2.1.2 Дизъюнктивное представление тестовых ситуаций в кэширующих буферах

Обратимся к построению ограничений для тестовых шаблонов. Каждая инструкция при исполнении может поменять состояние микропроцессора (значение регистров, содержимое кэширующих буферов и таблиц). Значения регистров будут представляться «скалярными» переменными. Содержимое кэширующих буферов будет представляться *множеством ячеек*. Содержимое кэширующих буферов можно разделить на две структуры – структура для хранения кэшированных данных и структура для хранения тегов адресов

кэшированных данных. Для моделирования тестовых ситуаций в кэширующих буферах будет использоваться только структура для хранения тегов, поскольку тестовые ситуации на кэшируемые данные рассматриваться не будут.

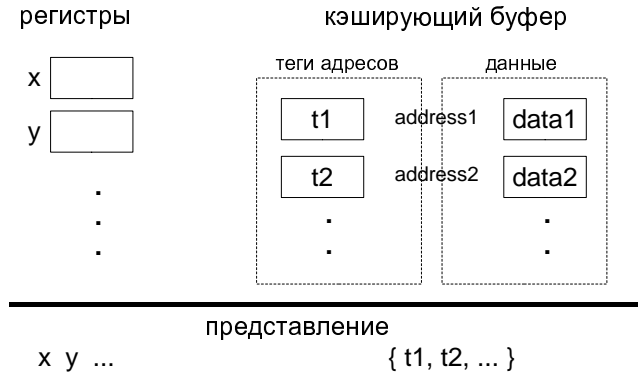


Рис. 2.2. Представление состояния микропроцессора

Ограничения для тестовых ситуаций в кэширующих буферах могут включать адреса, с которыми работает инструкция.

**Утверждение 1.** *Тестовые ситуации в кэширующих буферах имеют следующую простую форму с использованием переменных  $L$  – текущее состояние (содержимое) кэширующего буфера (множество тегов данных),  $x$  – тег адреса данных в инструкции):*

- кэш-попадание выражается в виде ограничения  $x \in L$ ;
- кэш-промах выражается в виде ограничения  $x \notin L$ .

Для  $x$  и  $L$  надо составить дополнительные ограничения, описывающие их значения.  $x$  может быть составлен из аргументов инструкции (обычно регистров) или быть результатом обращений к другим буферам и таблицам.

Для переменной  $L$  в каждой инструкции методом индукции может быть составлено следующее выражение. База:  $L$  для первой инструкции есть начальное содержимое кэширующего буфера, это переменная величина в системе уравнений. Теперь индуктивный шаг. Пусть выражение для очередной инструкции  $L$ , а для следующей –  $L'$ . Тогда если тестовая ситуация очередной инструкции – кэш-попадание, то  $L' \equiv L$  (так как содержимое не меняется), а если кэш-промах с адресом  $x$ , то  $L' \equiv (L \setminus \{x'\} \cup \{x\})$  (так как в кэширующий буфер при промахе добавляются данные по нужному адресу, а некоторые данные вытесняются,  $x'$  есть адрес вытесняемых данных). Для новой переменной

$x'$  добавим в систему такие уравнения:  $x' \in L \wedge displaced(x') \wedge R(x) = R(x')$ , предикат  $displaced(x')$  истинен, если  $x'$  является адресов вытесняемых данных в данной инструкции. Предикат  $displaced$  описывает *стратегию вытеснения*, т.е. правило, по которому в кэширующем буфере выбираются данные, которые следует удалить (вместе с тегом), а на их место поместить данные, вызвавшие промах. Для кэширующего буфера прямого отображения общезначимо утверждение  $(R(x) = R(x')) \rightarrow displaced(x')$ , поэтому для такого типа кэширующих буферов уравнение  $displaced(x')$  можно исключить из ограничений. Функциональный символ  $R$  используется для задания набора, которому относится адрес, в кэширующих буферах прямого отображения и наборно-ассоциативных кэширующих буферах. Возможна такая семантика этого символа –  $R(x)$  это множество адресов, которые потенциально могут находиться в том же наборе, что и набор адреса  $x$  (верно утверждение, что адрес не может соответствовать более чем одному набору и не соответствовать никакому набору вообще, одному набору могут соответствовать разные адреса). Или такая семантика –  $R(x)$  это номер набора адреса  $x$ . Для составления уравнений может быть выбрана любая семантика. Для полностью-ассоциативных кэширующих буферов уравнение  $R(x) = R(x')$  является тождественной истиной, поскольку в нем все адреса соответствуют одному набору.

Следующая теорема описывает выражение для  $L$  без использования индукции и способ составления ограничений для тестовых ситуаций в кэширующих буферах:

**Лемма 1.** Пусть  $L$  – выражение для текущего состояния (содержимого) кэширующего буфера,  $L_0$  – множество адресов данных, расположенных в кэширующем буфере перед исполнением инструкций тестового шаблона,  $\{x_i\}$  – множество адресов данных в инструкциях с кэш-промахами, расположенными до текущей инструкции в том же порядке, что и в тестовом шаблоне,  $\{x'_i\}$  – множество адресов вытесняемых данных в инструкциях с кэш-промахами, расположенными до текущей инструкции в том же порядке, что и в тестовом шаблоне. Тогда

$$L \equiv L_0 \setminus \bigcup_{i=1}^n \{x'_i\} \cup \bigcup_{i=1}^n (\{x_i\} \setminus \bigcup_{j=i+1}^n \{x'_j\}).$$



*Доказательство.* По сути надо показать, что  $((L_0 \setminus \{x'_1\} \cup \{x_1\}) \setminus \{x'_2\} \cup \{x_2\}) \dots \setminus \{x'_n\} \cup \{x_n\} \equiv L_0 \setminus \bigcup_{i=1}^n \{x'_i\} \cup \bigcup_{i=1}^n (\{x_i\} \setminus \bigcup_{j=i+1}^n \{x'_j\})$ . Покажем это по индукции. База: при  $n = 0$  обе формулы имеют вид  $L_0$ , очевидно, что они эквивалентны. Пусть эквивалентность установлена для некоторого  $n$ , т.е. установлено, что  $A \equiv ((L_0 \setminus \{x'_1\} \cup \{x_1\}) \setminus \{x'_2\} \cup \{x_2\}) \dots \setminus \{x'_n\} \cup \{x_n\} \equiv L_0 \setminus \bigcup_{i=1}^n \{x'_i\} \cup \bigcup_{i=1}^n (\{x_i\} \setminus \bigcup_{j=i+1}^n \{x'_j\})$ . Покажем, что  $A \setminus \{x'_{n+1}\} \cup \{x_{n+1}\} \equiv L_0 \setminus \bigcup_{i=1}^n \{x'_i\} \setminus \{x'_{n+1}\} \cup \bigcup_{i=1}^n (\{x_i\} \setminus (\bigcup_{j=i+1}^n \{x'_j\} \cup \{x'_{n+1}\})) \cup \{x_{n+1}\}$ . Для этого достаточно применить правила дистрибутивности над множественными операциями:  $A \setminus \{x'_{n+1}\} \cup \{x_{n+1}\} \equiv (L_0 \setminus \bigcup_{i=1}^n \{x'_i\} \cup \bigcup_{i=1}^n (\{x_i\} \setminus \bigcup_{j=i+1}^n \{x'_j\})) \setminus \{x'_{n+1}\} \cup \{x_{n+1}\} \equiv L_0 \setminus \bigcup_{i=1}^n \{x'_i\} \setminus \{x'_{n+1}\} \cup \bigcup_{i=1}^n (\{x_i\} \setminus \bigcup_{j=i+1}^n \{x'_j\} \setminus \{x'_{n+1}\}) \cup \{x_{n+1}\}$ .  $\square$

Например, если перед данной инструкцией располагается 3 инструкции с кэш-промахом, то  $L \equiv L_0 \setminus \{x'_1, x'_2, x'_3\} \cup (\{x_1\} \setminus \{x'_2, x'_3\}) \cup (\{x_2\} \setminus \{x'_3\}) \cup \{x_3\}$ .

**Теорема 1** (Дизъюнктивная форма уравнений для тестовых ситуаций в кэширующих буферах). Пусть  $L_0$  – множество адресов данных, расположенных в кэширующем буфере перед исполнением инструкций тестового шаблона,  $\{x_i\}$  – множество адресов данных в инструкциях с кэш-промахами, расположенными до текущей инструкции в том же порядке, что и в тестовом шаблоне,  $\{x'_i\}$  – множество адресов вытесняемых данных в инструкциях с кэш-промахами, расположенными до текущей инструкции в том же порядке, что и в тестовом шаблоне. Тогда

- для инструкции с кэш-попаданием адреса  $x$  следует добавить следующую совокупность уравнений:

$$\left[ \begin{array}{l} x \in L_0 \wedge x \notin \{x'_1, x'_2, \dots, x'_n\} \\ x = x_1 \wedge x \notin \{x'_2, \dots, x'_n\} \\ x = x_2 \wedge x \notin \{x'_3, \dots, x'_n\} \\ \dots \\ x = x_{n-1} \wedge x \notin \{x'_n\} \\ x = x_n \end{array} \right.$$

- для инструкции с кэш-промахом адреса  $x$  (и адресом вытесненных дан-

ных  $x'$ ) следует добавить следующую систему уравнений:

$$\left\{ \begin{array}{l} \left[ \begin{array}{l} x \notin L_0 \wedge x \notin \{x_1, x_2, \dots, x_n\} \\ x = x'_1 \wedge x \notin \{x_2, \dots, x_n\} \\ x = x'_2 \wedge x \notin \{x_3, \dots, x_n\} \\ \dots \\ x = x'_{n-1} \wedge x \notin \{x_n\} \\ x = x'_n \end{array} \right. \\ \left[ \begin{array}{l} x' \in L_0 \wedge x \notin \{x'_1, x'_2, \dots, x'_n\} \\ x' = x_1 \wedge x \notin \{x'_2, \dots, x'_n\} \\ x' = x_2 \wedge x \notin \{x'_3, \dots, x'_n\} \\ \dots \\ x' = x_{n-1} \wedge x \notin \{x'_n\} \\ x' = x_n \end{array} \right. \\ displaced(x') \\ R(x) = R(x') \end{array} \right.$$

*Доказательство.* Применим утверждение 1 для представления тестовой ситуации и лемму 1 для записи текущего состояния кэширующего буфера. Для вытесняемого тега записываем те же ограничения, что и для кэш-попадания, поскольку вытесняемый тег принадлежит текущему состоянию кэширующего буфера. Кроме того для вытесняемого тега формулируются дополнительные ограничения –  $displaced(x')$  (стратегия вытеснения) и  $R(x) = R(x')$  (из определения вытеснения: вытесняемый тег обязательно относится к тому же региону, что и вытесняющий).  $\square$

Заметьте, что получившиеся ограничения для кэш-попадания и кэш-промаха получились очень похожими, хотя изначально у них было два совершенно противоположных представления.

Теорему 1 можно переформулировать без использования вытесняемых тегов:

**Утверждение 2.** Пусть  $L_0$  – множество адресов данных, расположенных в кэширующем буфере перед исполнением первой инструкции тестового шаблона. Тогда

- для инструкции с кэш-попаданием адреса  $x$  следует добавить следующую совокупность уравнений:

$$\left[ \begin{array}{l} x \in L_0 \wedge x \text{ все еще не вытеснен} \\ x \text{ внесен одним из кэш-промахов} \wedge \text{с тех пор не вытеснен} \end{array} \right.$$

- для инструкции с кэш-промахом адреса  $x$  следует добавить следующую систему уравнений ( $\{x_i\}$  – множество адресов данных в инструкциях с кэш-промахами, расположенными до текущей инструкции):

$$\left[ \begin{array}{l} x \notin L_0 \wedge x \notin \{x_1, x_2, \dots, x_n\} \\ x \text{ был вытеснен} \wedge \text{не был больше внесен в буфер} \end{array} \right.$$

Формально показано, что утверждение 2 описывает все возможные сценарии появления и вытеснения данных в кэширующих буферах. Однако применение этих ограничений в данном виде для реальных микропроцессоров может быть ограничено из-за большого размера  $L_0$  (что влечет к большому размеру ограничений и к невозможности разрешения таких больших ограничений доступными инструментами). Далее будет показано, как *совместное рассмотрение* тестовых ситуаций разных буферов и таблиц позволят существенно сократить размер этой формулы и обратиться к генерации ограничений для описания вытеснения.

## 2.2 Совместная генерация ограничений

В этом разделе формально ставится задача генерации тестовых данных для последовательности тестовых ситуаций в кэширующем буфере, выделяется подзадача описания механизма вытеснения и описывается метод построения ограничений обозримого размера для генерации тестовых программ по тестовым шаблонам с использованием ограничений. Идея совместного мето-

да заключается в использовании содержимого нескольких кэширующих буферов и таблиц одновременно.

### 2.2.1 Особенности исполнения инструкций обращения к памяти на современных микропроцессорах

В инструкции обращения к памяти в современных микропроцессорах задействована не одна подсистема. Исполнение инструкции обращения к памяти можно разбить на два этапа – подготовка физического адреса и собственно обращение с памятью (см.рис. 2.3).

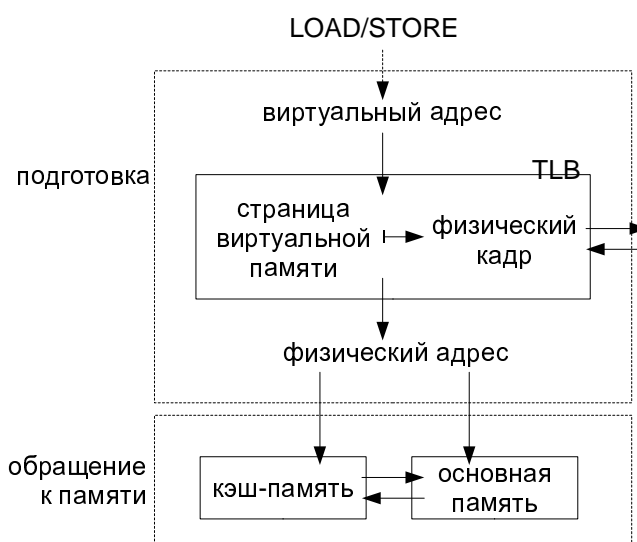


Рис. 2.3. Модель исполнения инструкции обращения к памяти

Подготовка физического адреса включает в себя формирование *виртуального адреса данных*, с которыми необходимо выполнить операцию (некоторые архитектуры сначала вычисляется *эффективный адрес* [60], затем на его основе виртуальный, а на его основе физический). Виртуальный адрес формируется на основе аргументов инструкции. Формирование физического адреса на основе виртуального адреса производится с использованием TLB. По сути по виртуальному адресу вычисляется номер страницы виртуальной памяти и смещение внутри этой страницы (зачастую это битовые поля виртуального адреса), для страницы виртуальной памяти выбирается соответствующий физический кадр, используя TLB, и, наконец, физический адрес составляется из полученного номера физического кадра и смещения внутри страницы (оно берется из виртуального адреса). TLB содержит некоторое

количество пар, задающих соответствие номера страницы виртуальной памяти и номера физического кадра. Размер самой страницы в виртуальной памяти и физической памяти совпадает, поэтому смещение внутри страницы используется в физическом адресе без изменений по сравнению с виртуальным адресом.

Когда физический адрес готов, осуществляется обращение к памяти: загрузка данных из памяти или сохранение данных в памяти. При этом если данные по физическому адресу имеются в кэш-памяти, основная память может остаться неизменной. Это сделано для повышения эффективности работы с основной памятью.

### 2.2.2 Уровни генерации тестовых данных

Тестовая программа некоторым специальным образом меняет состояние микропроцессора. Однако для того, чтобы это исполнение было согласовано с тестовым шаблоном, необходимо перед исполнением инструкций тестового шаблона перевести микропроцессор в некоторое специальное состояние (изменить значения в регистрах, в ячейках кэширующих буферов, возможно в ячейках оперативной памяти). Обычно изменение значения в регистре выполняется одной инструкцией, которая не затрагивает остальные компоненты микропроцессора. Таким образом, изменение значений в регистрах можно проводить последовательностью инструкций, каждая из которых меняет один регистр. Значения, которые надо поместить в регистры, входят в модель ограничений, генерируемых по тестовому шаблону. Однако изменение кэширующих буферов не всегда возможно выполнять независимо от остальных кэширующих буферов (в качестве примера можно привести кэш-память первого и второго уровней, которые могут измениться совместно).

Поэтому задача построения тестовой программы для тестового шаблона может быть поделена на подзадачи в зависимости от того, состояние каких кэширующих буферов разрешается изменять перед исполнением инструкций тестового шаблона. От этого в том числе будет зависеть и выбор переменных для ограничений (*тестовых данных*). Задача вычисления значений этих переменных называется задачей *генерации тестовых данных*. Она может быть представлена в следующих формах:

- *простая форма*: найти начальное состояние микропроцессора (тестовыми данными являются содержимое кэширующих буферов, таблиц и значения регистров); построение инструкций, приводящих кэширующие буферы и таблицы в это состояние, не входит в ограничения и должно выполняться после разрешения ограничений (т.е. получения тестовых данных); иными словами, результатом разрешения ограничений являются значения в ячейках буферов и таблиц, а инструкции, которые поместят эти значения в буферы и таблицы, должны быть получены иными алгоритмами [13]; при выполнении тестовой программы сгенерированные инструкции инициализации микропроцессора могут быть исполнены некорректно и тогда на инструкциях тестового шаблона могут не проявиться действительные ошибки или появиться ложные ошибки;
- *минимальная форма*: найти лишь значения регистров, используя данное начальное состояние (содержимое) кэширующих буферов и таблиц (тестовыми данными являются только значения регистров); инструкции, подготавливающие состояние микропроцессора, не меняют кэширующие буферы и таблицы, что повышает качество тестирования, однако в такой форме задача генерации тестовых данных может быть неразрешима (при разрешимой другой форме), т.е. тестовая программа с таким дополнительным ограничением не будет существовать, хотя без него будет;
- *смешанная форма*: требуется построить значения регистров и последовательность инструкций инициализации состояния микропроцессора (тестовыми данными являются значения регистров и аргументы инструкций инициализации); эта форма является компромиссом между простой и минимальной формой, правда в такой форме увеличивается сложность задачи построения и разрешения ограничений, потому что невозможно заранее предугадать, сколько необходимо и достаточно дополнительных инструкций.

Задачу поиска тестовых данных в минимальной форме будем называть задачей генерации тестовых данных *нулевого уровня*. Дальнейшие уровни определяются возможностью изменять кэширующие буферы и таблицы разными инструкциями. Например, для архитектуры MIPS [70] были выделены

следующие уровни генерации тестовых данных помимо нулевого уровня:

- на *первом уровне* разрешается менять те строки TLB, которые не находятся в буфере TLB; изменение одной строки можно делать независимо от остальных строк и буфера одной инструкцией (TLBWI);
- на *втором уровне* разрешается менять любую строку TLB; при этом кроме смены строк, не входящих в буфер TLB, нужно переинициализировать содержимое буфера (на каждую строку отдельная инструкция);
- на *третьем уровне* разрешается менять и TLB, и кэш-память.

Чем больше уровень, тем длиннее будет инициализирующая программа и тем сложнее ее построить.

### 2.2.3 Выделение подзадач на кэширующие буферы

Каждая инструкция может быть снабжена набором атрибутов, отвечающих отдельным этапам исполнения инструкции: аргументы, виртуальные адреса, физические адреса, теги, данные для обращения к памяти. Поскольку ограничения, описывающие в явном виде изменение состояния кэширующих буферов и таблиц в результате исполнения инструкций (инструкция представлена набором значений атрибутов, состояние кэширующих буферов и таблиц множеством значений ячеек), получаются очень большого размера (порядка  $|L| \cdot 2^n$ , где  $|L|$  – размер состояния кэширующего буфера,  $n$  – количество инструкций), то было принято решение использовать  *неявное*  задание инструкции. А именно, строить ограничения только на атрибутах всех инструкций. Ограничения на атрибуты одинаковой семантики выделим в отдельные *подзадачи*. Среди таких подзадач будут *подзадачи на кэширующие буферы*. Например, это могут быть подзадачи на описание физических адресов инструкций на основе тестовых ситуаций на кэш-память.

Везде далее под формулировкой тестового шаблона как последовательности пар  $(S_i, x_i)$  будет пониматься именно подзадача на некоторый кэширующий буфер. Последовательность  $(S_i)$  задает последовательность тестовых ситуаций на этот кэширующий буфер, а  $(x_i)$  – последовательность тегов.

Если имеется несколько подзадач, то конъюнкция их ограничений может иметь существенно меньший размер, чем размер самих ограничений для

отдельных подзадач. На этой идее и основан *метод совместной генерации ограничений*.

Отдельно рассмотрим часто встречающуюся *задачу на основную память*. Она задает соответствие между значениями регистров, физическими адресами и значениями ячеек оперативной памяти. Если представить основную память в виде одномерного массива *memory*, индексация в котором идет по физическим адресам, то:

- инструкцию, осуществляющую загрузку из памяти, можно представлять как  $R := memory[physicalAddress]$ ;
- инструкцию, осуществляющую сохранение в памяти, можно представлять как  $memory[physicalAddress] := R$ .

Таким образом, получается последовательность присваиваний, которая может быть преобразована в систему уравнений с помощью *редукции Аккермана* (или *аккерманизации*) [15]. А именно,

- для каждой упорядоченной пары инструкций (не обязательно находящиеся подряд в тестовом шаблоне, но в том же порядке)  $STORE(R_1, p_1)$  и  $LOAD(R_2, p_2)$  создается ограничение

$$(p_1 = p_2 \wedge p_2 \notin \{p_{(1)}, p_{(2)}, \dots, p_{(k)}\}) \rightarrow R_1 = R_2$$

где  $p_{(1)}, p_{(2)}, \dots, p_{(k)}$  – физические адреса инструкций  $STORE$ , расположенных между двумя инструкциями этой пары;

- для каждой упорядоченной пары инструкций (не обязательно находящиеся подряд в тестовом шаблоне, но в том же порядке)  $LOAD(R_1, p_1)$  и  $LOAD(R_2, p_2)$  создается ограничение

$$(p_1 = p_2 \wedge p_2 \notin \{p_{(1)}, p_{(2)}, \dots, p_{(k)}\}) \rightarrow R_1 = R_2$$

где  $p_{(1)}, p_{(2)}, \dots, p_{(k)}$  – физические адреса инструкций  $STORE$ , расположенных между двумя инструкциями этой пары.



## 2.2.4 Метод совместной генерации ограничений

Введем понятие «тегсет» и с помощью него выразим тестовые ситуации в кэширующих буферах. Обращение к кэширующему буферу по данному адресу осуществляется на основе тега и индекса, которые вычисляются на основе адреса. По индексу из всех секций кэширующего буфера выбираются пары «(тег, значение)». Далее осуществляется поиск тега адреса среди тегов выбранных пар. Зачастую тег адреса и индекс адреса вычисляются как битовые поля адреса. Битовую конкатенацию тега и индекса будем называть *тегсетом* адреса. Если кэширующий буфер является полностью ассоциативным, то тегсет совпадает с тегом адреса.

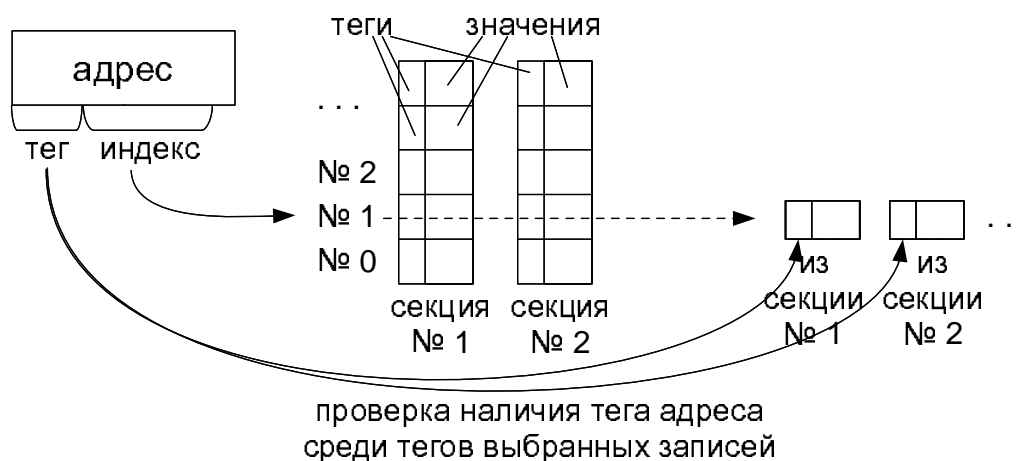


Рис. 2.4. Тег и индекс адреса

В микропроцессорах зачастую тегсет является инвариантом при обращениях в разные уровни кэш-памяти (обычно это делается для того, чтобы не менялись оставшиеся биты физического адреса, они задают смещение в строке кэш-памяти, и постоянство этих бит позволяет легко перемещать строки кэш-памяти между разными уровнями).



Рис. 2.5. Тегсет физического адреса

Тегсеты могут быть использованы для представления тестовых ситуаций в кэширующих буферах с использованием ограничений таким же образом,

как это делалось для тегов:  $x \in L$  для кэш-попадания и  $x \notin L$  для кэш-промаха, где  $x$  – тегсет адреса, а  $L$  – множество тегсетов данных, хранящихся в кэширующем буфере перед исполнением инструкции. Множество тегсетов составляется битовой конкатенацией тега и индекса в каждом элементе начального содержимого кэширующего буфера. Для тегсетов аналогичным образом формулируются и доказываются лемма 1 и теорема 1 об ограничениях для тестовых ситуаций в кэширующих буферах, сформулированных уже на тегсетах.

Рассмотрим следующее представление тестового шаблона, которое назовем *схемой последовательностей тестовых ситуаций*. По одной оси будут располагаться инструкции тестового шаблона, по другой оси – кэширующие буферы микропроцессора (см.рис. 2.6). На пересечении инструкции и буфера будет помещаться переменная – тег или тегсет, если для этой инструкции в тестовом шаблоне есть тестовая ситуация на обращение в этот кэширующий буфер. Будем считать, что в исполнении инструкции задействованы те кэширующие буферы, тестовые ситуации на которые указаны в тестовом шаблоне для этой инструкции. Схема последовательностей тестовых ситуаций позволяет увидеть имеющиеся в тестовом шаблоне *совместные* обращения в кэширующие буферы, увидеть последовательности обращений к отдельным буферам, таким образом оценить сложность будущих ограничений.

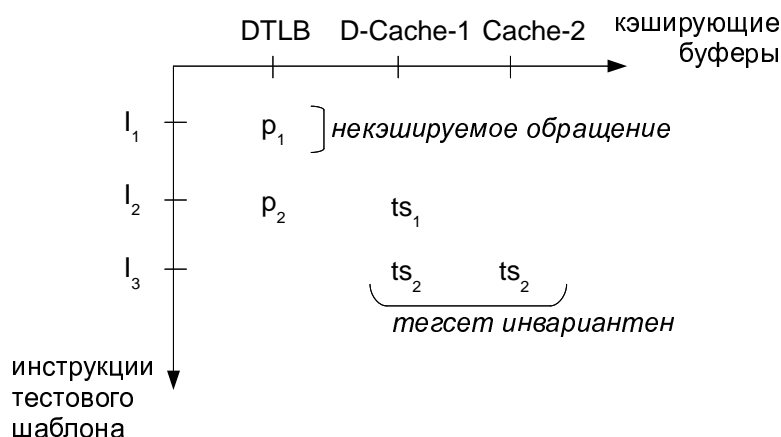


Рис. 2.6. Пример схемы последовательностей тестовых ситуаций

Для каждой последовательности тестовых ситуаций вводятся переменные-теги или тегсеты, а генерируемые для тестового шаблона ограничения состоят из ограничений для каждой такой переменной и ограничения, описывающие отношения введенных переменных. Этот процесс можно выразить

следующей последовательностью шагов:

1. составить модель MMU (выделить кэширующие буферы и таблицы);
2. выделить последовательности тестовых ситуаций в тестовом шаблоне (составить *схему последовательностей тестовых ситуаций*);
3. ввести переменные-теги тестовых ситуаций; если возможно, уменьшить количество переменных, заменив некоторые теги на тегсеты;
4. выделить последовательности тестовых ситуаций, для записи которых потребуются большие массивы данных;
5. построить ограничения для каждого тегсета – при обращении к большим массивам данных строить *совместные ограничения*.

Последний шаг требует пояснения. Пусть имеются две тестовые ситуации на кэширующие буферы. Упорядочим их в таком порядке, что данные, полученные из первого буфера, связаны с тегом обращения ко второму кэширующему буферу (см.рис. 2.7). При этом первый кэширующий буфер подчинен некоторой таблице.

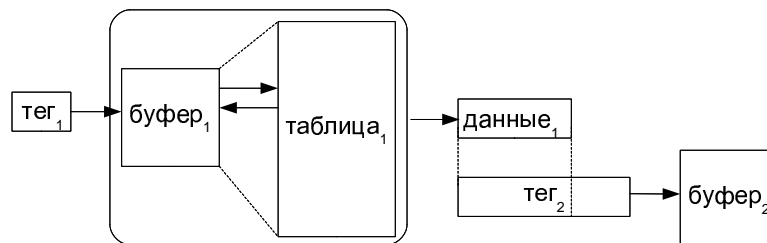


Рис. 2.7. Совместные обращения в буферы

В ограничениях появляется содержимое буферов целиком (иначе можно просто выписать ограничения на первый и на второй буфер без изменения). Согласно теореме 1 для кэш-попадания в первом буфере можно записать ограничения:

$$\left[ \begin{array}{l} t_1 \in T_1 \wedge \dots \\ t_1 = t_2 \wedge \dots \end{array} \right.$$

Значит, при этом тег принадлежит либо множеству тегов первого буфера, либо множеству тегов из таблицы, которой подчинен первый буфер. Из этого

следует, что данные – результат обращения в первый буфер – либо принадлежат данным из буфера ( $TD_1$ ), либо принадлежат данные из таблицы ( $FD_1$ ). Для кэш-промаха ограничения:

$$\left[ \begin{array}{l} t_1 \notin T_1 \wedge \dots \\ t_1 = t'_2 \wedge \dots \end{array} \right.$$

Соответственно, либо тег не принадлежит множеству тегов первого буфера, но принадлежит множеству тегов в таблице, которой подчинен первый буфер, либо тег принадлежит тегам той же таблицы (т.к. этим тегам принадлежит  $t'_2$ ). Значит, при кэш-промахе данные, получаемые после обращения в первый кэширующий буфер, либо принадлежат  $FD_1 \setminus TD_1$ , либо принадлежат  $FD_1$ .

Далее, учтем, что биты данных, полученных из первого буфера, связаны с битами тега для обращения во второй буфер. Для обращения во второй кэширующий буфер снова выпишем ограничения, согласно теореме 1. Для кэш-попадания в одну из конъюнкций входит большой массив тегов второго буфера:

$$\left[ \begin{array}{l} x_1 \in X_1 \wedge \dots \\ x_1 = x_2 \wedge \dots \end{array} \right.$$

Но поскольку тег связан с данными, полученными из первого буфера, конъюнкция ограничений позволяет сократить множество тегов  $L$ , оставив только те, которые подходят под множество констант, участвующих в ограничении для обращения в первый буфер. Например, вместо ограничения  $x \in L$  если данные из первого буфера  $d$  являются битовым полем  $x$  (например, номер физического кадра является битовым полем тегсета при обращении в кэш-память) и  $d \in DD$  можно записать ограничение  $x \in L \cap [DD]$ , т.е.  $x \in \{\lambda | \lambda \in L \wedge \lambda_{\text{биты данных}} \in DD\}$ . Соответствующее упрощение можно сделать и для  $d$ :  $d \in L \cap \widehat{[DD]}$ , т.е.  $d \in \{\delta | \delta \in DD \wedge \exists x \in L : \delta = x_{\text{биты данных}}\}$ . Множества констант  $L \cap [DD]$  и  $L \cap \widehat{[DD]}$  могут быть вычислены до генерации ограничений. Обычно множество  $L \cap [DD]$  имеет значительно меньший размер, чем  $L$ , что позволяет существенно сократить размер ограничений. В этом и заключается основной эффект применения совместной генерации ограничений. Для кэш-промаха получают похожие ограничения, только вместо

$x \notin L$  будет  $x \notin L \cap [DD]$ .

Надо быть аккуратным, ведь не всегда таблицы и буферы имеют действительно большой размер и иногда множество тегов, которое входит в ограничения, может быть выписано целиком. Например, при рассмотрении конъюнкции следующих подформул (первая получена от кэш-попадания в кэш-памяти по тегу  $x$ , вторая получена от тестовой ситуации в TLB,  $\hat{x}$  – номер физического кадра, входящий в  $x$ ):

$$\begin{cases} x = x_i \wedge \dots \\ \hat{x} \in PFN \wedge \dots \end{cases}$$

искать множество  $L$  и пересекать его с  $PFN$  не нужно, потому как  $PFN$  небольшого размера выписывается целиком (а большого размера и не участвует в ограничения – см.теорему 1).

### 2.2.5 Корректность и условная полнота совместной генерации

**Теорема 2** (Корректность метода совместной генерации ограничений). *Если ограничения, сгенерированные для некоторого тестового шаблона методов совместной генерации, совместны и дают в качестве решения начальные значения регистров  $r_1, r_2, \dots, r_R$ , то для этого тестового шаблона существует тестовая программа, инициализирующая часть которой содержит лишь загрузку в регистры значений  $r_1, r_2, \dots, r_R$ .*

*Доказательство.* Ограничения, которые построены методом совместной генерации, отличаются от определений тестовых ситуаций лишь эквивалентной записью конъюнкции ограничений с множеством значений. Если переменные удовлетворяют конъюнкции, то они удовлетворяют каждому элементу этой конъюнкции, т.е. тестовая программа, составленная с ними, будет соответствовать тестовому шаблону.  $\square$

**Теорема 3** (Условная полнота метода совместной генерации ограничений). *Пусть выбран некоторый тестовый шаблон, в котором все обращения в кэширующие буферы являются совместными. Тогда если для него существует тестовая программа, в инициализирующей части которой не меняет-*

ся состояние кэширующих буферов, то ограничения, составленные методом совместной генерации, будут совместны.

*Доказательство.* Ограничения, которые построены методом совместной генерации, отличаются от определений тестовых ситуаций лишь эквивалентной записью конъюнкции ограничений с множеством значений. Если переменные удовлетворяют каждому элементу конъюнкции (а это верно, поскольку существует тестовая программа), то они удовлетворяют и конъюнкции, что и означает совместность искомой системы ограничений.  $\square$

## 2.3 Зеркальная генерация тестовых данных

Метод совместной генерации ограничений позволяет эффективно построить тестовую программу, если для каждой инструкции имеется более одного задействовано кэширующего буфера. Однако возможны случаи, например, неотображаемого кэшируемого обращения в микропроцессоре с TLB и кэш-памятью большого размера, когда в ограничениях, генерируемых согласно теореме 1, невозможно уменьшить размер  $L_0$ .

Другой случай – это так называемая *VIVT кэш-память* (virtually indexed virtually tagged) [43]. В этой кэш-памяти данные снабжены тегами виртуального адреса (в virtually indexed physically tagged кэш-памяти данные снабжены тегами физического адреса). Такая кэш-память в основном применяется для кэширования инструкций. Эта кэш-память характеризуется тем, что обращение к кэш-памяти первого уровня не требует предварительной трансляции виртуального адреса в физический. Однако ограничения, генерируемые согласно теореме 1, для кэш-попадания нет возможности выделить совместное обращение (для кэш-промаха совместное обращение возможно).

Противоположный случай – когда составить систему ограничений методом совместной генерации можно, но эта система оказывается несовместной.

Однако если архитектура микропроцессора позволяет изменять кэширующие буферы с помощью отдельных инструкций (возможно, при особом значении некоторых регистров микропроцессора или области виртуальной памяти), то можно воспользоваться этими инструкциями для добавления в кэширующий буфер данных по тем тегам, которые будут использованы в тестовой программе (а их уже можно выбирать произвольно, что сильно упростит си-

стему ограничений). При этом можно не задумываться над тем, были ли эти теги в  $L_0$  или нет. Иными словами, если обращение к кэширующему буферу по некоторому тегу должно быть успешным, то перед этим обращением должно быть другое обращение по этому же тегу, после которого данные по этому тегу не вытесняются до нужного обращения. Дополнительных ограничений, кроме уже упомянутых, на тег не накладывается. Если обращение к кэширующему буферу по некоторому тегу должно быть неуспешным, то перед этим обращением всё равно должно быть другое обращение по этому же тегу, после которого однако данные по этому тегу должны быть вытеснены и не положены вновь до нужного обращения. Таким образом, у каждого тега в тестового шаблона есть свой «зеркальный» тег среди предыдущих тегов тестового шаблона или дополнительных тегов инициализирующей программы.

Более формально, для данной последовательности тестовых ситуаций для кэширующего буфера  $(S_i, x_i)$ , где  $i = 1, 2, \dots, n$ ,  $S_i$  – hit или miss,  $x_i$  – тег данных, требуется построить последовательность тегов  $t_j$  (*инициализирующая последовательность тегов*),  $j = 1, 2, \dots, m$ , которые обеспечивают данную последовательность тестовых ситуаций. Согласно зеркальному методу для каждого данного тега  $x_i$  при  $S_i = \text{hit}$  надо составить систему уравнений

$$\begin{cases} x_i \in \{t_1, \dots, t_m, x_1, \dots, x_{i-1}\} \\ x \text{ не вытеснен с момента последнего к нему} \\ \text{обращения в } t_1, \dots, t_m, x_1, \dots, x_{i-1} \end{cases}$$

а при  $S_i = \text{miss}$  надо составить систему уравнений

$$\begin{cases} x_i \in \{t_1, \dots, t_m, x_1, \dots, x_{i-1}\} \\ x \text{ вытеснен и не добавлен с момента последнего} \\ \text{к нему обращения в } t_1, \dots, t_m, x_1, \dots, x_{i-1} \end{cases}$$

**Лемма 2.** *Если существует решение для некоторого  $m$ , то существует решение и для  $m + 1$ .*

*Доказательство.* Достаточно взять  $t_{m+1} = t_m$ . □

Ниже будет показано, что достаточно рассматривать  $m$ , ограниченные линейной функцией от  $n$  и  $w$  (ассоциативности кэширующего буфера). Поэтому может быть поставлена задача минимизации параметра  $m$  (длины инициализирующей программы). Это увеличит качество тестирования, поскольку

уменьшит влияние дополнительных, инициализирующих, инструкций на исполнение инструкций тестового шаблона. Минимизация может быть эффективно выполнена с использованием двоичного поиска оптимального значения  $m$  (лемма 2 показывает корректность применения двоичного поиска) – границу сверху для значения  $m$  дает теорема 5.

**Утверждение 3** (Применимость зеркального метода). *Зеркальный метод генерации ограничений применим к данному тестовому шаблону для данной архитектуры микропроцессоров, если система команд микропроцессора содержит инструкции, позволяющие (при определенных условиях) изменение задействованных в тестовом шаблоне кэширующих буферов по отдельности от остальных кэширующих буферов.*

Например, в архитектуре MIPS [70] инструкции обращения к памяти могут быть исполнены:

- в некэширующем отображаемом режиме – это позволяет изменять буфер данных TLB отдельно от кэш-памяти;
- в кэшируемом неотображаемом режиме – это позволяет изменять кэш-память данных отдельно от буфера данных TLB.

При этом инструкции могут быть исполнены в кэшируемом или отображаемом режиме по отношению к кэш-памяти инструкций или буферу инструкций TLB. Для возможности применения зеркального метода в случае, когда тестовый шаблон содержит тестовые ситуации на кэш-память данных и на кэш-память инструкций, надо выбирать расположение инициализирующих инструкций в памяти так, чтобы при исполнении каждой такой инструкции был задействован всего один кэширующий буфер.

Как будет показано далее, этих условий хватает для того, чтобы зеркальный метод генерации ограничений был корректным, но не хватает для его полноты. Однако для наиболее часто используемых в микропроцессорах стратегий вытеснений зеркальный метод всё же является полным.

### 2.3.1 Корректность зеркального метода

Далее формулируется и доказывается теорема о корректности зеркального метода генерации ограничений. Она формально обоснует применение



зеркального метода для генерации тестовых программ по тестовым шаблонам.

**Лемма 3** (Существование последнего вытеснения). Пусть  $(S_i, x_i)$ ,  $i = 1, 2, \dots, n$  – последовательность тегов с тестовыми ситуациями (если  $S_i = \text{miss}$ , символом  $x'_i$  будет обозначаться вытесняемый тег). Тогда если  $S_n = \text{miss}$  и  $x_n = x'_j$  для некоторого  $j \in [1, n-1]$ , то существует  $k \in [j, n-1]$  такой, что  $x_n = x'_k$  и  $x'_k \notin [x_{k+1}, \dots, x_{n-1}]_{\text{miss}}$  ( $[x_{k+1}, \dots, x_{n-1}]_{\text{miss}} \equiv \{x_p | p \in \{k+1, \dots, n-1\} \wedge S_p = \text{miss}\}$ ).

*Доказательство.* Докажем от противного. Допустим, что такого  $k$  не существует. Тогда получается, что для любого  $l \in [j, n-1]$  справедлива дизъюнкция  $x_n \neq x'_l$  или  $x'_l \in [x_{l+1}, \dots, x_{n-1}]_{\text{miss}}$ . В частности для  $l = j$  получаем  $x_n \neq x'_j \vee x'_j \in [x_{j+1}, \dots, x_{n-1}]_{\text{miss}}$ . Так как по условию  $x_n = x'_j$ , то получаем, что существует такой  $j_1 \in [j+1, \dots, n-1]$ , что  $x'_j = x_{j_1}$ . Так как  $x_n = x'_j$ , то  $x_n = x_{j_1}$ . Тогда существует  $j_2 \in [j_1+1, \dots, n-1]$  такой, что  $x'_{j_2} = x_{j_1}$  (в противном случае  $x_n \notin \{x'_{j_1+1}, \dots, x'_{n-1}\}$ , что означает ситуацию, когда  $x_n$  не будет вытеснен и останется в буфере, а это противоречит тому, что по условию  $S_n = \text{miss}$ ). Таким образом, существует  $j_2$  такое, что  $j_2 < n$  и  $j_2 > j_1$  и  $x_n = x'_{j_2}$ . Получено то же условие, что и для  $j$ . Рассуждая аналогично, получим целую последовательность  $j_3, j_4, \dots$ . Поскольку  $j_3 < j_4 < \dots < n$  (возрастающая последовательность, ограниченная сверху), то существует  $j^*$  такой, что  $x_n = x_{j^*}$  и  $x_{j^*} \notin \{x_{j^*+1}, \dots, x_n\}$  (в противном случае будет нарушено  $S_n = \text{miss}$ ). Однако по предположению  $x_n \neq x_{j^*}$  или  $x_{j^*} \in \{x_{j^*+1}, \dots, x_n\}$ . Противоречие.  $\square$

**Теорема 4** (Корректность зеркального метода). Если зеркальный метод генерации ограничений применим, то тестовая программа, построенная по зеркальному методу удовлетворяет требованиям тестового шаблона (тестовым ситуациям инструкций).

*Доказательство.* Пусть  $t_1, t_2, \dots, t_m$  – последовательность инициализирующих тегов,  $(S_1, x_1), (S_2, x_2), \dots, (S_n, x_n)$  – тестовый шаблон,  $x_1, x_2, \dots, x_n$  – значения тегов, построенная в результате разрешения ограничений, сгенерированных согласно зеркальному методу.

Без потери общности будем доказывать теорему для произвольного  $x_i$  из  $\{x_1, x_2, \dots, x_n\}$ . Наша задача – показать, что значение  $x_i$ , сгенерированное с

помощью зеркального метода, соответствует тестовой ситуации  $S_i$ .

Далее будут использованы следующие обозначения для произвольной последовательности тегов  $\alpha_1, \alpha_2, \dots, \alpha_N$ :  $[\alpha_1, \alpha_2, \dots, \alpha_N]$  – это подпоследовательность последовательности  $\alpha_1, \alpha_2, \dots, \alpha_N$ , состоящая только из тех тегов, обращения к которым дают кэш-промах (*подпоследовательность вытесняющих тегов*);  $[\alpha_1, \alpha_2, \dots, \alpha_N]'$  – это последовательность всех тегов, вытесняемых тегами из  $[\alpha_1, \alpha_2, \dots, \alpha_N]$  с сохранением порядка (*подпоследовательность вытесняемых тегов*).

Зафиксируем некоторое начальное состояние кэширующего буфера перед последовательностью инициализирующих тегов  $L_0$ . Тогда каждому элементу этой последовательности  $t_k$  можно приписать «тестовую ситуацию»  $R_k$  ( $R_k = \text{hit}$  или  $R_k = \text{miss}$ ) в зависимости от того, успешным или неуспешным было обращение к  $t_k$  в буфере.

**Рассмотрим сначала случай  $S_i = \text{hit}$ .** По условию  $x_i$  сгенерирован с помощью зеркального метода, т.е.  $x_i \in \{t_1, t_2, \dots, t_m, x_1, x_2, \dots, x_{i-1}\}$  и  $x_i$  не равен ни одному вытесняемому тегу после последнего обращения к  $x_i$ . Запишем это условие с использованием операций над множествами (от последовательности используется множество элементов):

$$\left[ \begin{array}{l} x_i = t_1 \wedge x_i \notin [t_2, t_3, \dots, t_m]' \wedge x_i \notin \{y'_1, y'_2, \dots, y'_p\} \\ x_i = t_2 \wedge x_i \notin [t_3, t_4, \dots, t_m]' \wedge x_i \notin \{y'_1, y'_2, \dots, y'_p\} \\ \dots \\ x_i = t_m \wedge x_i \notin \{y'_1, y'_2, \dots, y'_p\} \\ x_i = x_1 \wedge x_i \notin [x_2, x_3, \dots, x_{i-1}]' \\ x_i = x_2 \wedge x_i \notin [x_3, x_4, \dots, x_{i-1}]' \\ \dots \\ x_i = x_{i-1} \end{array} \right. \quad (2.1)$$

где последовательность  $y_1, y_2, \dots, y_p \equiv [x_1, x_2, \dots, x_{i-1}]$ , последовательность  $y'_1, y'_2, \dots, y'_p \equiv [x_1, x_2, \dots, x_{i-1}]'$

Надо показать, что из этого условия следует следующее условие:

$$\left[ \begin{array}{l} x_i \in L_1 \wedge x_i \notin \{y'_1, y'_2, \dots, y'_p\} \\ x_i = y_1 \wedge x_i \notin \{y'_2, y'_3, \dots, y'_p\} \\ x_i = y_2 \wedge x_i \notin \{y'_3, y'_4, \dots, y'_p\} \\ \dots \\ x_i = y_p \end{array} \right. \quad (2.2)$$

где  $L_1$  – содержимое кэширующего буфера перед инструкциями тестового шаблона (после  $t_m$ ).

По теореме 1 выражение  $x_i \in L_1$  может быть переписано в следующем эквивалентном виде:

$$\left[ \begin{array}{l} x_i \in L_0 \wedge x_i \notin \{s'_1, s'_2, \dots, s'_q\} \\ x_i = s_1 \wedge x_i \notin \{s'_2, s'_3, \dots, s'_q\} \\ x_i = s_2 \wedge x_i \notin \{s'_3, s'_4, \dots, s'_q\} \\ \dots \\ x_i = s_q \end{array} \right. \quad (2.3)$$

где последовательность  $s_1, s_2, \dots, s_q \equiv [t_1, t_2, \dots, t_m]$ , а последовательность  $s'_1, s'_2, \dots, s'_q \equiv [t_1, t_2, \dots, t_m]'$ .

Далее будет показано, что каждый элемент дизъюнкции 2.1 будет присутствовать среди элементов дизъюнкции 2.2, что и даст нужное обоснование.

Рассмотрим  $k$ 'й элемент дизъюнкции 2.1 ( $k = 1, 2, \dots, m$ ). Если  $R_k = \text{miss}$ , то элемент дизъюнкции  $x_i = t_k \wedge x_i \notin \{s'_{r+1}, s'_{r+2}, \dots, s'_q\} \wedge x_i \notin \{y'_1, y'_2, \dots, y'_p\}$  входит целиком в дизъюнцию 2.2 для  $r$  такого, что  $t_k \equiv s_r$ , так как  $x_i = s_r \wedge x_i \notin \{s'_{r+1}, s'_{r+2}, \dots, s'_q\}$  является частью  $x_i \in L_1$ .

Если  $R_k = \text{hit}$ , то по теореме 1  $x_i = t_k$  можно записать в следующем эквивалентном виде:

$$\left[ \begin{array}{l} x_i \in L_0 \wedge x_i \notin \{s'_1, s'_2, \dots, s'_r\} \\ x_i = s_1 \wedge x_i \notin \{s'_2, s'_3, \dots, s'_r\} \\ x_i = s_2 \wedge x_i \notin \{s'_3, s'_4, \dots, s'_r\} \\ \dots \\ x_i = s_r \end{array} \right.$$

где  $s_r$  – ближайший предыдущих элемент к  $t_k$  (или более формально  $t_k \in \{s_1, s_2, \dots, s_{r+1}\} \setminus \{s_1, s_2, \dots, s_r\}$ ). Таким образом, элемент дизъюнкции  $x_i = t_k \wedge x_i \notin \{s'_{r+1}, s'_{r+2}, \dots, s'_q\} \wedge x_i \notin \{y'_1, y'_2, \dots, y'_p\}$  эквивалентен дизъюнкции

$$\left[ \begin{array}{l} x_i \in L_0 \wedge x_i \notin \{s'_1, s'_2, \dots, s'_q\} \wedge x_i \notin \{y'_1, y'_2, \dots, y'_p\} \\ x_i = s_1 \wedge x_i \notin \{s'_2, s'_3, \dots, s'_q\} \wedge x_i \notin \{y'_1, y'_2, \dots, y'_p\} \\ x_i = s_2 \wedge x_i \notin \{s'_3, s'_4, \dots, s'_q\} \wedge x_i \notin \{y'_1, y'_2, \dots, y'_p\} \\ \dots \\ x_i = s_q \wedge x_i \notin \{y'_1, y'_2, \dots, y'_p\} \end{array} \right.$$

Получен нужный вид части дизъюнкции 2.2.

Рассмотрим  $k + m$ 'й элемент дизъюнкции 2.1 ( $k = 1, 2, \dots, i - 1$ ). Если  $S_k = \text{miss}$ , то  $k + m$ 'й элемент дизъюнкции 2.1 без изменений переходит в дизъюнцию 2.2. Если  $S_k = \text{hit}$ , то по теореме 1  $x_i = x_k$  можно записать в следующем виде:

$$\left[ \begin{array}{l} x_i \in L_0 \wedge x_i \notin \{s'_1, s'_2, \dots, s'_q\} \wedge \notin \{y'_1, y'_2, \dots, y'_{p_i}\} \\ x_i = s_1 \wedge x_i \notin \{s'_2, s'_3, \dots, s'_q\} \wedge \notin \{y'_1, y'_2, \dots, y'_{p_i}\} \\ x_i = s_2 \wedge x_i \notin \{s'_3, s'_4, \dots, s'_q\} \wedge \notin \{y'_1, y'_2, \dots, y'_{p_i}\} \\ \dots \\ x_i = s_q \wedge \notin \{y'_1, y'_2, \dots, y'_{p_i}\} \\ x_i = y_1 \wedge \notin \{y'_2, y'_3, \dots, y'_{p_i}\} \\ x_i = y_2 \wedge \notin \{y'_3, y'_4, \dots, y'_{p_i}\} \\ \dots \\ x_i = y_{p_i} \end{array} \right.$$

где  $y_{p_i}$  – ближайший предыдущих элемент к  $x_k$  (или более формально  $x_k \in \{y_1, y_2, \dots, y_{p_i+1}\} \setminus \{y_1, y_2, \dots, y_{p_i}\}$ ). Таким образом, элемент дизъюнкции  $x_i =$

$x_k \wedge x_i \notin \{y'_{p_i+1}, y'_{p_i+2}, \dots, y'_p\}$  эквивалентен дизъюнкции

$$\left[ \begin{array}{l} x_i \in L_0 \wedge x_i \notin \{s'_1, s'_2, \dots, s'_q\} \wedge \notin \{y'_1, y'_2, \dots, y'_p\} \\ x_i = s_1 \wedge x_i \notin \{s'_2, s'_3, \dots, s'_q\} \wedge \notin \{y'_1, y'_2, \dots, y'_p\} \\ x_i = s_2 \wedge x_i \notin \{s'_3, s'_4, \dots, s'_q\} \wedge \notin \{y'_1, y'_2, \dots, y'_p\} \\ \dots \\ x_i = s_q \wedge x_i \notin \{y'_1, y'_2, \dots, y'_p\} \\ x_i = y_1 \wedge x_i \notin \{y'_2, y'_3, \dots, y'_p\} \\ x_i = y_2 \wedge x_i \notin \{y'_3, y'_4, \dots, y'_p\} \\ \dots \\ x_i = y_{p_i} \wedge x_i \notin \{y'_{p_i+1}, y'_{p_i+2}, \dots, y'_p\} \end{array} \right.$$

которая является частью дизъюнкции 2.2.

**Теперь рассмотрим случай  $S_i = \text{miss}$ .** По условию  $x_i$  сгенерирован с помощью зеркального метода, т.е.  $x_i \in \{t_1, t_2, \dots, t_m, x_1, x_2, \dots, x_{i-1}\}$  и  $x_i$  равен некоторому вытесняемому тегу после последнего обращения к  $x_i$ . Запишем это условие с использованием операций над множествами (от последовательности используется множество элементов):

$$\left[ \begin{array}{l} x_i = t_1 \wedge (x_i \in [t_2, t_3, \dots, t_m]' \vee x_i \in \{y'_1, y'_2, \dots, y'_p\}) \\ x_i = t_2 \wedge (x_i \in [t_3, t_4, \dots, t_m]' \vee x_i \in \{y'_1, y'_2, \dots, y'_p\}) \\ \dots \\ x_i = t_m \wedge (x_i \in \{y'_1, y'_2, \dots, y'_p\}) \\ x_i = x_1 \wedge (x_i \in [x_2, x_3, \dots, x_{i-1}]') \\ x_i = x_2 \wedge (x_i \in [x_3, x_4, \dots, x_{i-1}]') \\ \dots \\ x_i = x_{i-2} \wedge (x_i \in [x_{i-1}]') \end{array} \right. \quad (2.4)$$

где последовательность  $y_1, y_2, \dots, y_p \equiv [x_1, x_2, \dots, x_{i-1}]$ , а последовательность  $y'_1, y'_2, \dots, y'_p \equiv [x_1, x_2, \dots, x_{i-1}]'$ .

Надо показать, что из этого условия следует следующее условие:

$$\left[ \begin{array}{l} x_i \notin L_1 \wedge x_i \notin \{y_1, y_2, \dots, y_p\} \\ x_i = y'_1 \wedge x_i \notin \{y_2, y_3, \dots, y_p\} \\ x_i = y'_2 \wedge x_i \notin \{y_3, y_4, \dots, y_p\} \\ \dots \\ x_i = y'_p \end{array} \right. \quad (2.5)$$

где  $L_1$  – содержимое кэширующего буфера перед инструкциями тестового шаблона (т.е. после  $t_m$ ).

По теореме 1 выражение  $x_i \notin L_1$  может быть переписано в следующем эквивалентном виде:

$$\left[ \begin{array}{l} x_i \notin L_0 \wedge x_i \notin \{s_1, s_2, \dots, s_q\} \\ x_i = s'_1 \wedge x_i \notin \{s_2, s_3, \dots, s_q\} \\ x_i = s'_2 \wedge x_i \notin \{s_3, s_4, \dots, s_q\} \\ \dots \\ x_i = s'_q \end{array} \right.$$

где последовательность  $s_1, s_2, \dots, s_q \equiv [t_1, t_2, \dots, t_m]$ , а последовательность  $s'_1, s'_2, \dots, s'_q \equiv [t_1, t_2, \dots, t_m]'$ . С учетом этого дизъюнкция 2.5 переписывается в виде:

$$\left[ \begin{array}{l} x_i \notin L_0 \wedge x_i \notin \{s_1, s_2, \dots, s_q\} \wedge x_i \notin \{y_1, y_2, \dots, y_p\} \\ x_i = s'_1 \wedge x_i \notin \{s_2, s_3, \dots, s_q\} \wedge x_i \notin \{y_1, y_2, \dots, y_p\} \\ x_i = s'_2 \wedge x_i \notin \{s_3, s_4, \dots, s_q\} \wedge x_i \notin \{y_1, y_2, \dots, y_p\} \\ \dots \\ x_i = s'_q \wedge x_i \notin \{y_1, y_2, \dots, y_p\} \\ x_i = y'_1 \wedge x_i \notin \{y_2, y_3, \dots, y_p\} \\ x_i = y'_2 \wedge x_i \notin \{y_3, y_4, \dots, y_p\} \\ \dots \\ x_i = y'_p \end{array} \right. \quad (2.6)$$

Далее будет показано, что каждый элемент дизъюнкции 2.4 будет присутствовать среди элементов дизъюнкции 2.6, что и даст нужное обоснование.

Сначала избавимся от тех элементов дизъюнкции 2.4 среди первых  $m$

элементов  $x_i = t_k \wedge \dots$ , в которых  $R_k = \text{hit}$ . По теореме 1:

$$\left[ \begin{array}{l} t_k \in L_0 \wedge x_i \notin \{s'_1, s'_2, \dots, s'_r\} \\ t_k = s_1 \wedge x_i \notin \{s'_2, s'_3, \dots, s'_r\} \\ t_k = s_2 \wedge x_i \notin \{s'_3, s'_4, \dots, s'_r\} \\ \dots \\ t_k = s_r \end{array} \right.$$

где  $s_r$  – ближайший предыдущих элемент к  $t_k$  (или более формально  $t_k \in \{s_1, s_2, \dots, s_{r+1}\} \setminus \{s_1, s_2, \dots, s_r\}$ ). С учетом этого равенство  $x_i = t_k$  преобразуется эквивалентным образом в дизъюнкцию:

$$\left[ \begin{array}{l} x_i \in L_0 \wedge x_i \notin \{s'_1, s'_2, \dots, s'_r\} \\ x_i = s_1 \wedge x_i \notin \{s'_2, s'_3, \dots, s'_r\} \\ x_i = s_2 \wedge x_i \notin \{s'_3, s'_4, \dots, s'_r\} \\ \dots \\ x_i = s_r \end{array} \right.$$

что дает возможность переписать эквивалентным образом дизъюнкцию 2.4 с использованием правила поглощения в следующем виде:

$$\left[ \begin{array}{l} x_i \in L_0 \wedge (x_i \in \{y'_1, y'_2, \dots, y'_p\}) \\ x_i = s_1 \wedge (x_i \in \{s'_2, s'_3, \dots, s'_q\} \vee x_i \in \{y'_1, y'_2, \dots, y'_p\}) \\ x_i = s_2 \wedge (x_i \in \{s'_3, s'_4, \dots, s'_q\} \vee x_i \in \{y'_1, y'_2, \dots, y'_p\}) \\ \dots \\ x_i = s_m \wedge x_i \in \{y'_1, y'_2, \dots, y'_p\} \\ x_i = x_1 \wedge (x_i \in [x_2, x_3, \dots, x_{i-1}]') \\ x_i = x_2 \wedge (x_i \in [x_3, x_4, \dots, x_{i-1}]') \\ \dots \\ x_i = x_{i-2} \wedge (x_i \in [x_{i-1}]') \end{array} \right. \quad (2.7)$$

Сгруппируем элементы этой ДНФ следующим образом:

$$\left[ \begin{array}{l} x_i = s'_2 \wedge (x_i \in \{s_1\} \vee x_i \in L_0) \\ x_i = s'_3 \wedge (x_i \in \{s_1, s_2\} \vee x_i \in L_0) \\ \dots \\ x_i = s'_q \wedge (x_i \in \{s_1, s_2, \dots, s_{q-1}\} \vee x_i \in L_0) \\ x_i \in \{y'_1, y'_2, \dots, y'_p\} \wedge (x_i \in \{s_1, s_2, \dots, s_q\} \vee x_i \in L_0) \\ x_i = x_1 \wedge (x_i \in [x_2, x_3, \dots, x_{i-1}]') \\ x_i = x_2 \wedge (x_i \in [x_3, x_4, \dots, x_{i-1}]') \\ \dots \\ x_i = x_{i-2} \wedge (x_i \in [x_{i-1}]') \end{array} \right.$$

Рассмотрим каждый элемент этой дизъюнкции  $x_i = s'_k \wedge (x_i \in \{s_1, s_2, \dots, s_{k-1}\} \vee x_i \in L_0)$ . По лемме 3 следует, что существует такой («последний»)  $s_{k'}$  ( $k' \in [k+1, \dots, i-1]$ ), что  $s'_{k'} = s'_k$  и  $s'_{k'} \notin \{s_{k'+1}, \dots, s_q, y_1, \dots, y_p\}$ , или существует такой  $y_{i'}$  ( $i' \in [1, p]$ ), что  $s'_k = y_{i'}$  и  $s_k \notin \{y_{i'+1}, \dots, y_p\}$ . Это условие можно записать в виде дизъюнкции по всем  $k'$  из  $[k+1, \dots, i-1]$  и  $i'$  из  $[1, p]$  следующим образом:

$$\left[ \begin{array}{l} x_i = s'_2 \wedge x_i = s'_3 \wedge (x_i \notin \{s_4, s_5, \dots, s_q, y_1, \dots, y_p\}) \\ x_i = s'_2 \wedge x_i = s'_4 \wedge (x_i \notin \{s_5, s_6, \dots, s_q, y_1, \dots, y_p\}) \\ \dots \\ x_i = s'_3 \wedge x_i = s'_4 \wedge (x_i \notin \{s_5, s_6, \dots, s_q, y_1, \dots, y_p\}) \\ x_i = s'_3 \wedge x_i = s'_5 \wedge (x_i \notin \{s_6, s_7, \dots, s_q, y_1, \dots, y_p\}) \\ \dots \\ x_i \in \{y'_1, y'_2, \dots, y'_p\} \wedge (x_i \in \{s_1, s_2, \dots, s_q\} \vee x_i \in L_0) \\ x_i = x_1 \wedge (x_i \in [x_2, x_3, \dots, x_{i-1}]') \\ x_i = x_2 \wedge (x_i \in [x_3, x_4, \dots, x_{i-1}]') \\ \dots \\ x_i = x_{i-2} \wedge (x_i \in [x_{i-1}]') \end{array} \right.$$



Преобразуем дизъюнкцию, используя тождество  $s_k \neq s'_k$  для всех  $k$ :

$$\left[ \begin{array}{l} x_i = s'_2 \wedge x_i \notin \{s_3, s_4, \dots, s_q, y_1, \dots, y_p\} \\ x_i = s'_2 \wedge x_i \notin \{s_4, s_5, \dots, s_q, y_1, \dots, y_p\} \\ \dots \\ x_i = s'_3 \wedge x_i \notin \{s_4, s_5, \dots, s_q, y_1, \dots, y_p\} \\ x_i = s'_3 \wedge x_i \notin \{s_5, s_6, \dots, s_q, y_1, \dots, y_p\} \\ \dots \\ x_i \in \{y'_1, y'_2, \dots, y'_p\} \wedge (x_i \in \{s_1, s_2, \dots, s_q\} \vee x_i \in L_0) \\ x_i = x_1 \wedge (x_i \in [x_2, x_3, \dots, x_{i-1}]') \\ x_i = x_2 \wedge (x_i \in [x_3, x_4, \dots, x_{i-1}]') \\ \dots \\ x_i = x_{i-2} \wedge (x_i \in [x_{i-1}]') \end{array} \right.$$

Из этой системы следует искомая дизъюнкция (над  $[x_k, x_{k+1}, \dots, x_{i-1}]'$  надо выполнить те же преобразования, что проводились для  $[t_k, t_{k+1}, \dots, t_m]'$ ).

□

### 2.3.2 Полнота зеркального метода. Верхняя оценка длины инициализирующей программы

Далее сформулируем и докажем теорему о полноте зеркального метода генерации ограничений. Из нее будет следовать в частности то, что метод можно использовать для определения возможности построения хотя бы одной тестовой программы для данного тестового шаблона.

Будем называть тестовый шаблон *совместным*, если для него существует удовлетворяющая ему тестовая программа.

**Теорема 5** (Полнота зеркального метода). *Если данный тестовый шаблон является совместным, т.е. для последовательности тестовых ситуаций  $(S_1, x_1), (S_2, x_2), \dots, (S_n, x_n)$  и дополнительного ограничения  $P(x_1, x_2, \dots, x_n)$  при некотором начальном состоянии  $L_1$  существует удовлетворяющая им последовательность тегов  $x_1, x_2, \dots, x_n$ , применим зеркальный метод генерации ограничений и стратегия вытеснения позволяет рано или поздно вытеснить любой тег в буфере, то с помощью зеркального метода может*

быть построена система ограничений, имеющая решение для той же последовательности тегов  $x_1, x_2, \dots, x_n$ .

*Доказательство.* Доказательство проведем указанием способа построения последовательности инициализирующих тегов  $t_1, t_2, \dots, t_m$  по известной последовательности  $x_1, x_2, \dots, x_n$ . Выделим из последовательности  $x_1, x_2, \dots, x_n$  подпоследовательности, соответствующие одинаковому значению региона. Части тестового шаблона, соответствующие разным регионам, ведут себя независимо, поэтому и последовательность инициализирующих тегов будет состояться из подпоследовательностей инициализирующих тегов для подпоследовательностей последовательности  $x_1, x_2, \dots, x_n$ . Далее без ограничения общности можно считать, что все  $x_1, x_2, \dots, x_n$  относятся к одному региону.

Сначала поместим в последовательность инициализирующих тегов **различные** теги в таком количестве, чтобы вытеснить все теги из кэширующего буфера, которые там были до первого инициализирующего тега (назовем эту последовательность «вытесняющей последовательностью»). В отличие от последовательности тегов тестового шаблона теги в вытесняющей последовательности не снабжаются указанием тестовой ситуации. Плюс к этому последовательность должна обеспечивать вытеснение при любом начальном состоянии кэширующего буфера  $L_0$  (только в тот момент, когда  $L_0$  станет известен, можно будет точно сказать, успешным или неуспешным будет обращение по тегу вытесняющей последовательности). Однако по условию теоремы стратегия вытеснения обеспечивает вытеснение любого тега  $L_0$  за конечное количество обращений. Соответственно конечное же количество обращений **различных** тегов обеспечит вытеснение всех тегов  $L_0$ . Начиная с некоторого элемента вытесняющей последовательности, каждое обращение будет приводить к кэш-промаху (это можно сказать точно, даже не зная содержимого  $L_0$ ).

Обязательно в эту последовательность вставим те теги из последовательности  $x_1, x_2, \dots, x_n$ , которые должны давать кэш-промахи. Тем самым для этих тегов будет выполнено требование «зеркальности» (к тегу должно быть обращение и после этого тег должен быть вытеснен).

С помощью выбора подходящей вытесняющей последовательности можно добиться любого наперед заданного состояния буфера. Осталось добиться того, чтобы для еще не упомянутых тегов из  $x_1, x_2, \dots, x_n$  был выполнен

зеркальный принцип. Для этого добавим после вытесняющей последовательности нужные теги, возможно, перемешивая их с тегами, чьи значения не используются среди  $x_1, x_2, \dots, x_n$ , для помещения первых на нужные позиции в буфере. Эти позиции задаются определением стратегии вытеснения в зеркальном методе для кэш-попадания (т.е. правило того, что тег не должен быть вытеснен). Ограничения для таких правил будут разрешимы, поскольку существуют  $x_1, x_2, \dots, x_n$ .  $\square$

Как определять, позволяет ли стратегия вытеснения вытеснить любой тег в наборе? (тем самым понять, полным ли будет зеркальный метод генерации ограничений для данной стратегии вытеснения) Для этого воспользуемся таблицей вытеснения. Предлагается построить орграф, вершинами которого будут всевозможные состояния буфера (включая  $m$ ), а дуги снабжены пометками – числом от 0 до  $w - 1$  или символом  $m$ . Две вершины соединены дугой с пометкой-числом, если из одной вершины в другую осуществляется переход в результате кэш-попадания с тегом – этим числом. Две вершины соединены дугой с пометкой  $m$ , если из одной вершины в другую осуществляется переход в результате кэш-промаха.

**Утверждение 4.** *Если в построенном графе есть цикл из дуг с пометками  $m$ , в который ведет путь из вершины  $(0 \ 1 \dots w - 1)$ , на дугах которого не встречаются одинаковые пометки-числа, то если цикл не включает вершину  $(m \ m \dots m)$ , то в стратегии вытеснения не всегда возможно вытеснение любого тега набора.*

Назовем этот путь с циклом – *путем невытеснения*. Наличие пути – признак неполноты зеркального метода для этой стратегии вытеснения.

Приведем пример стратегии вытеснения, для которой путь невытеснения есть:

$$\left[ \begin{array}{c|ccc} \pi_0 & 0 & 1 & 2 \\ \pi_1 & 1 & 0 & 2 \\ \pi_2 & 0 & 1 & 2 \\ \pi_m & 0 & 1 & m \end{array} \right]$$

Соответствующий граф изображен на рисунке 2.8. В нем отсутствует какой-либо путь из вершины  $(0 \ 1 \ 2)$  в вершину  $(m \ m \ m)$ . Пример пути вытеснения в этом графе:  $1 \ m \ m \dots$ . Что и означает невозможность вытеснить

некоторые теги (например, тег 0) из набора любой последовательностью различных тегов.

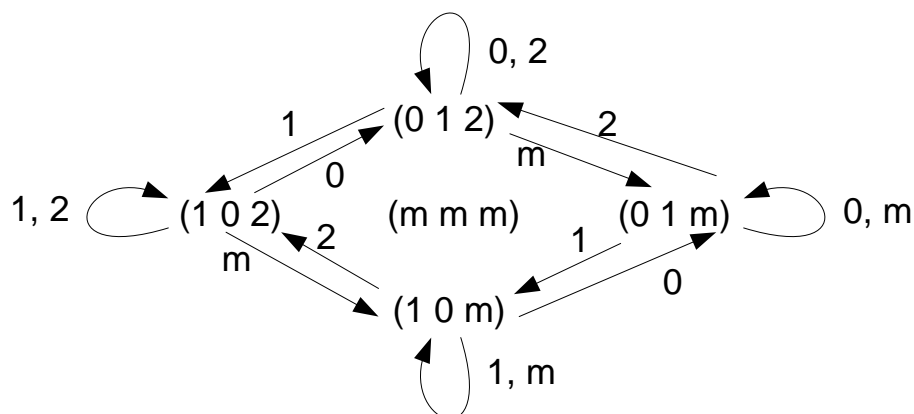


Рис. 2.8. Граф для модельной стратегии вытеснения

Для определения существования пути невытеснения может применяться следующий алгоритм: сначала перебираются порядки на множестве чисел  $\{0, 1, \dots, w - 1\}$ ; обозначим очередной порядок как  $i_1, i_2, \dots, i_w$ ; строим множество вершин графа  $V_1$ , достижимых из  $(01\dots w - 1)$  только по дугам с пометками  $m$ ; если обнаружился цикл, алгоритм завершается с ответом «путь вытеснения есть»; иначе строим множество вершин  $V'_1$ , достижимых из  $V_1$  по дугам с пометкой  $i_1$ ; строим множество вершин графа  $V_2$ , достижимых из вершин  $V'_1$  по дугам с пометками  $m$ ; если обнаружился цикл, алгоритм завершается с ответом «путь вытеснения есть»; иначе строим множество вершин  $V'_2$ , достижимых из  $V_2$  по дугам с пометкой  $i_2$ ; и так далее. Если цикл нигде не встретился и все возможные порядки просмотрены, алгоритм завершается с ответом «пути вытеснения нет».

Граф для стратегий вытеснения LRU и Pseudo-LRU в случае двух - ассоциативного буфера (для сокращения пометки заменены штриховкой: дуга с пометка  $m$  обозначена сплошной линией, дуга с пометкой 0 обозначена линией из точек, дуга с пометкой 1 обозначена линией из пунктиров) изображен на рисунке 2.9. В этом графе есть всего один цикл, состоящий из сплошных дуг – петля на вершине  $(m\ m)$ . Он включает в себя вершину  $(m\ m)$ , поэтому в этом графе нет пути вытеснения. В случае буферов с большим количеством секций ситуация будет аналогичной.

Аналогичная ситуация будет и со стратегией вытеснения FIFO (граф для двух - ассоциативного буфера изображен на рисунке 2.10). В этом графе тоже всего один цикл, состоящий из сплошных дуг – петля на вершине  $(m\ m)$ .

Поскольку этот цикл включает в себя вершину  $(m\ m)$ , то в этом графе нет пути вытеснения. В случае буферов с большим количеством секций ситуация будет аналогичной.

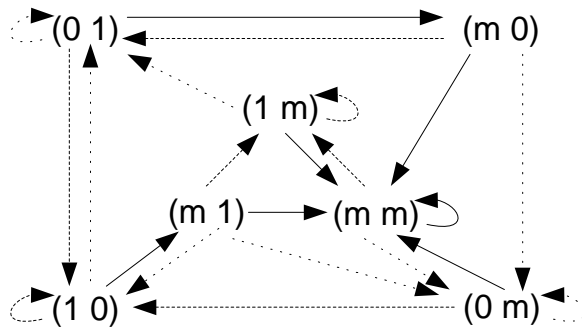


Рис. 2.9. Граф для стратегий вытеснения LRU и Pseudo-LRU с ассоциативностью 2

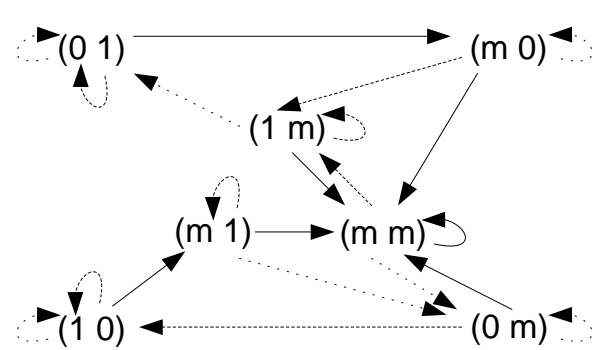


Рис. 2.10. Граф для стратегии вытеснения FIFO с ассоциативностью 2

Таким образом, справедливо

**Утверждение 5.** *Зеркальный метод генерации ограничений является полным для стратегий вытеснения LRU, FIFO и Pseudo-LRU.*

Это утверждение является важным, поскольку именно эти стратегии вытеснения наиболее часто используются в микропроцессорах.

Доказательство теоремы 5 дает способ построения последовательности инициализирующих тегов. Однако для некоторых стратегий вытеснения такая последовательность будет избыточна и существуют способы построения более коротких последовательностей инициализирующих тегов. Следующая теорема дает линейное ограничение для длины последовательности инициализирующих тегов от длины тестового шаблона для стратегии вытеснения LRU.

**Теорема 6** (Верхняя оценка для длины инициализирующей последовательности тегов для стратегии вытеснения LRU). *Если данный тестовый шаблон является совместным, т.е. для последовательности тестовых ситуаций  $(S_1, x_1), (S_2, x_2), \dots, (S_n, x_n)$  и дополнительного ограничения  $P(x_1, x_2, \dots, x_n)$  при некотором начальном состоянии  $L_1$  существует удовлетворяющая им последовательность тегов  $x_1, x_2, \dots, x_n$ , применим зеркальный метод генерации ограничений и стратегией вытеснения является LRU, то с помощью*

зеркального метода может быть построена система ограничений, имеющая решение для той же последовательности тегов  $x_1, x_2, \dots, x_n$ , причем длина последовательности инициализирующих тегов  $m$ :

$$0 \leq m \leq n \cdot w + M$$

где  $M$  – количество инструкций тестового шаблона с кэш-промахами.

*Доказательство.* Так же, как это было сделано при доказательстве теоремы 5, разделим все  $x_1, x_2, \dots, x_n$  по регионам. Для каждого задействованного региона составим свою последовательность инициализирующих тегов (обозначим ее длину  $m_i$  для  $i$ 'го задействованного региона) и объединим эти последовательности для получения искомой последовательности инициализирующих тегов для всего тестового шаблона. Подпоследовательность последовательности  $x_1, x_2, \dots, x_n$ , соответствующая одному региону, обозначим  $y_1, y_2, \dots, y_{n_i}$ .

Докажем, что

$$m_i = M_i + w$$

где  $M_i$  – количество тегов последовательности  $y_1, y_2, \dots, y_{n_i}$ , которые дают кэш-промахи при первым обращениям к ним. Тогда для всего тестового шаблона  $m = \sum_i m_i = \sum_i M_i + \sum_i w = M + w \cdot r$ , где  $r$  – количество регионов, задействованных в  $x_1, x_2, \dots, x_n$ . Очевидно, что  $r \leq n$ , тем самым это приводит к искомой оценке  $m \leq M + n \cdot w$ . Осталось доказать формулу для  $m_i$ .

Укажем способ построения последовательности инициализирующих тегов. Выберем из  $y_1, y_2, \dots, y_{n_i}$  подпоследовательность, состоящую из тех тегов, которые дают кэш-промах и встречаются впервые. Обозначим их как  $\mu_1, \mu_2, \dots, \mu_{MM_i}$ . Они будут первыми тегами в последовательности инициализирующих тегов. Далее выберем из  $y_1, y_2, \dots, y_{n_i}$  все теги, при обращении к которым происходят кэш-попадания. Обозначим их как  $\eta_1, \eta_2, \dots, \eta_{NN_i}$ . Если  $MM_i > 0$  и  $MM_i + NN_i < w + 1$ , выберем произвольные различные теги  $\nu_1, \nu_2, \dots, \nu_{NN_i}$ , которые не встречаются в  $y_1, y_2, \dots, y_{n_i}$ .

Покажем, что такая последовательность инициализирующих тегов удовлетворяет зеркальному методу построения ограничений. Все теги, при обращении к которым происходят кэш-попадания, встречаются в этой последова-

тельности. Это следует из того, что первые такие теги мы поместили явно (в конец последовательности), а дальнейшие теги не могут встречаться впервые в тестовом шаблоне, в противном случае они были бы вытеснены до того, как должно быть кэш-попадание. Очевидно, что эти первые теги не вытеснены, поскольку они помещены в конец последовательности инициализирующих тегов. Все теги, при обращении к которым происходят кэш-промахи, тоже встречаются в этой последовательности (мы их туда поместили явно). При этом поскольку от своего кэш-промаха они отделены не менее  $w + 1$  инструкцией, то к моменту кэш-промаха они будут вытеснены (для первой инструкции это очевидно по построению, а для остальных следует из леммы 5 о невложенных диапазонах вытеснения).

Длина такого тестового шаблона при  $MM_i = 0$  равна количеству встречающихся тегов  $y_1, y_2, \dots, y_{n_i}$ , при обращении к которым происходят кэш-попадания. Таких тегов не более чем  $w$ , т.к. последовательность из кэш-попаданий может задать лишь часть или целиком весь набор. При  $MM_i > 0$  длина последовательности есть сумма из  $M_i$  (поскольку туда включаются все теги  $y_1, y_2, \dots, y_{n_i}$ , при обращении к которым происходят кэш-промахи) и  $w$  (поскольку в последовательность инициализирующих тегов добавляются фиктивные теги и теги, при обращении к которым происходят кэш-попадания). В обоих случаях  $m_i = M_i + w$ .  $\square$

**Следствие.** Для длины последовательности инициализирующих тегов  $m$  в случае стратегии вытеснения LRU справедливо равенство:

$$m = O(n)$$

Следствие показывает, что зеркальный метод может быть эффективно использован при стратегии вытеснения LRU для поиска минимального  $m$  методом дихотомии.

### 2.3.3 Совместно-зеркальная генерация

Можно заметить, что при  $m = 0$  формулировка ограничений для зеркальной генерации становится частным случаем теоремы 1. Это позволяет сформулировать расширенный вариант этой теоремы, добавив туда «зеркальную» инициализирующую последовательность тегов, и тем самым по сути

этим показывается соединение совместной и зеркальной генерации, ведь даже, уменьшив множество констант  $L_0$ , система ограничений, составленная на основе совместной генерации, может оказаться несовместной – в этом случае методом зеркальной генерации можно будет добиться выполнения последовательности тестовых ситуаций, указанных в тестовом шаблоне.

**Утверждение 6.** Пусть  $L_0$  – множество адресов данных, расположенных в кэширующем буфере перед исполнением первой инструкции тестового шаблона,  $t_1, \dots, t_m$  – инициализирующая последовательность тегов. Тогда

- для инструкции с кэш-попаданием адреса  $x$  следует добавить следующую совокупность уравнений:

$$\left[ \begin{array}{l} x \in L_0 \wedge x \text{ все еще не вытеснен} \\ x \in \{t_1, \dots, t_m\} \wedge x \text{ не вытеснен} \\ x \text{ внесен одним из кэш-промахов} \wedge \text{с тех пор не вытеснен} \end{array} \right.$$

- для инструкции с кэш-промахом адреса  $x$  следует добавить следующую систему уравнений ( $\{x_i\}$  – множество адресов данных в инструкциях с кэш-промахами, расположенными до текущей инструкции):

$$\left[ \begin{array}{l} x \notin L_0 \wedge x \notin \{x_1, x_2, \dots, x_n\} \\ x \in \{t_1, \dots, t_m\} \wedge x \text{ вытеснен и не внесен} \\ x \text{ был вытеснен} \wedge \text{не был больше внесен в буфер} \end{array} \right.$$

Некоторые решатели ограничений ([28]) позволяют указывать веса конъюнктов - ограничений в ДНФ. Эти веса могут использоваться для построения решений, удовлетворяющих конъюнктам с минимальным или максимальным суммарным весом. Таким образом, для дальнейшей минимизации длины инициализирующей программы можно задавать конъюнктам с  $t_i$  больший вес, чем конъюнктам с  $L_0$ , и искать решения с минимальным суммарным весом.

### 2.3.4 Построение инициализирующей программы

Если кэширующий буфер, для которого применяется зеркальный метод генерации ограничений, подчинен некоторой таблице, то перед инициализи-



рующей последовательностью тегов  $(t_1, t_2, \dots, t_m)$  следует поместить инструкции, заполняющие нужные для этих тегов строки таблицы. Например, перед последовательностью инициализирующих обращений в TLB (допустим, что TLB является кэширующим буфером, подчиненным таблице страниц виртуальной памяти) в таблицу страниц надо поместить (если их там не было) страницы, соответствующие инициализирующей последовательности тегов.

Если зеркальная генерация применяется к последовательностям тестовых ситуаций для нескольких кэширующих буферов, то для каждого буфера будет своя инициализирующая последовательность тегов. Может ставиться задача построения более компактной инициализирующей последовательности, объединяя некоторые обращения к буферам. Однако эта задача не рассматривалась в работе.

## 2.4 Единый взгляд на все предлагаемые методы

На рисунке 2.11 дан общий взгляд на предлагаемые методы генерации ограничений для тестовых шаблонов. Надо записать в виде ограничений последовательности кэш-попаданий и кэш-промахов (это центральный столбец рисунка) – это можно сделать с использованием совместной генерации, зеркальной генерации, совместно-зеркальной генерации или просто воспользоваться теоремой 1, в зависимости от свойств тестового шаблона и MMU. Эти методы записи тестовых ситуаций в кэширующих буферах позволяют использовать различные методы записи стратегий вытеснения в виде ограничений (правый столбец рисунка). Самих по себе методов записи тестовых ситуаций еще недостаточно для генерации ограничений, поскольку они содержат в себе параметрическую часть – запись стратегии вытеснения. Для записи стратегий вытеснения можно воспользоваться диапазонами вытеснения или функциями полезности, к рассмотрению которых мы и переходим. Выбор в пользу того или иного метода записи стратегии вытеснения производится на основе возможностей решателя ограничений и требований к эффективности желаемого генератора тестовых программ.

Рисунок 2.12 показывает сравнение средней длины инициализирующих программ (без учета инструкций, не меняющих кэширующие буферы и таб-



Рис. 2.11. Построение ограничений для тестовых шаблонов

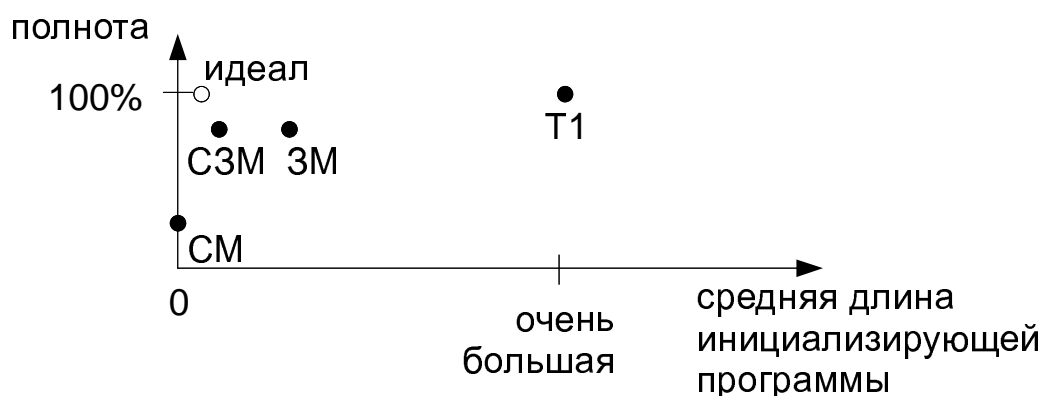


Рис. 2.12. Сравнение полноты и средней длины инициализирующей программы, которую дают предлагаемые методы

лицы) и полноту предлагаемых методов. Совместный метод генерации ограничений (СМ) не дает вообще никакой инициализирующей программы, зато и применим он далеко не ко всем тестовым шаблонам (в том числе и к тем, для которых возможно построение тестовой программы) – поэтому этот метод не является полным. Совместно-зеркальный метод (СЗМ) и зеркальный метод (ЗМ) дают неплохие показатели полноты, поскольку применимость этих методов не так сильно зависит от тестового шаблона. Применение теоремы 1 (Т1) без учета существующего начального состояния микропроцессора (в противном случае эта теорема уже не будет давать полного метода из-за большого размера генерируемых ею ограничений –  $L_0$  должен быть выписан полностью) дает полный метод всегда: если возможна хотя бы какая-нибудь инициализация микропроцессора, она будет найдена. Однако ценою этого является очень большая длина инициализирующей программы, поскольку необходимо переинициализировать полностью весь микропроцессор, даже если делать это не всегда обязательно.

## Глава 3

# Методы генерации ограничений для описания стратегий вытеснения

### 3.1 Исследование стратегии вытеснения Pseudo-LRU

Стратегия вытеснения LRU хоть и хорошо приближает поведение кэширующего буфера к идеальному случаю (когда данные находятся в буфере в тот момент, когда они нужны), однако все известные на сегодняшний момент реализации для микропроцессоров требуют большого количества дополнительной логики. Поэтому производятся поиски стратегии вытеснения, близкой по эффективности к LRU, но имеющей реализацию с меньшими накладными расходами. Эти поиски привели к стратегии вытеснения Pseudo-LRU. Она определяется только для кэширующих буферов с ассоциативностью, являющейся степенью двойки. Стратегия вытеснения Pseudo-LRU используется во многих микропроцессорах архитектур PowerPC и Pentium [25].

#### Каноническое определение Pseudo-LRU на бинарном дереве

Следующее описание часто появляется в литературе [25] для определения стратегии вытеснения Pseudo-LRU. Оно формулируется на упорядоченном бинарном дереве высоты  $\log_2 w$ , в листьях которого подряд расположены теги

набора (их количество равно  $w$ ). Вытесняющий тег помещается в дерево на место вытесняемого. Дуга, идущая влево, помечена цифрой 0, дуга, идущая вправо, помечена цифрой 1.

При кэш-попадании по некоторому тегу меняются пометки в нелистовых вершинах пути от корня до соответствующей тегу листовой вершины (см. рис. 3.1). А именно вершина получает метку исходящей из нее дуги в пути до соответствующей тегу листовой вершины. Т.е. если дуга, соответствующая пути, выходит влево, вершина помечается цифрой 0, если вправо – 1. Пометки на остальных вершинах дерева не меняются.

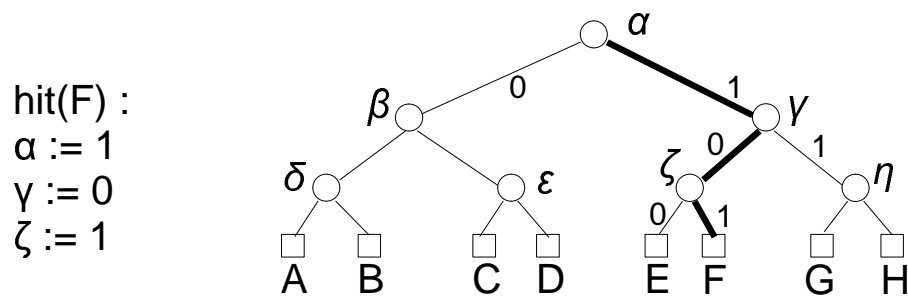


Рис. 3.1. Кэш-попадание для стратегия вытеснения Pseudo-LRU (16-ассоциативный кэширующий буфер)

Поиск вытесняемого элемента производится следующим образом: на основе пометок нелистовых вершин дерева определяется единственный путь следующим образом: в каждой вершине пути выбирается направление, противоположное пометке вершины. Если вершина помечена цифрой 0, значит дуга пути к вытесняемому тегу идет из этой вершины вправо. Если вершина помечена цифрой 1 – влево. На место вытесняемого элемента помещается вытесняющий, битовая строка меняется так, будто к вытесняющему элементу было обращение с кэш-попаданием. Пример того, как определяется вытесняемый элемент, показан на рис. 3.2. Цветом нелистовых вершин показаны их пометки: черным вершинам соответствует пометка 1, белым – 0. В изображенном на рисунке дереве в качестве вытесняемого тега будет выбран тег D, к которому ведет путь  $\alpha - \beta - \epsilon$ .

### Каноническое определение Pseudo-LRU на битовой строке

Для каждого набора хранится битовая строка длины  $w - 1$ , где  $w$  – ассоциативность кэширующего буфера. Каждая инструкция, обращающаяся

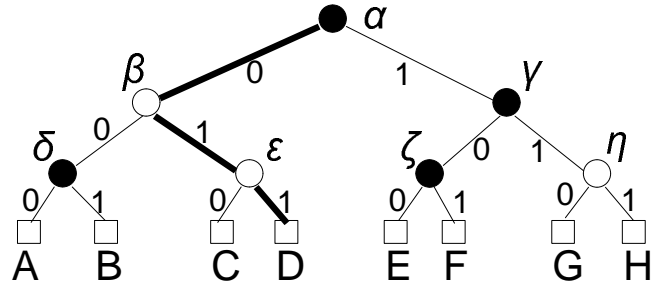


Рис. 3.2. Определение вытесняемого элемента для стратегия вытеснения Pseudo-LRU (16-ассоциативный кэширующий буфер)

к набору, меняет эту битовую строку. Определение вытесняемого элемента производится на основании только лишь этой битовой строки.

Во многих книгах приводятся следующее определение стратегии вытеснения Pseudo-LRU для случая  $w = 4$  [25] (в этом случае для каждого набора выделяется 3 бита  $B_1$ ,  $B_2$  и  $B_3$ ):

	$B_1$	$B_2$	$B_3$
$\pi_0$	0	0	X
$\pi_1$	0	1	X
$\pi_2$	1	X	0
$\pi_3$	1	X	1

При кэш-попадании тега, расположенного в секции с номером  $i$ , действует  $i$ 'я строка матрицы (она помечена символом  $\pi_i$ ). Биты, напротив которых в  $i$ 'й строке находится X, не меняются. Биты, напротив которых в  $i$ 'й строке находится число, принимают значение, равное этому числу.

При кэш-промахе надо определить номер секции, в которой будут заменены данные. Для этого используется инвертированная форма той же матрицы:

$B_1$	$B_2$	$B_3$	
1	1	X	$\rightarrow \pi_0$
1	0	X	$\rightarrow \pi_1$
0	X	1	$\rightarrow \pi_2$
0	X	0	$\rightarrow \pi_3$

Выбирается строка, соответствующая текущему состоянию бит  $B_1$ ,  $B_2$  и  $B_3$ : если напротив бита в строке находится число, бит должен быть равен

этому числу – если напротив бита в строке находится X, то требования на соответствующий бит нет. Подходящая строка всегда будет существовать и она будет единственной.

Изменение битовой строки можно демонстрировать на бинарном дереве и наоборот. Битовая строка составляется из пометок вершин дерева, начиная с корня и далее по слоям от левых к правым вершинам (см. рис. 3.3).

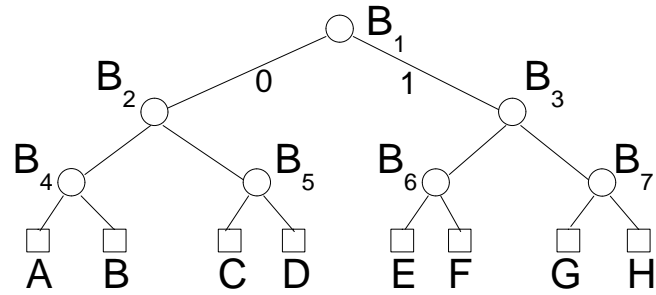


Рис. 3.3. Битовая строка в бинарном дереве

Формализованное описание для всех допустимых  $w$  в литературе не приводится. Однако в дальнейшем для формулирования и доказательства утверждений про стратегию вытеснения Pseudo-LRU такое описание будет необходимо. Для  $w = 8$  стратегия будет задаваться следующей матрицей:

	$B_1$	$B_2$	$B_3$	$B_4$	$B_5$	$B_6$	$B_7$
$\pi_0$	0	0	X	0	X	X	X
$\pi_1$	0	0	X	1	X	X	X
$\pi_2$	0	1	X	X	0	X	X
$\pi_3$	0	1	X	X	1	X	X
$\pi_4$	1	X	0	X	X	0	X
$\pi_5$	1	X	0	X	X	1	X
$\pi_6$	1	X	1	X	X	X	0
$\pi_7$	1	X	1	X	X	X	1

Следующее утверждение 7 дает алгоритм преобразования списка бит  $B_1, B_2, \dots, B_{w-1}$  в результате кэш-попадания и кэш-промаха. В его формулировке применяется двоичное разложение. Биты разложения обозначаются последовательностью от старших бит к младшим (т.е. список  $(x_1 \ x_2 \ \dots \ x_n)$  обозначает число  $x_n + 2x_{n-1} + 4x_{n-2} + \dots + 2^n x_1$ ,  $x_i \in \{0, 1\}$  для  $i = 1, 2, \dots, n$ ). Например,  $1 = (0 \ 0 \ 1)$ ,  $6 = (1 \ 1 \ 0)$ .

Везде далее символ  $W$  будет обозначать  $\log_2 w$ . По определению стратегии вытеснения Pseudo-LRU  $W$  будет натуральным числом.

**Утверждение 7**  $((w-1)$ -представление стратегии вытеснения Pseudo-LRU). При кэш-попадании тега с позицией  $i = (i_1 \ i_2 \ \dots \ i_W)$  происходит следующее изменение бит  $B_1, B_2, \dots, B_{w-1}$ :

$$\begin{array}{l|l} B_{k_1} := i_1 & k_1 = (1) \\ B_{k_2} := i_2 & k_2 = (1 \ i_1) \\ B_{k_3} := i_3 & k_3 = (1 \ i_1 \ i_2) \\ \dots & \dots \\ B_{k_W} := i_W & k_W = (1 \ i_1 \ i_2 \ \dots \ i_{W-1}) \end{array}$$

При кэш-промахе тега позиция  $i = (i_1 \ i_2 \ \dots \ i_W)$  определяется следующим образом:

$$\begin{array}{l|l} i_1 = \neg B_{k_1} & k_1 = (1) \\ i_2 = \neg B_{k_2} & k_2 = (1 \ \neg B_{k_1}) \\ i_3 = \neg B_{k_3} & k_3 = (1 \ \neg B_{k_1} \ \neg B_{k_2}) \\ \dots & \dots \\ i_W = \neg B_{k_W} & k_W = (1 \ \neg B_{k_1} \ \neg B_{k_2} \ \dots \ \neg B_{k_{W-1}}) \end{array}$$

Кроме того при кэш-промахе после определения позиции  $i$  делается преобразование бит  $B_1, B_2, \dots, B_{w-1}$  так, как в случае кэш-попадания на  $\pi_i$ .

## Определение Pseudo-LRU на ветвях бинарного дерева

Здесь будет показано, как из канонического определения Pseudo-LRU получить формулировку Pseudo-LRU с точки зрения одного элемента набора (каноническое определение рассматривает весь набор целиком и для него формулирует правила работы с последовательностью бит  $B_1, B_2, \dots, B_{w-1}$ ). Это определение ранее не встречалось в литературе.

Сначала этот переход покажем на примере  $w = 4$ . Первый шаг — это смена «состояния»: вместо последовательности бит  $B_1, B_2, \dots, B_{w-1}$  будем рассматривать последовательность векторов бит  $\beta_0, \beta_1, \dots, \beta_{w-1}$  размера  $W$ . Каждый  $\beta_i$  соответствует  $i$ 'й листовой вершине бинарного дерева. Кэш-попадание ме-



няет теперь не внутренние вершины дерева, а листовые вершины. Каждый  $\beta_i$  будет представляться списком длины  $W$  – путь от корня дерева к  $i$ 'й листовой вершине:  $\beta_0$  соответствует  $(B_1 B_2)$ ,  $\beta_1$  соответствует  $(B_1 \neg B_2)$ ,  $\beta_2$  соответствует  $(\neg B_1 B_3)$  и  $\beta_3$  соответствует  $(\neg B_1 \neg B_3)$ .

$$\begin{array}{c}
 \begin{array}{ccccc}
 & & B_1 & & \\
 & \swarrow & & \searrow & \\
 B_2 & & & & B_3 \\
 \swarrow \quad \searrow & & \swarrow \quad \searrow & & \\
 \beta_0 \quad \beta_1 & & \beta_2 \quad \beta_3 & & 
 \end{array}
 \end{array}
 \left[ \begin{array}{c|ccc} & B_1 & B_2 & B_3 \\ \hline \pi_0 & 0 & 0 & X \\ \pi_1 & 0 & 1 & X \\ \pi_2 & 1 & X & 0 \\ \pi_3 & 1 & X & 1 \end{array} \right] \xrightarrow{1} \left[ \begin{array}{c|cccc} & \beta_0 & \beta_1 & \beta_2 & \beta_3 \\ \hline \pi_0 & (0\ 0) & (0\ 1) & (1\ X) & (1\ X) \\ \pi_1 & (0\ 1) & (0\ 0) & (1\ X) & (1\ X) \\ \pi_2 & (1\ X) & (1\ X) & (0\ 0) & (0\ 1) \\ \pi_3 & (1\ X) & (1\ X) & (0\ 1) & (0\ 0) \end{array} \right]$$

Заметим, что получилась симметричная матрица. На пересечении  $\pi_i$  и  $\beta_j$  располагается вектор, задающий изменение вектора в  $j$ 'й листовой вершине дерева при кэш-попадании  $i$ 'й листовой вершины дерева. Назовем позицию  $i \oplus j$  *относительной позицией*  $i$  относительно  $j$ . Рассмотрим отдельно каждый столбец получившейся матрицы и переставим элементы столбца в порядке увеличения относительных позиций.

$$\left[ \begin{array}{c|c} & \beta_0 \\ \hline \pi_0 & (0\ 0) \\ \pi_1 & (0\ 1) \\ \pi_2 & (1\ X) \\ \pi_3 & (1\ X) \end{array} \right] \left[ \begin{array}{c|c} & \beta_1 \\ \hline \pi_0 & (0\ 1) \\ \pi_1 & (0\ 0) \\ \pi_2 & (1\ X) \\ \pi_3 & (1\ X) \end{array} \right] \left[ \begin{array}{c|c} & \beta_2 \\ \hline \pi_0 & (1\ X) \\ \pi_1 & (1\ X) \\ \pi_2 & (0\ 0) \\ \pi_3 & (0\ 1) \end{array} \right] \left[ \begin{array}{c|c} & \beta_3 \\ \hline \pi_0 & (1\ X) \\ \pi_1 & (1\ X) \\ \pi_2 & (0\ 1) \\ \pi_3 & (0\ 0) \end{array} \right] \xrightarrow{2} \pi_j^i \equiv \pi_{i \oplus j}$$

$$\left[ \begin{array}{c|c} & \beta_0 \\ \hline \pi_0^0 \equiv \pi_0 & (0\ 0) \\ \pi_1^0 \equiv \pi_1 & (0\ 1) \\ \pi_2^0 \equiv \pi_2 & (1\ X) \\ \pi_3^0 \equiv \pi_3 & (1\ X) \end{array} \right] \left[ \begin{array}{c|c} & \beta_1 \\ \hline \pi_0^1 \equiv \pi_1 & (0\ 0) \\ \pi_1^1 \equiv \pi_0 & (0\ 1) \\ \pi_2^1 \equiv \pi_3 & (1\ X) \\ \pi_3^1 \equiv \pi_2 & (1\ X) \end{array} \right] \left[ \begin{array}{c|c} & \beta_2 \\ \hline \pi_0^2 \equiv \pi_2 & (0\ 0) \\ \pi_1^2 \equiv \pi_3 & (0\ 1) \\ \pi_2^2 \equiv \pi_0 & (1\ X) \\ \pi_3^2 \equiv \pi_1 & (1\ X) \end{array} \right] \left[ \begin{array}{c|c} & \beta_3 \\ \hline \pi_0^3 \equiv \pi_3 & (0\ 0) \\ \pi_1^3 \equiv \pi_2 & (0\ 1) \\ \pi_2^3 \equiv \pi_1 & (1\ X) \\ \pi_3^3 \equiv \pi_0 & (1\ X) \end{array} \right]$$

После перехода к относительным позициям ( $\pi_j^i$  – это позиция  $\pi_j$  относительно  $\pi_i$ ) все столбцы получились одинаковыми. Иными словами, алгоритм изменения набора согласно стратегии вытеснения Pseudo-LRU на относитель-

ных позициях инвариантен относительно абсолютной позиции вытесняемого тега. Тег вытесняется в том случае, когда его вектор равен  $(1 \ 1)$ . Следующая теорема формально доказывает этот факт.

Будем называть *Pseudo-LRU-ветвью позиции  $i$*  вектор  $(B_{k_1}^{\sigma_1} \ B_{k_2}^{\sigma_2} \ \dots \ B_{k_W}^{\sigma_W})$ , в котором  $\sigma_j = \neg i_j$ ,  $k_j = (1 \ i_1 \ i_2 \ \dots \ i_{j-1})$ ,  $j = 1, 2, \dots, W$ ,  $i = (i_1 \ i_2 \ \dots \ i_W)$  (двоичное разложение). Степени определены стандартным образом:  $B^1 \equiv B$ ,  $B^0 \equiv \neg B$ .

**Теорема 7** (Инвариантность преобразования Pseudo-LRU-ветвей относительно позициями). *Пусть  $(\alpha_1 \ \alpha_2 \ \dots \ \alpha_W)$  — Pseudo-LRU-ветвь некоторой позиции  $i$ . Тогда изменение этой ветви согласно стратегии вытеснения Pseudo-LRU определяется только относительной позицией (относительно  $i$ ) и происходит следующим образом при обращении к тегу  $s$  (абсолютной) позицией  $j$ : если  $\pi_j^i \in [\frac{w}{2^k}, \frac{w}{2^{k-1}})$  для некоторого  $k = 1, 2, \dots, W$ , то происходит изменение  $\alpha_1 := 0$ ,  $\alpha_2 := 0$ ,  $\dots$ ,  $\alpha_{k-1} := 0$ ,  $\alpha_k := 1$ ; если  $\pi_j^i = 0$ , то происходит изменение  $\alpha_1 := 0$ ,  $\alpha_2 := 0$ ,  $\dots$ ,  $\alpha_W := 0$ ; вытеснение тега на позиции  $i$  происходит в том случае, когда  $\alpha_1 = 1 \wedge \alpha_2 = 1 \wedge \dots \wedge \alpha_W = 1$ .*

*Доказательство.* Пусть происходит обращение с позицией  $j = (j_1 \ j_2 \ \dots \ j_W)$ . Тогда согласно каноническому определению Pseudo-LRU будут произведены следующие изменения:  $B_{(1)} := j_1$ ;  $B_{(1 \ j_1)} := j_2$ ;  $\dots$   $B_{(1 \ j_1 \ j_2 \ \dots \ j_{W-1})} := j_W$ . Однако только часть этих изменений повлияет на  $(\alpha_1 \ \alpha_2 \ \dots \ \alpha_W)$ ,  $\alpha_1 = B_{(1)}^{\neg i_1}$ ,  $\alpha_2 = B_{(1 \ i_1)}^{\neg i_2}$ ,  $\dots$ ,  $\alpha_W = B_{(1 \ i_1 \ i_2 \ \dots \ i_{W-1})}^{\neg i_W}$ . А именно влияние будет на те элементы вектора, у которых совпадают индексы с изменяемыми элементами согласно каноническому определению. Иными словами, изменение  $B_{(1 \ j_1 \ j_2 \ \dots \ j_k)}$  будет влиять на  $B_{(1 \ i_1 \ i_2 \ \dots \ i_m)}$  тогда и только тогда, когда  $(1 \ j_1 \ j_2 \ \dots \ j_k) = (1 \ i_1 \ i_2 \ \dots \ i_m)$ . Докажем, что при этом  $k = m$ . Действительно, если  $k > m$ , то  $(1 \ j_1 \ j_2 \ \dots \ j_k) \geq 2^k$ , а  $(1 \ i_1 \ i_2 \ \dots \ i_m) < 2^{m+1} \leq 2^k$ , что исключает равенство этих чисел. Аналогично доказывается невозможность случая  $k < m$ .

Условие  $(1 \ j_1 \ j_2 \ \dots \ j_k) = (1 \ i_1 \ i_2 \ \dots \ i_k)$  эквивалентно условию  $(j_1 \ j_2 \ \dots \ j_k) = (i_1 \ i_2 \ \dots \ i_k)$ . Эти вектора равны тогда и только тогда, когда их сумма по модулю 2 равна 0, т.е.  $(j_1 \ j_2 \ \dots \ j_k) \oplus (i_1 \ i_2 \ \dots \ i_k) = 0$ . Переходя к полным векторам, это условие записывается в виде  $(j_1 \ j_2 \ \dots \ j_W) \oplus (i_1 \ i_2 \ \dots \ i_W) < 2^{W-k+1}$ . Или, переходя от векторов к числам,  $i \oplus j < 2^{W-k+1}$ .

При этом изменение элементов вектора  $(\alpha_1 \ \alpha_2 \ \dots \ \alpha_W)$  будет происходить следующим образом (используется определение степени через сложение по

модулю 2:  $x^y \equiv x \oplus y \oplus 1$ ):  $\alpha_k := (B_{(1 \ j_1 \ j_2 \ \dots \ j_{k-1})})^{\neg i_k} = (B_{(1 \ j_1 \ j_2 \ \dots \ j_{k-1})}) \oplus (\neg i_k) \oplus 1 = B_{(1 \ j_1 \ j_2 \ \dots \ j_{k-1})} \oplus i_k = j_k \oplus i_k$ . Так как  $(j_1 \ j_2 \ \dots \ j_{k-1}) = (i_1 \ i_2 \ \dots \ i_{k-1})$ , то  $(j_1 \ j_2 \ \dots \ j_{k-2}) = (i_1 \ i_2 \ \dots \ i_{k-2})$  и  $i_{k-1} = j_{k-1}$ . В таком случае изменяется и  $\alpha_{k-1}$ , причем  $\alpha_{k-1} := i_{k-1} \oplus j_{k-1} = 0$ . Аналогично рассуждая, получим, что  $\alpha_{k-2} := 0, \dots \alpha_1 := 0$ . Иными словами, возможно даже вычислить изменения предыдущих элементов – всем им присваивается значение 0. Найдется такой  $p$ , что  $i_1 = j_1 \wedge i_2 = j_2 \wedge i_{p-1} = j_{p-1} \wedge i_p \neq j_p$ . В этом случае изменяется  $\alpha_p$  следующим образом:  $\alpha_p := i_p \oplus j_p = 1$ . Или записывая это условие с использованием чисел  $i$  и  $j$ :  $2^{W-p} \leq i \oplus j < 2^{W-p+1}$ .

Таким образом, получаем, что для  $i \oplus j \in [\frac{w}{2^k}, \frac{w}{2^{k-1}})$  будут произведены следующие присваивания:  $\alpha_k := 1, \alpha_{k-1} := 0, \alpha_{k-2} := 0, \dots \alpha_1 := 0$ , остальные элементы не будут изменены. Для  $i \oplus j = 0$ , т.е.  $i = j$  все элементы  $\alpha_k := i_k \oplus j_k = 0$ . Причем изменение определяется только суммой по модулю 2 чисел  $i$  и  $j$ , что и является относительной позицией  $j$  относительно  $i$ .

Осталось разобраться с ветвью вытесняемого тега. Это будет такая позиция  $i = (i_1 \ i_2 \ \dots \ i_W)$ , для которой справедливы уравнения  $i_1 = \neg B_{k_1} \wedge i_2 = \neg B_{k_2} \wedge \dots \wedge i_W = \neg B_{k_W}$ , где  $k_1 = (1), k_2 = (1 \neg B_{k_1}), \dots, k_W = (1 \neg B_{k_1} \neg B_{k_2} \dots \neg B_{k_{W-1}})$ . Используя уравнения для элементов  $i$ , можно переписать уравнения для элементов  $k$  следующим образом:  $k_1 = (1), k_2 = (1 \ i_1), \dots, k_W = (1 \ i_1 \ i_2 \ \dots \ i_{W-1})$ . Таким образом, элементов ветви вытесняемого тега будет вычисляться следующим образом:  $\alpha_m \equiv B_{(1 \ i_1 \ i_2 \ \dots \ i_{m-1})} \oplus i_m \equiv B_{k_m} \oplus i_m \equiv \neg i_m \oplus i_m \equiv 1$ . Иными словами, ветвь вытесняемого тега состоит только из единиц.  $\square$

Доказанный факт позволяет сформулировать определение стратегии вытеснения Pseudo-LRU, сфокусированное не на изменении всего набора, а на изменении свойства одного тега набора. На этом определении будут базироваться применения предлагаемых методов генерации ограничений для стратегии вытеснения Pseudo-LRU.

**Утверждение 8** (формулировка Pseudo-LRU на ветвях бинарного дерева). *Сопоставим тегу вектор длины  $W$ . Каждая инструкция с этим тегом делает этот вектор равным  $(0 \ 0 \ \dots \ 0)$ . Тег является вытесняемым в том и только в том случае, если этот вектор равен  $(1 \ 1 \ \dots \ 1)$ . Влияние других инструкций определяется относительной позицией их тега относительно*

позиции данного тега. Если относительная позиция принадлежит множеству  $[\frac{w}{2^k}, \frac{w}{2^{k-1}})$ ,  $k = 1, 2, \dots, W$ , то первые  $k-1$  элементов вектора становятся равными 0,  $k$ 'й элемент вектора становится равным 1, остальные элементы вектора не меняются.

Вектор длины  $W$  будет соответствовать пути из корня бинарного дерева в листовую вершину дерева, соответствующую данному тегу. Будем называть процесс изменения элемента вектора *перекрашиванием вершины ветви*. Элементы вектора, равные 0, будем называть *белыми*, элементы вектора, равные 1, будем называть *черными*.

Говоря в терминах бинарного дерева, нелистовая вершина в ветви к данной листовой вершине будет «белой», если дуга от нее идет налево и она помечена цифрой 1 или дуга от нее идет направо и она помечена цифрой 0 (т.е. в том случае, когда направление дуги из нее соответствует пометке этой дуги). Нелистовая вершина будет называться «черной», если направление дуги из нее не соответствует пометке этой дуги. Вытесняется тот тег набора, путь к которому полностью состоит из несоответствующих дуг. На рисунке 3.4 изображен процесс перекрашивания ветви, ведущей в А, под действием кэш-попадания в С (для сокращения показана только ветвь в А без остальной части дерева). Так как путь из корня в С совпадает из верхних двух вершин, то они перекрашиваются в белый цвет. Дуга из третьей вершины пути в С не совпадает с дугой пути в А, поэтому третья вершина перекрашивается в черный цвет. Остальные вершины ветви остаются без изменений.

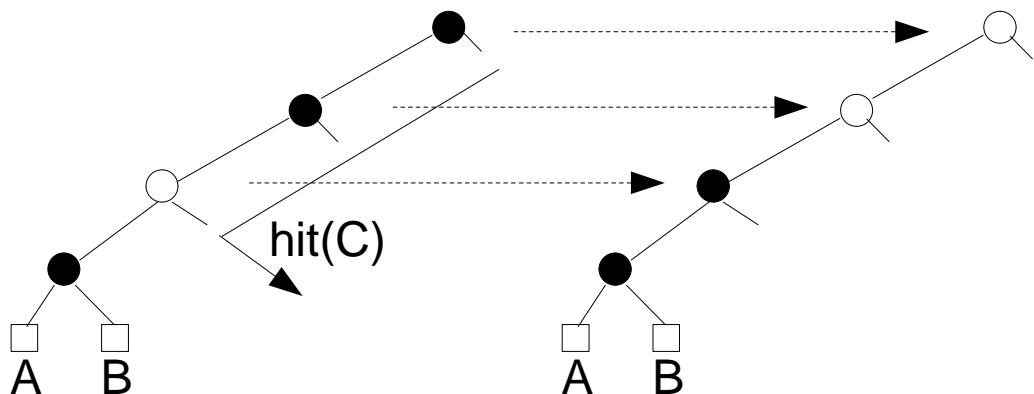


Рис. 3.4. Перекрашивание ветви в А

Определение стратегии вытеснения Pseudo-LRU на ветвях дерева является связующим звеном между каноническим определением (например, на

битовой строке) и определением с помощью таблицы вытеснения, поскольку ветвь — это и есть позиция, которая меняется точно так же, как и позиция в перестановке согласно таблице вытеснения.

## 3.2 Метод перебора диапазонов вытеснения записи стратегии вытеснения в виде ограничений

В разделе рассматривается метод составления ограничений, описывающих стратегию вытеснения. Метод применяется к стратегиям вытеснения, для которых можно определить *метрику вытеснения* и *диапазон вытеснения*. Составляемые ограничения представляют собой дизъюнкции по всем возможным диапазонам вытеснения для данного вытесняемого тега. В разделе приведены метрики вытеснения и ограничения для трех наиболее часто используемых в микропроцессорах стратегий вытеснения — LRU, FIFO и Pseudo-LRU.

Неформально говоря, *диапазон вытеснения* — это непрерывная часть тестового шаблона, заканчивающаяся в данной инструкции (это т.н. *конец диапазона вытеснения*), которая непосредственно влияет на вытеснение некоторого элемента кэширующего буфера. Зачастую *началом диапазона вытеснения* является инструкция, в которой осуществляется последнее обращение к вытесняемому элементу.

*Метрикой вытеснения* будем называть функцию от текущего состояния кэширующего буфера и части тестового шаблона. Она максимальна в конце диапазона вытеснения и минимальна в начале диапазона вытеснения. Определение диапазона вытеснения будет производиться на основе такой метрики.

### 3.2.1 Метод перебора диапазонов вытеснения для стратегии вытеснения LRU

LRU (Least Recently Used) — это стратегия вытеснения, определяющая вытесняемые данные как наименее используемые. Она эффективна для алгоритмов, обладающих свойством локальности данных, т.е. чаще использую-

щих те данные, к которым недавно происходило обращение. Эта стратегия используется, например, в микропроцессорах архитектуры MIPS [70].

Стратегия вытеснения LRU обычно определяется с использованием счетчиков обращений. Для каждого элемента кэширующего буфера вводится счетчик обращений к нему. Каждое обращение увеличивает счетчик. Вытесняемым будет элемент с минимальным счетчиком. Поскольку границы значений счетчика неизвестны, формулирование метрики вытеснения на основе счетчика провести сложно.

Другой способ описания LRU основан на введении порядка на элементах набора (т.е. набор представляется списком элементов). После каждой инструкции элементы переупорядочиваются согласно следующим правилам (см.рис. 3.5):

- при кэш-попадании элемент, соответствующий адресу инструкции, перемещается в начало, остальные элементы от первого до данного сдвигаются на одну позицию;
- при кэш-промахе вытесняется последний элемент, в начало вставляется элемент, вызвавший промах.

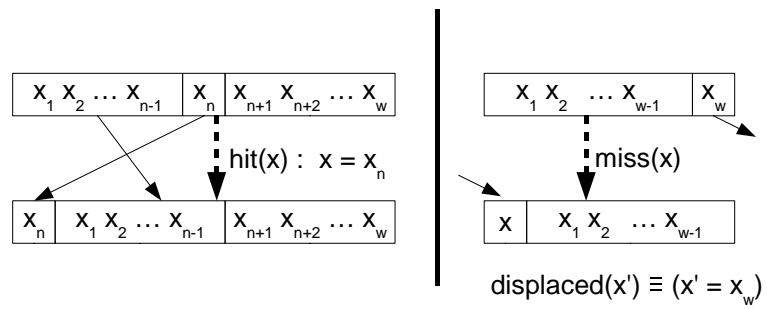


Рис. 3.5. Стратегия вытеснения LRU ( $w$  — ассоциативность кэширующего буфера) — реализация на списках

Это описание подходит для определения метрики вытеснения: ею будет *индекс элемента в этом списке*. Эта метрика максимальна в момент вытеснения (индекс равен длине списка). Минимальное значение она принимает в момент кэш-попадания на этот элемент (т.к. он переносится в самое начало, индекс становится равным 1). Значит, применение перебора диапазонов вытеснения возможно (выделена метрика вытеснения), началом диапазонов вытеснения будет последнее обращение к вытесняемому элементу.

**Утверждение 9** (метрика вытеснения для стратегии вытеснения LRU). *Метрикой вытеснения элемента для стратегии вытеснения LRU является индекс элемента в наборе согласно порядку последних обращений. Диапазон вытеснения начинается в инструкции, последний раз обращающейся к элементу (или в начальном состоянии, если инструкции тестового шаблона к этому элементу не обращаются).*

Другое объяснение таким диапазонам вытеснения можно дать, исходя из самого определения LRU. А именно, если элемент должен стать LRU, т.е. наиболее неиспользуемым, все остальные элементы, наоборот, должны быть хотя бы раз использованы (т.е. к ним должны быть обращения до вытесняющей инструкции). Иными словами, чтобы элемент был вытеснен, необходимо и достаточно, чтобы между последним обращением к нему и вытеснением были обращения ко всем элементам текущего состояния кэширующего буфера, кроме него (см. рис. 3.6).

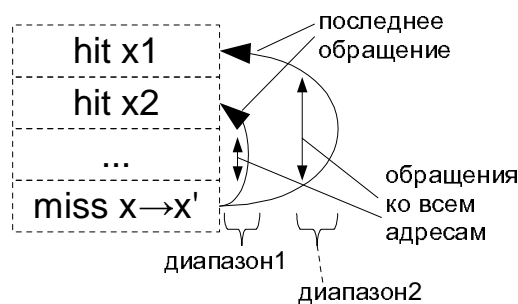


Рис. 3.6. Диапазоны вытеснения для стратегии вытеснения LRU

Запишем в виде уравнений на множества эту логику [49]. Предикат  $displaced(x')$  будет представлен дизъюнкцией уравнений — каждый элемент дизъюнкции соответствует некоторому диапазону вытеснения. Тогда для диапазона вытеснения к инструкции, обращающейся к адресу  $y$  надо составить такую систему уравнений ( $x_1, x_2, \dots, x_n$  — множество адресов, к которым происходят обращения внутри диапазона вытеснения (как с кэш-попаданиями, так и с кэш-промахами, а также элементы начального состояния, если диапазон начинается там),  $L$  — выражение для состояния кэширующего буфера перед инструкцией, в которой вытесняется  $x'$ ):

$$\begin{cases} x' = y \\ \{x_1, x_2, \dots, x_n\} \cap R(y) = (L \setminus \{y\}) \cap R(y) \end{cases}$$

Функциональный символ  $R$  используется в смысле множества адресов того же региона. С использованием следующей леммы упростим эту систему:

**Лемма 4.** *Для любых конечных множеств  $X, Y$  и  $Z$  таких, что  $X \cap Y \subseteq Z$ , если существует  $y$  такой, что  $y \in (Y \cap Z) \setminus X$ , то  $X \cap Y = (Z \setminus \{y\}) \cap Y \Leftrightarrow Y \cap (Z \setminus X) = \{y\}$ .*

*Доказательство.* Необходимость. По определению вычитания множеств и коммутативности операции пересечения множеств  $X \cap Y = (Z \setminus \{y\}) \cap Y \Leftrightarrow X \cap Y = Z \cap Y \cap \overline{\{y\}}$ . Обозначим  $A = Z \cap Y$ ,  $B = X \cap Y$ . Следовательно,  $B = A \setminus \{y\}$ . По условию  $y \notin B$  и  $y \in A$ . Значит,  $A = B \sqcup \{y\}$ . Отсюда  $A \setminus B = \{y\}$ . Осталось показать, что  $A \setminus B = (Z \setminus X) \cap Y$ :  $A \setminus B = A \cap \overline{B} = Z \cap Y \cap \overline{X \cap Y} = Z \cap Y \cap (\overline{X} \cup \overline{Y}) = (Z \cap Y \cap \overline{X}) \cup (Z \cap Y \cap \overline{Y}) = Z \cap \overline{X} \cap Y = (Z \setminus X) \cap Y$ .

Достаточность. Обозначим  $A = Z \cap Y$ ,  $B = X \cap Y$ . С использованием определений операций над множествами и их свойств получаем  $X \cap Y \subseteq Z \Leftrightarrow (X \cap Y) \setminus Z = \emptyset \Leftrightarrow X \cap Y \cap \overline{Z} = \emptyset \Leftrightarrow X \cap Y \cap (\overline{Z} \cup \overline{Y}) = \emptyset \Leftrightarrow B \setminus A = \emptyset$ . Кроме того, по условию  $A \setminus B = \{y\}$ . Следовательно,  $A = (A \setminus B) \cup (A \cap B) = \{y\} \cup (B \setminus (B \setminus A)) = \{y\} \cup (B \setminus \emptyset) = \{y\} \cup B$ . Таким образом,  $A = B \cup \{y\}$ . Кроме того,  $y \notin B$ , значит,  $A = B \sqcup \{y\}$ , следовательно,  $B = A \setminus \{y\}$ . Подставляя определения множеств  $A$  и  $B$ , получаем:  $X \cap Y = (Z \cap Y) \setminus \{y\} = Z \cap Y \cap \overline{\{y\}} = (Z \setminus \{y\}) \cap Y$ .  $\square$

**Лемма 5** (Отсутствие вложенных диапазонов). *Пусть  $x_1, x_2, \dots, x_n$  и  $y_1, y_2, \dots, y_m$  — два разных диапазона вытеснения. Тогда невозможно, чтобы  $y_1, y_2, \dots, y_m$  была бы подпоследовательностью последовательности  $x_1, x_2, \dots, x_n$ .*

*Доказательство.* Докажем от противного. Предположим, что  $\{y_1, y_2, \dots, y_m\} \subset \{x_2, x_3, \dots, x_n\}$ . По определению диапазона вытеснения  $x_1 \notin \{x_2, x_3, \dots, x_n\}$ . Следовательно,  $x_1 \notin \{y_1, y_2, \dots, y_m\}$ . По определению диапазона вытеснения в нем должны встретиться все содержимое кэширующего буфера. Обозначим это содержимое перед началом внутреннего диапазона вытеснения  $L$ . Тогда  $\{y_1, y_2, \dots, y_m\} = L$  и, следовательно,  $x_1 \notin L$ . Однако к моменту начала внутреннего диапазона  $x_1$  еще не вытеснен, т.е.  $x_1 \in L$ . Противоречие.  $\square$



**Лемма 6** (О выполнимости условий леммы для диапазонов вытеснения).

$$L \supseteq \{x_1, x_2, \dots, x_n\} \cap R(y)$$

*Доказательство (от противного).* Пусть среди  $x_1, x_2, \dots, x_n$  есть  $x_i$  такой, что  $x_i \notin L \wedge x_i \in R(y)$ . Пусть  $L_{i+1}$  – состояние кэширующего буфера после обращения к  $x_i$ . Верно, что  $x_i \in L_{i+1}$ , но  $x_i \notin L$ , следовательно,  $x_i$  был вытеснен между  $x_{i+1}$  и  $x_n$ . Иными словами, среди  $x_1, x_2, \dots, x_n$  есть элемент, чей диапазон вытеснения вложен в диапазон вытеснения  $y$ . Но согласно лемме 5 это невозможно. Противоречие.  $\square$

Таким образом, можно применить лемму 6 для упрощения уравнения для LRU. Далее идет теорема, которая формально обосновывает приведенную логику для определения вытесняемого тега в случае стратегии вытеснения LRU:

**Теорема 8** (Уравнение для LRU). *Решение системы (тег  $x'$ )*

$$\begin{cases} x' = y \\ R(y) \cap (L \setminus \{x_1, x_2, \dots, x_n\}) = \{y\} \end{cases}$$

где последовательность тегов  $y, x_1, x_2, \dots, x_n$  – диапазон вытеснения, а  $L$  – состояние кэширующего буфера перед концом диапазона, является вытесняемым тегом для стратегии вытеснения LRU согласно определению на списках.

*Доказательство.* В доказательстве будет активно использоваться таблица вытеснения для стратегии вытеснения LRU [40]. Поэтому приведем ее здесь еще раз:

$$\left[ \begin{array}{c|cccccc} \pi_0 & 0 & 1 & 2 & 3 & \dots & w-1 \\ \pi_1 & 1 & 0 & 2 & 3 & \dots & w-1 \\ \pi_2 & 2 & 0 & 1 & 3 & \dots & w-1 \\ \vdots & & & & & & \\ \pi_{w-1} & w-1 & 0 & 1 & 2 & \dots & w-2 \\ \pi_m & m & 0 & 1 & 2 & \dots & w-2 \end{array} \right]$$

Сначала докажем, что если уравнение имеет решение, то это решение является вытесняемым тегом. Из уравнения следует, что  $(L \setminus \{y\}) \cap R(y) \subseteq \{x_1, x_2, \dots, x_n\} \cap R(y)$ , из чего следует, что  $L \cap R(y) \subseteq \{y, x_1, x_2, \dots, x_n\} \cap$

$R(y)$ . Иными словами, все теги набора (которые находятся в наборе перед концом диапазона вытеснения), относящиеся к региону  $R(y)$  присутствуют среди тегов в инструкциях диапазона вытеснения.

Из таблицы вытеснения следует, что каждый тег  $x$  набора после выполнения инструкции с тегом  $x_i$  может либо сдвинуться на одну позицию к концу списка, либо остаться на месте, либо быть вытеснен. Сдвиг происходит после обращения к  $x_i$  в том случае, если  $S_i = \text{miss}$  (это следует из последней строки таблицы вытеснения) или  $S_i = \text{hit}$  и тег  $x_i$  встречается впервые в диапазоне вытеснения (согласно таблице вытеснения сдвиг элемента  $x$  при кэш-попадании будет в том случае, когда он находится перед  $x_i$ ; остается показать, что это условие эквивалентно тому, что к  $x_i$  не было обращения после последнего обращения к  $x$  — и в самом деле, в противном случае была бы ситуация, когда к  $x_i$  уже обращение было, но  $x$  так и остался перед  $x_i$ , однако это противоречит следующим свойствам (они следуют из таблицы вытеснения): при кэш-попадании  $x_i$  этот тег  $x_i$  перемещается перед всеми тегами набора, т.е. становится и перед  $x$ , а затем, без обращений к ним, якобы этот порядок меняется — это противоречит другому свойству о том, что порядок двух тегов в наборе не меняется, если к ним не осуществляются обращения).

Поскольку среди тегов диапазона вытеснения, относящихся к региону  $R(y)$ , есть все теги из соответствующего сета  $L$  и нет лишних (это следует из уравнения), то количество различных тегов (т.е. количество раз, когда тег встречается впервые) вместе с количеством кэш-промахов в диапазоне вытеснения равно  $w - 1$ . Из стратегии вытеснения следует, что после первой инструкции диапазона вытеснения тег  $y$  будет помещен в начало списка. Значит, за  $w - 1$  сдвигов на 1 позицию он будет перемещен на последнее место в списке. На этом месте (согласно таблице вытеснения) и располагается вытесняемый тег.

Доказательство остается справедливым и в том случае, когда к  $y$  не было обращений в самом тестовом шаблоне (однако в диапазон вытеснения он входит, такой диапазон включает в себя и часть начального состояния кэширующего буфера  $L_0$ ). В этом случае можно считать, что набор, соответствующий региону  $R(y)$  в  $L_0$ , представляется последовательностью из  $w$  кэш-промахов с тегами — элементами этого набора.

Теперь докажем обратное утверждение, а именно если  $y$  — вытесняе-

мый тег в некоторой инструкции (т.е. находится в конце списка), то существует такой диапазон вытеснения  $x_1, x_2, \dots, x_n$  (возможно, задействующий часть начального состояния  $L_0$ ), для которого справедливы вложения  $\{x_1, x_2, \dots, x_n\} \cap R(y) \subseteq (L \setminus \{y\}) \cap R(y)$  и  $\{x_1, x_2, \dots, x_n\} \cap R(y) \supseteq (L \setminus \{y\}) \cap R(y)$ .

Очевидно, что поскольку перед инструкцией, вытесняющей  $y$ , лишь конечное количество инструкций (и начальное состояние  $L_0$ ), то среди них существует такая, которая обращается к  $y$  в последний раз перед вытеснением. Тогда в качестве  $x_1, x_2, \dots, x_n$  рассмотрим последовательность инструкций от последнего обращения к  $y$  до данной инструкции. Из этого следует, что  $y \notin \{x_1, x_2, \dots, x_n\}$ . Кроме того по лемме 6  $L \supseteq \{x_1, x_2, \dots, x_n\} \cap R(y)$ . Значит,  $(L \setminus \{y\}) \supseteq \{x_1, x_2, \dots, x_n\} \cap R(y)$ . И поскольку для любых множеств  $X, Y, Z$  справедливо следствие: если  $X \supseteq Y \cap Z$ , то  $X \cap Z \supseteq Y \cap Z$  (формула  $(y \wedge z \rightarrow x) \rightarrow (y \wedge z \rightarrow x \wedge z)$  тождественно истинна) – то  $(L \setminus \{y\}) \cap R(y) \supseteq \{x_1, x_2, \dots, x_n\} \cap R(y)$ . Первое вложение доказано.

Для доказательства второго вложения покажем, что верно вложение  $\{y, x_1, x_2, \dots, x_n\} \cap R(y) \supseteq L \cap R(y)$ , из которого будет следовать  $\{y, x_1, x_2, \dots, x_n\} \cap R(y) \supseteq L \cap R(y)$ , а из него – требуемое вложение (поскольку для любых множеств  $X, Y, Z$  верно следствие: если  $X \cup Y \supseteq Z$ , то  $X \supseteq Z \setminus Y$  – оно справедливо потому, что формула  $(z \rightarrow (x \vee y)) \rightarrow (\bar{y}z \rightarrow x)$  тождественно истинна).

Иными словами, надо показать, что нет такого тега в  $L \cap R(y)$ , к которому в диапазоне не было бы обращения. Докажем это от противного. Допустим, что такой тег имеется. Т.е. количество различных тегов набора, относящихся к региону  $R(y)$ , меньше  $w - 1$  (один отняли за счет  $y$  в начале диапазона). Однако по условию  $y$  является вытесняемым тегом, т.е. к концу диапазона вытеснения перемещен из начала списка в конец. Для этого он должен был сдвинут  $w - 1$  раз. Сдвиг происходит при кэш-промахе или кэш-попадании тега, встречавшегося впервые (доказано выше). Следовательно, таких инструкций ровно  $w - 1$  и все они расположены в  $x_1, x_2, \dots, x_n$ . Но поскольку  $|L \cap R(y)| = w$ , то среди  $x_1, x_2, \dots, x_n$  встречается ровно  $w - 1$  различных тегов, относящихся к региону  $R(y)$ , что противоречит предположению.  $\square$

### 3.2.2 Метод перебора диапазонов вытеснения для стратегии вытеснения FIFO

FIFO (First-In First-Out) – это стратегия вытеснения, определяющая вытесняемые данные согласно принципу очереди FIFO. Например, в микропроцессоре PowerPC 970FX вытеснение из небольшого буфера, хранящего последние преобразованные эффективные адреса в физические, D-ERAT происходит согласно FIFO [61].

Стратегия FIFO может быть описана на основе порядка на элементах набора (т.е. набор представляется списком элементов). После каждой инструкции элементы переупорядочиваются согласно следующим правилам (см.рис. 3.7):

- при кэш-попадании порядок элементов не меняется;
- при кэш-промахе вытесняется последний элемент, в начало вставляется элемент, вызвавший промах.

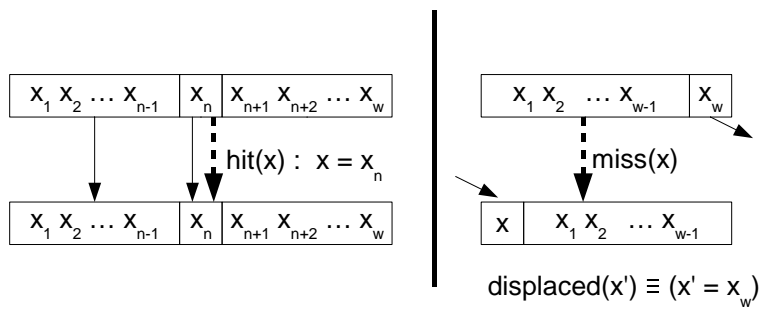


Рис. 3.7. Стратегия вытеснения FIFO ( $w$  — ассоциативность кэширующего буфера)

Отличие от LRU лишь в том, что при FIFO не происходит перестановки элементов набора при возникновении кэш-попадания. Поэтому таблица вытеснения [40] для стратегии вытеснения FIFO будет выглядеть так, как изображено на рисунке 3.8.

Аналогично LRU в качестве метрики вытеснения можно взять индекс элемента в списке, что дает возможность использовать перебор диапазонов вытеснения для описания стратегии вытеснения FIFO. Началом диапазона вытеснения будет внесение элемента в кэширующий буфер, концом диапазона вытеснения – его вытеснение. При составлении ограничений все инструкции с кэш-попаданиями внутри диапазона будем игнорировать (они не влияют на

$$\left[ \begin{array}{c|cccccc} \pi_0 & 0 & 1 & 2 & 3 & \dots & w-1 \\ \pi_1 & 0 & 1 & 2 & 3 & \dots & w-1 \\ \pi_2 & 0 & 1 & 2 & 3 & \dots & w-1 \\ \vdots & & & & & & \\ \pi_{w-1} & 0 & 1 & 2 & 3 & \dots & w-1 \\ \pi_m & m & 0 & 1 & 2 & \dots & w-2 \end{array} \right]$$

Рис. 3.8. Таблица вытеснения для FIFO

вытеснение с точки зрения FIFO). Тогда *FIFO* будет выполнено в том случае, когда в диапазоне встречаются все теги кэширующего буфера, хранящиеся в нем перед вытеснением, без самого вытесняемого тега.

**Утверждение 10** (метрика вытеснения для стратегии вытеснения FIFO). Метрикой вытеснения тега для стратегии вытеснения *FIFO* является его индекс в наборе согласно порядку последних обращений. Диапазон вытеснения начинается в инструкции с кэш-промахом, последний раз обращающейся к вытесняемому тегу (или в начальном состоянии, если инструкции тестового шаблона к этому тегу не обращаются).

Запишем в виде уравнений на множества эту логику [12]. Предикат  $displaced(y')$  будет представлен дизъюнкцией уравнений – каждый элемент дизъюнкции соответствует некоторому диапазону вытеснения. Тогда для диапазона вытеснения к инструкции, обращающейся к адресу  $y$ , надо составить такую систему уравнений ( $y_1, y_2, \dots, y_n$  – множество адресов, к которым происходят обращения внутри диапазона вытеснения **с кэш-промахами**, а также элементы начального состояния, если диапазон начинается там,  $L$  – выражение для состояния кэширующего буфера для инструкции, вытесняющей  $y'$ ):

$$\begin{cases} y' = y \\ \{y_1, y_2, \dots, y_n\} \cap R(y) = (L \setminus \{y\}) \cap R(y) \end{cases}$$

Функциональный символ  $R$  используется в смысле множества адресов того же региона.

Для FIFO справедливы все леммы о диапазонах вытеснения, сформулированные для LRU. В частности, с их использованием теорема об уравнении, описывающем вытесняемый тег, может быть переписана следующим образом:

**Теорема 9** (Уравнение для FIFO). *Решение системы (тег  $y'$ )*

$$\begin{cases} y' = y \\ R(y) \cap (L \setminus \{y_1, y_2, \dots, y_n\}) = \{y\} \end{cases}$$

где последовательность тегов  $y, y_1, y_2, \dots, y_n$  – диапазон вытеснения, является вытесняемым тегом для стратегии вытеснения FIFO согласно определению на списках.

*Доказательство.* Сначала докажем, что если уравнение имеет решение, то это решение является вытесняемым тегом. Из уравнения следует, что  $(L \setminus \{y\}) \cap R(y) \subseteq \{y_1, y_2, \dots, y_n\} \cap R(y)$ , из чего следует, что  $L \cap R(y) \subseteq \{y, y_1, y_2, \dots, y_n\} \cap R(y)$ . Иными словами, все теги набора (которые находятся в наборе перед концом диапазона вытеснения), относящиеся к региону  $R(y)$  присутствуют среди тегов в инструкциях диапазона вытеснения (тестовыми ситуациями в этих инструкциях являются кэш-промахи).

Из таблицы вытеснения следует, что каждый тег  $x$  набора после выполнения инструкции с тегом  $x_i$  может либо сдвинуться на одну позицию к концу списка, либо остаться на месте, либо быть вытеснен. Сдвиг происходит после обращения к  $x_i$  в том случае, если  $S_i = \text{miss}$  (это следует из последней строки таблицы вытеснения).

Поскольку среди тегов диапазона вытеснения, относящихся к региону  $R(y)$ , есть все теги из соответствующего сета  $L$  и нет лишних (это следует из уравнения), то количество различных тегов в диапазоне вытеснения равно  $w - 1$ . Из стратегии вытеснения следует, что после первой инструкции диапазона вытеснения тег  $y$  будет помещен в начало списка. Значит, за  $w - 1$  сдвигов на 1 позицию он будет перемещен на последнее место в списке. На этом месте (согласно таблице вытеснения) и располагается вытесняемый тег.

Доказательство остается справедливым и в том случае, когда к  $y$  не было обращений в самом тестовом шаблоне (однако в диапазон вытеснения он входит, такой диапазон включает в себя и часть начального состояния кэширующего буфера  $L_0$ ). В этом случае можно считать, что набор, соответствующий региону  $R(y)$  в  $L_0$ , представляется последовательностью из  $w$  кэш-промахов с тегами – элементами этого набора.

Теперь докажем обратное утверждение, а именно если  $y$  – вытесняемый тег в некоторой инструкции (т.е. находится в конце списка), то существует

такой диапазон вытеснения  $y_1, y_2, \dots, y_n$  (возможно, задействующий часть начального состояния  $L_0$ ), для которого справедливы вложения  $\{y_1, y_2, \dots, y_n\} \cap R(y) \subseteq (L \setminus \{y\}) \cap R(y)$  и  $\{y_1, y_2, \dots, y_n\} \cap R(y) \supseteq (L \setminus \{y\}) \cap R(y)$ .

Очевидно, что поскольку перед инструкцией, вытесняющей  $y$ , лишь конечное количество инструкций (и начальное состояние  $L_0$ ), то среди них существует такая, которая обращается к  $y$  в последний раз перед вытеснением. Тогда в качестве  $y_1, y_2, \dots, y_n$  рассмотрим последовательность инструкций от последнего обращения к  $y$  до данной инструкции. Из этого следует, что  $y \notin \{y_1, y_2, \dots, y_n\}$ . Аналогично лемме 6 можно сформулировать и доказать утверждение для стратегии вытеснения FIFO:  $L \supseteq \{y_1, y_2, \dots, y_n\} \cap R(y)$ . Значит,  $(L \setminus \{y\}) \supseteq \{y_1, y_2, \dots, y_n\} \cap R(y)$ . И поскольку для любых множеств  $X, Y, Z$  справедливо следствие: если  $X \supseteq Y \cap Z$ , то  $X \cap Z \supseteq Y \cap Z$  (формула  $(y \wedge z \rightarrow x) \rightarrow (y \wedge z \rightarrow x \wedge z)$  тождественно истинна) – то  $(L \setminus \{y\}) \cap R(y) \supseteq \{y_1, y_2, \dots, y_n\} \cap R(y)$ . Первое вложение доказано.

Для доказательства второго вложения покажем, что верно вложение  $\{y, y_1, y_2, \dots, y_n\} \cap R(y) \supseteq L \cap R(y)$ , из которого будет следовать  $\{y, y_1, y_2, \dots, y_n\} \cap R(y) \supseteq L \cap R(y)$ , а из него – требуемое вложение (поскольку для любых множеств  $X, Y, Z$  верно следствие: если  $X \cup Y \supseteq Z$ , то  $X \supseteq Z \setminus Y$  – оно справедливо потому, что формула  $(z \rightarrow (x \vee y)) \rightarrow (\bar{y}z \rightarrow x)$  тождественно истинна).

Иными словами, надо показать, что нет такого тега в  $L \cap R(y)$ , к которому в диапазоне не было бы обращения. Докажем это от противного. Допустим, что такой тег имеется. Т.е. количество различных тегов набора, относящихся к региону  $R(y)$ , меньше  $w - 1$  (один отняли за счет  $y$  в начале диапазона). Однако по условию  $y$  является вытесняемым тегом, т.е. к концу диапазона вытеснения перемещен из начала списка в конец. Для этого он должен был сдвинут  $w - 1$  раз. Сдвиг происходит при кэш-промахе или кэш-попадании тега, встречавшегося впервые (доказано выше). Следовательно, таких инструкций ровно  $w - 1$  и все они расположены в  $y_1, y_2, \dots, y_n$ . Но поскольку  $|L \cap R(y)| = w$ , то среди  $y_1, y_2, \dots, y_n$  встречается ровно  $w - 1$  различных тегов, относящихся к региону  $R(y)$ , что противоречит предположению.  $\square$

### 3.2.3 Метод перебора диапазонов вытеснения для стратегии вытеснения Pseudo-LRU

Воспользуемся определением Pseudo-LRU на ветвях бинарного дерева (см. п. 3.1). Согласно этому определению при кэш-попадании (или внесении в кэширующий буфер) тега его ветвь «обнуляется», т.е. становится равной (0 0 ... 0). Каждая последующая инструкция перекрашивает часть этой ветви до тех пор, пока к некоторому кэш-промаху эта ветвь не станет равной (1 1 ... 1). В этом случае данный тег будет вытеснен. Таким образом, в качестве метрики вытеснения предлагается использовать количество единиц в ветви. Это количество максимально в момент вытеснения и минимально в момент кэш-попадания (или внесения) данного тега. Применение перебора диапазонов вытеснения для описания Pseudo-LRU возможно: началом диапазона будет последнее обращение к тегу (листовой вершине дерева), концом диапазона будет вытесняющая этот тег инструкция.

**Утверждение 11** (метрика вытеснения для стратегии вытеснения Pseudo-LRU). *Метрикой вытеснения элемента для стратегии вытеснения Pseudo-LRU является количество вершин в ветви к вытесняемой листовой вершине с пометками, противоположными пометкам при прохождении по ветви при кэш-попадании. Диапазон вытеснения начинается в инструкции, последний раз обращающейся к листовой вершине (или в начальном состоянии, если инструкции тестового шаблона к этой листовой вершине не обращаются).*

Осталось записать уравнения, описывающие предложенные диапазоны вытеснения. Каждый тег кэширующего буфера снабдим *позицией* – номером этого элемента среди листовых вершин дерева. Будем обозначать позицию буквой  $\pi$ . Предикат  $displaced(x')$  будет представлен дизъюнкцией уравнений – каждый элемент дизъюнкции соответствует некоторому диапазону вытеснения. Тогда для диапазона вытеснения к инструкции, обращающейся к адресу  $x_1$  с позицией  $\pi_1$  надо составить такую систему уравнений ( $x_2, x_3, \dots, x_n$  – множество адресов, к которым происходят обращения внутри диапазона вытеснения,  $\pi_2, \pi_3, \dots, \pi_n$  – соответствующие им позиции,  $\delta_i = \pi_i \oplus \pi'$ ,  $i = 2, 3, \dots, n$ , – относительные позиции ):



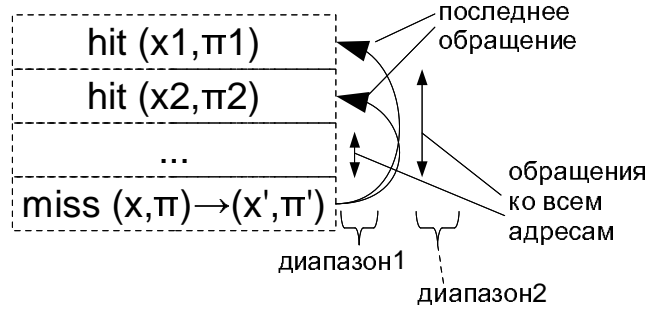


Рис. 3.9. Диапазоны вытеснения для стратегии вытеснения Pseudo-LRU

$$\begin{cases} x' = x_1 \\ \pi' = \pi_1 \\ \pi = \pi' \\ ((0 \text{ } op_x \text{ } \delta_2) \text{ } op_x \text{ } \delta_3) \dots op_x \text{ } \delta_n = w - 1 \end{cases}$$

Операция  $op_x$  выполняет очередной шаг по «перекрашиванию» ветви, ведущей в элемент  $x$ . Она может быть определена следующей формулой:

$$X \text{ } op_x \text{ } \delta \equiv \text{if } R(X) \neq R(x) \text{ then } X \text{ else } (X \& \delta_{<1>}) | \delta_{<0>} \text{ end}$$

где  $\&$  – побитовая конъюнкция,  $|$  – побитовая дизъюнкция,  $\delta_{<1>} = 2 * \delta_{<0>} - 1$ , а  $\delta_{<0>} = 2^{\lceil \log_2 \delta \rceil}$  может быть определено следующим переборным способом:  $\delta_{<0>} = \text{if } 1 \leq \delta < 2 \text{ then } 1 \text{ elsif } 2 \leq \delta < 4 \text{ then } 2 \text{ elsif } \dots \text{ else } w \text{ end}$ . Другой способ получения  $\delta_{<0>}$  и  $\delta_{<1>}$  удобно применять при побитовом рассмотрении  $\delta$ :  $\delta_{<0>} = (\delta_{<1>} + 1) \gg 1$ ,  $\delta_{<1>}[i] = \delta[1] \vee \delta[2] \vee \dots \vee \delta[i]$ , где символом  $d[i]$  обозначен  $i$ 'й бит числа  $d$ , биты нумеруются со старших к младшим.

### 3.3 Метод функций полезности записи стратегии вытеснения в виде ограничений

В разделе рассматривается метод составления ограничений, описывающих стратегию вытеснения, для которых можно определить метрик вытеснения. Стратегия вытеснения описывается ограничением сверху на количество *полезных* инструкций (т.е. помогающих вытеснению). В разделе приведены метрики полезности и ограничения для трех наиболее часто используемых в микропроцессорах стратегий вытеснения – LRU, FIFO и Pseudo-LRU. Освещается понятие *монотонной метрики вытеснения*, которая является залогом более компактной системы ограничений.

Пусть для стратегии вытеснения сформулирована метрика вытеснения (ее значение максимально в вытесняющей инструкции). Будем называть инструкцию *полезной*, если она увеличивает метрику на этапе монотонного увеличения метрики до максимального значения (см. рис. 3.10).

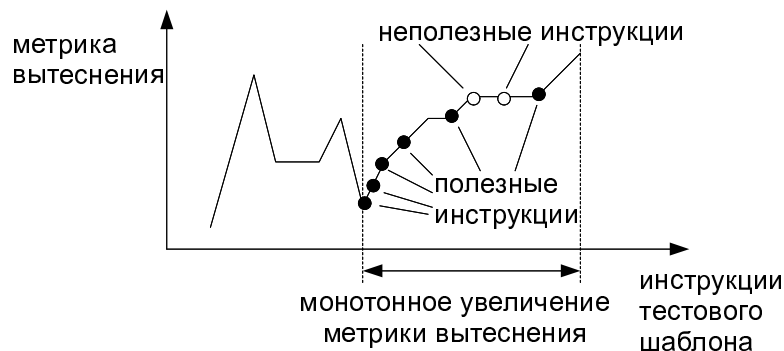


Рис. 3.10. К определению полезных инструкций

Тогда вытеснение будет происходить в том случае, когда количество полезных инструкций превысит некоторое константное количество. Вытеснение не будет происходить, если количество полезных инструкций не превысит некоторой константной верхней границы. Количество полезных инструкций можно записать в виде суммы переменных-полезностей, каждая такая переменная соответствует своей инструкции и равна 1 тогда и только тогда, когда инструкция является полезной, и 0 тогда и только тогда, когда инструкция не является полезной. Иными словами, ограничение будет иметь вид  $\sum_{i=1}^n u(x_i) < N$  или  $\sum_{i=1}^n u(x_i) = N$ , где  $u(x_i)$  – *функция полезности* (равна 1, если  $x_i$  – полезная инструкция, и равна 0, если  $x_i$  не является полезной инструкцией).

### 3.3.1 Метод функций полезности для стратегии вытеснения LRU

Функцией полезности является номер вытесняемого элемента согласно порядку счетчика LRU (см. рис. 3.5). Значит, полезной будет инструкция, переставляющая вытесняемый элемент в этом порядке к концу. Такими инструкциями являются все кэш-промахи (поскольку они вытесняют последний элемент с передвижением всех остальных на одну позицию к концу, в том числе будет передвинут и данный вытесняемый элемент) и кэш-попадания к элементам, находившимся ближе к концу, чем данный вытесняемый (потому как при кэш-попадании они передвинутся в самое начало, а все элементы от начала и до них сдвинутся на одну позицию к концу, в том числе и данный вытесняемый).

Осталось выразить эту идею в виде ограничений [50]. Для этого удобно использовать формулировку тестовых ситуаций в кэширующем буфере из утверждения 2. Символом  $\lambda_\delta$  будет обозначаться элемент домена – начального состояния буфера – с индексом  $\delta$  по порядку LRU,  $1 \leq \delta \leq w$ . Индекс 1 обозначает самый молодой элемент, индекс  $w$  обозначает самый старый элемент.

Применение полезностей эффективно в том случае, когда домен имеет небольшой размер (такие домены как раз обеспечивает совместная генерация ограничений). В этом случае можно перебрать все элементы домена (это и будут  $\lambda_\delta$ ) и составить для них свои полезности, причем для каждого элемента будет известен индекс по порядку LRU ( $\delta$ ). Ограничение, описывающее стратегию вытеснения, будет при этом иметь вид дизъюнкции по элементам домена.

Если вытесняемый элемент был в начальном состоянии (пусть это  $\lambda_\delta$ ) и к нему не было обращений, то для его вытеснения необходимо  $w - \delta + 1$  полезных инструкций, потому что столько раз надо подвинуть элемент с индексом  $\delta$  в LRU-списке в сторону к концу (к элементам с индексом  $w$ ), чтобы он вышел за границу списка (иными словами, чтобы он был вытеснен).

Если вытесняемый элемент был в начальном состоянии и к нему было обращение, то для его вытеснения необходимо  $w$  инструкций, так как во время обращения элемент был поставлен в самое начало LRU-списка. То же справедливо для внесенных в кэширующий буфер новых тегсетов – чтобы их

вытеснить, надо так же  $w$  полезных инструкций, чтобы переместить их к концу LRU-списка.

В таблице А.2 приведены все функции полезности для кэш-попаданий и кэш-промахов. Далее идет ряд формулировок и теорем, доказывающих корректность применения полезностей для записи стратегии вытеснения LRU в виде ограничений.

**Кэш-попадание – первый случай** Это случай обозначен в формулировке утверждения 2 фразой « $x \in D \wedge x$  все еще не вытеснен». Возможны два подслучая в зависимости от того, было ли обращение к  $x$  до вытесняющей его инструкции. Подслучай отсутствия такого обращения будем называть кэш-попаданием-Г', а наличия – кэш-попаданием-Г". Ограничения для этих подслучаев объединяются в дизъюнкцию.

**Лемма 7** (представление кэш-попадания-Г' с помощью функций полезности для LRU). Пусть  $x$  – тегсет текущей инструкции при стратегии вытеснения LRU. Тогда если  $x = \lambda \in L_0$  и  $x \notin \{x_1, x_2, \dots, x_n\}$ , где  $x_1, x_2, \dots, x_n$  – тегсеты предыдущих инструкций, то  $x$  не вытеснен к моменту текущей инструкции согласно определению LRU на списках тогда и только тогда, когда  $\sum_{i=1}^n u(x_i) \leq w - \delta$ , где  $\delta \in \{1, 2, \dots, w\}$  – индекс  $\lambda$  в своем наборе  $L_0$  согласно метрике вытеснения LRU, а  $u(x_i)$  (функция полезности) определена следующим образом:

$$u(x_i) \equiv \begin{cases} x_i \in \{\lambda_{\delta+1}, \dots, \lambda_w\} \wedge x_i \notin \{x_1, \dots, x_{i-1}\}, \text{ если } S_i = \text{hit} \\ R(x_i) = R(x), \text{ если } S_i = \text{miss} \end{cases}$$

*Доказательство.* Напомню таблицу вытеснения для стратегии вытеснения LRU [40]:

$$\left[ \begin{array}{c|cccccc} \pi_0 & 0 & 1 & 2 & 3 & \dots & w-1 \\ \pi_1 & 1 & 0 & 2 & 3 & \dots & w-1 \\ \pi_2 & 2 & 0 & 1 & 3 & \dots & w-1 \\ \vdots & & & & & & \\ \pi_{w-1} & w-1 & 0 & 1 & 2 & \dots & w-2 \\ \pi_m & m & 0 & 1 & 2 & \dots & w-2 \end{array} \right]$$

Сначала докажем, что если  $x$  не вытеснен, то справедливо ограничение сверху на сумму функций полезности. Из таблицы вытеснения следует, что

$x$  не вытеснен, если он не был сдвинут к концу списка с последующим кэш-промахом, который бы его вытеснил. По условию  $x$  находился в начальном состоянии на месте с индексом  $\delta$ . Кроме того, поскольку  $x \notin \{x_1, x_2, \dots, x_n\}$ , т.е. к  $x$  не было обращений, то  $x$  мог сдвигаться только в одном направлении – к концу списка. Причем таких сдвигов не должно быть больше  $w - \delta$ , поскольку именно столько сдвигов требуется для перемещения из позиции  $\delta$  в конец списка.

Покажем, что полученное требование на количество сдвигов (оно не должно превышать  $w - \delta$ ) как раз и выражается ограничением суммы функций полезности. Покажем, что функция полезности  $u(x_i) = 1$  в том случае и только в том случае, когда при обращении к  $x_i$  происходит сдвиг тега  $x$  на 1 позицию (другие сдвиги запрещает таблица вытеснения). Итак, сдвиг тега  $x$  происходит в результате обращения к  $x_i$  в том случае, если  $S_i = \text{miss}$  (это следует из последней строки таблицы вытеснения) или  $S_i = \text{hit}$  и тег  $x_i$  встречается впервые в  $x_1, x_2, \dots, x_n$ , и (согласно таблице вытеснения)  $x$  находился перед  $x_i$  (из этого условия следует, что  $x_i \in L_0$ , поскольку в противном случае согласно таблице вытеснения  $x$  не мог бы находиться  $x_i$ , ибо последний был бы помещен в самое начало списка и без обращения к  $x$  взаимное отношение  $x$  и  $x_i$  не могло быть изменено). Не надо забывать, что таблица вытеснения формулируется только на наборе, таким образом, к сформулированным требованиям осуществления сдвига надо добавить совпадение регионов тегов  $x$  и  $x_i$ .

Перефразируя выше сказанное, получим, если  $S_i = \text{miss}$ , то сдвиг тега  $x$  будет осуществлен при выполнении условия  $R(x) = R(x_i)$ . Если  $S_i = \text{hit}$ , то сдвиг тега  $x$  будет осуществлен при выполнении условия  $R(x) = R(x_i) \wedge x_i$  встречается впервые  $\wedge x$  находится перед  $x_i \wedge x_i \in L_0$ . Ровно в этих же случаях предложенная в формулировке теоремы функция полезности  $u(x_i)$  будет равна 1. А именно, при  $S_i = \text{miss}$   $u(x_i) \equiv R(x) = R(x_i)$ , что и утверждает теорема. Напомню, что  $R(x) \cap L_0 = \{\lambda_1, \lambda_2, \dots, \lambda_\delta, \dots, \lambda_w\}$ , что дает возможность записать при  $S_i = \text{hit}$  свойство сдвига как « $x_i$  встречается впервые  $\wedge x$  находится перед  $x_i \wedge x_i \in \{\lambda_1, \lambda_2, \dots, \lambda_\delta, \dots, \lambda_w\}$ », что можно еще упростить, учитывая равенство  $x = \lambda_\delta$ : « $x_i$  встречается впервые  $\wedge x_i \in \{\lambda_{\delta+1}, \dots, \lambda_w\}$ ». Ровно при выполнении этого же свойства функция полезности  $u(x_i) = 1$  при  $S_i = \text{hit}$ .

В обратную сторону лемма доказывается с помощью тех же шагов, что и в прямую сторону.  $\square$

**Лемма 8** (представление кэш-попадания-Г' с помощью функций полезности для LRU). Пусть  $x$  – тегсет текущей инструкции при стратегии вытеснения LRU. Тогда если  $x = \lambda \in L_0$  и  $x \in \{x_1, x_2, \dots, x_n\}$ , где  $x_1, x_2, \dots, x_n$  – тегсеты предыдущих инструкций, то  $x$  не вытеснен к моменту текущей инструкции согласно определению LRU на списках тогда и только тогда, когда  $\sum_{i=1}^n u(x_i) < w$ , где  $u(x_i)$  (функция полезности) определена следующим образом:

$$u(x_i) \equiv \begin{cases} x \notin \{x_i, \dots, x_n\} \wedge x_i \in \{\lambda_{\delta+1}, \dots, \lambda_w\} \wedge \sum_{j=1}^{i-1} c_i(x_j) = 0, \\ \text{если } S_i = \text{hit} \\ x \notin \{x_i, \dots, x_n\} \wedge R(x_i) = R(x), \text{ если } S_i = \text{miss} \end{cases}$$

$\delta \in \{1, 2, \dots, w\}$  – индекс  $\lambda$  в своем наборе  $L_0$  согласно метрике вытеснения LRU ( $\lambda = \lambda_\delta$ ),

$$c_i(x_j) \equiv (x \notin \{x_j, x_{j+1}, \dots, x_i\} \wedge x_i = x_j)$$

*Доказательство.* Сначала докажем, что если  $x$  не вытеснен, то справедливо ограничение сверху на сумму функций полезности. Рассмотрим подпоследовательность последовательности  $x_1, x_2, \dots, x_n$  из тегов, равных  $x$ . Поскольку такая последовательность по условию непустая и количество тегов в ней ограничено (не более  $n$ ), то среди них существует элемент подпоследовательности с максимальным индексом. Обозначим его  $x_s$ . Из таблицы вытеснения следует, что  $x$  не вытеснен, если он не был сдвинут к концу списка с последующим кэш-промахом, который бы его вытеснил. Каждая инструкция с тегов  $x$  сдвигает его в самое начало списка. Кроме того, поскольку  $x = x_s \notin \{x_{s+1}, x_{s+2}, \dots, x_n\}$ , т.е. к  $x$  не было обращений после  $x_s$ , то  $x$  мог сдвигаться после  $x_s$  только в одном направлении – к концу списка. Причем таких сдвигов не должно быть больше  $w - 1$ , поскольку именно столько сдвигов требуется для перемещения из начала списка в конец списка.

Покажем, что полученное требование на количество сдвигов (оно не должно превышать  $w - 1$ ) как раз и выражается ограничением суммы функций

полезности. Покажем, что функция полезности  $u(x_i) = 1$  в том случае и только в том случае, когда при обращении к  $x_i$  после обращения к  $x_s$  происходит сдвиг тега  $x$  на 1 позицию (другие сдвиги запрещает таблица вытеснения). Итак, сдвиг тега  $x$  происходит в результате обращения к  $x_i$  в том случае, если  $S_i = \text{miss}$  (это следует из последней строки таблицы вытеснения) или  $S_i = \text{hit}$  и тег  $x_i$  встречается впервые после  $x_s$ , и (согласно таблице вытеснения)  $x$  находился перед  $x_i$  (из этого условия следует, что  $x_i \in L_0$ , поскольку в противном случае согласно таблице вытеснения  $x$  не мог бы находиться  $x_i$ , ибо последний был бы помещен в самое начало списка и без обращения к  $x$  взаимное отношение  $x$  и  $x_i$  не могло быть изменено). Не надо забывать, что таблица вытеснения формулируется только на наборе, таким образом, к сформулированным требованиям осуществления сдвига надо добавить совпадение регионов тегов  $x$  и  $x_i$ .

Далее будет использовано следующий способ выразить условие «обращении к  $x_i$  происходит после обращения к  $x_s$ », т.е.  $i > s$ . А именно,  $i > s \Leftrightarrow x \notin \{x_i, \dots, x_n\}$ . Докажем от противного. Пусть  $i > s$  и  $x \in \{x_i, \dots, x_n\}$ . Так как  $i > s$ , то последнее обращение к  $x$  уже произошло и среди  $x_i, x_{i+1}, \dots, x_n$  тег  $x$  больше не встречается. Иными словами,  $x \notin \{x_i, x_{i+1}, \dots, x_n\}$ , что противоречит предположению. В обратную сторону, предположим, что  $i \leq s$  и  $x \notin \{x_i, \dots, x_n\}$ . Поскольку  $i \leq s$ , то  $x_s \in \{x_i, x_{i+1}, \dots, x_n\}$ . Но так как  $x = x_s$ , получаем  $x \in \{x_i, \dots, x_n\}$ , что противоречит предположению.

Перефразируя выше сказанное, получим, если  $S_i = \text{miss}$ , то сдвиг тега  $x$  будет осуществлен при выполнении условия  $R(x) = R(x_i) \wedge i > s$ . Если  $S_i = \text{hit}$ , то сдвиг тега  $x$  будет осуществлен при выполнении условия  $R(x) = R(x_i) \wedge x_i$  встречается впервые  $\wedge x$  находится перед  $x_i$  после  $x_s \wedge x_i \in L_0$ . Ровно в этих же случаях предложенная в формулировке теоремы функция полезности  $u(x_i)$  будет равна 1. А именно, при  $S_i = \text{miss}$   $u(x_i) \equiv R(x) = R(x_i) \wedge x \notin \{x_i, \dots, x_n\}$ , что и утверждает теорема. Напомню, что  $R(x) \cap L_0 = \{\lambda_1, \lambda_2, \dots, \lambda_\delta, \dots, \lambda_w\}$ , что дает возможность записать при  $S_i = \text{hit}$  свойство « $x$  находится перед  $x_i$  после  $x_s \wedge x_i \in \{\lambda_1, \lambda_2, \dots, \lambda_\delta, \dots, \lambda_w\}$ », что можно еще упростить, учитывая равенство  $x = \lambda_\delta$ : « $x_i \in \{\lambda_{\delta+1}, \dots, \lambda_w\}$ ».

Осталось при  $S_i = \text{hit}$  записать свойство « $x_i$  встречается впервые после обращения к  $x_s$ ». Докажем, что это свойство эквивалентно условию  $\forall j < i (x \notin \{x_j, x_{j+1}, \dots, x_i\} \vee x_i \neq x_j)$  (что эквивалентно  $\sum_{j=1}^{i-1} c_i(x_j) = 0$ ). В очередной

раз доказываем от противного. Пусть  $x_i$  встречается после  $x_s$  впервые, однако существует такой  $j < i$ , что  $x = x_s \notin \{x_j, \dots, x_i\} \wedge x_i = x_j$ .  $x_s \notin \{x_j, \dots, x_i\}$  тогда и только тогда, когда  $s < j$  (т.к.  $x_s$  – это последнее обращение к  $x$ , до  $x_i$  он точно не встречается). Значит, хотя по предположению в  $i$ 'й инструкции должно было быть первое обращение к  $x_i$  после  $s$ 'й инструкции, нашлась между ними другая инструкция ( $j$ 'я), тег в которой тоже равен  $x_i$ . Обнаружено противоречие, которое завершает основную цепочку преобразований. Остается только собрать все полученные следствия и получить требуемый вид  $u(x_i)$  при  $S_i = \text{hit}$ .

В обратную сторону лемма доказывается с помощью тех же шагов, что и в прямую сторону.  $\square$

Неформально говоря, все инструкции до последнего обращения к вытесняемому элементу считаются бесполезными, а после этого обращения полезным считается лишь первое обращение к элементу, находящемуся между  $\lambda_\delta$  и концом списка (т.е. между  $\lambda_{\delta+1}$  и  $\lambda_w$ ). Функциональный символ  $c$  как раз призван считать количество предшествующих обращений к таким элементам с момента последнего обращения к вытесняемому элементу. Если  $c = 0$ , значит, это первое обращение (предшествующих нет).

**Кэш-попадание – второй случай** Этот случай представлен фразой « $x$  был внесен  $\wedge$  с тех пор не вытеснен». Функции полезности совпадают со случаем, когда  $x$  был в начальном состоянии, к нему до вытеснения было обращение и он все еще не вытеснен, потому что с момента последнего обращения поведение списка LRU не зависит от инструкций, предшествовавших последнему обращению. Разница только в том, что в данном случае не известен индекс элемента  $\delta$ , потому как нет равенства  $x = \lambda_\delta$ . Но, как оказалось, ограничение можно записать в этом случае и без знания  $\delta$  – ограничения  $R(x_i) = R(x)$  достаточно при условии, что это первое обращение.

**Лемма 9** (представление кэш-попадания-II с помощью функций полезности для LRU). Пусть  $x$  – тегсет текущей инструкции при стратегии вытеснения LRU. Тогда если  $x \in [x_1, x_2, \dots, x_n]_{\text{miss}}$ , где  $x_1, x_2, \dots, x_n$  – тегсеты предыдущих инструкций, а  $[x_1, x_2, \dots, x_n]_{\text{miss}}$  – тегсеты, дающие кэш-промах, то  $x$  не вытеснен к моменту текущей инструкции согласно определению LRU



на списках тогда и только тогда, когда  $\sum_{i=1}^n u(x_i) < w$ , где  $u(x_i)$  (функция полезности) определена следующим образом:

$$u(x_i) = \begin{cases} x \notin \{x_i, \dots, x_n\} \wedge R(x_i) = R(x) \wedge \sum_{j=1}^{i-1} c_i(x_j) = 0, & \text{если } S_i = \text{hit} \\ x \notin \{x_i, \dots, x_n\} \wedge R(x_i) = R(x), & \text{если } S_i = \text{miss} \end{cases}$$

$$c_i(x_j) \equiv (x \notin \{x_j, x_{j+1}, \dots, x_i\} \wedge x_i = x_j)$$

*Доказательство.* В точности повторяет доказательство леммы 8, за исключением отсутствия условия  $x \in L_0$ , что не дает возможности упростить выражение  $R(x) = R(x_i)$ , поэтому оно остается в функции полезности в таком виде.  $\square$

**Кэш-промах – первый случай** Этот случай описывает тегсет, который еще не встречался ни среди предыдущих инструкций тестового шаблона, ни среди начального состояния кэширующего буфера. Он может быть описан вообще без привлечения функций полезности, что и сделаем:

$$\begin{cases} x \notin D \\ x \notin [x_1, x_2, \dots, x_n]_{\text{miss}} \end{cases} \quad (3.1)$$

$x_1, x_2, \dots, x_n$  – тегсеты предыдущих инструкций,  $[x_1, x_2, \dots, x_n]_{\text{miss}}$  – тегсеты, дающие кэш-промах.

**Кэш-промах – второй случай** описывает ситуацию, когда тегсет был внесен в кэширующий буфер одним из предыдущих кэш-промахов, затем некоторым последующим кэш-промахом он был вытеснен и с того момента не был внесен в буфер вновь. Обращение к такому тегсету в данной инструкции вызовет кэш-промах. С помощью функций полезности запишем тот факт, что, начиная с последнего обращения к элементу, было не менее  $w$  полезных инструкций. Именно столько раз надо сдвинуть элемент в списке LRU от начала до самого конца, чтобы его вытеснить.

**Лемма 10** (представление кэш-промаха-II с помощью функций полезности для LRU). Пусть  $x$  – тегсет текущей инструкции при стратегии вытесне-

ния *LRU*. Тогда если  $x \in [x_1, x_2, \dots, x_n]_{miss}$ , где  $x_1, x_2, \dots, x_n$  – тегсеты предыдущих инструкций, а  $[x_1, x_2, \dots, x_n]_{miss}$  – тегсеты, дающие кэш-промах, то  $x$  вытеснен к моменту текущей инструкции согласно определению *LRU* на списках тогда и только тогда, когда  $\sum_{i=1}^n u(x_i) \geq w$ , где  $u(x_i)$  (функция полезности) определена следующим образом:

$$u(x_i) = \begin{cases} x \notin \{x_i, \dots, x_n\} \wedge R(x_i) = R(x) \wedge \sum_{j=1}^{i-1} c_i(x_j) = 0, \text{ если } S_i = hit \\ x \notin \{x_i, \dots, x_n\} \wedge R(x_i) = R(x), \text{ если } S_i = miss \end{cases}$$

$$c_i(x_j) \equiv (x \notin \{x_j, x_{j+1}, \dots, x_i\} \wedge x_i = x_j)$$

*Доказательство.* По лемме 9  $x$  не вытеснен тогда и только тогда, когда  $\sum_{i=1}^n u(x_i) < w$ . Значит,  $x$  вытеснен тогда и только тогда, когда  $\sum_{i=1}^n u(x_i) \geq w$ .  $\square$

**Кэш-промах – третий случай** Это случай обозначен в формулировке утверждения 2 фразой « $x \in D \wedge x$  был вытеснен  $\wedge$  не внесен вновь». Возможны два подслучая в зависимости от того, было ли обращение к  $x$  до вытесняющей его инструкции (кэш-промах-III’ будет соответствовать отсутствию обращений до вытесняющей инструкции, кэш-промах-III”, наоборот, наличию такого обращения). Ограничения для этих подслучаев объединены в дизъюнкцию. Для кэш-промаха-III’ нужно более  $w - \delta$  полезных инструкций ( $x = \lambda_\delta$ ), для кэш-промаха-III” нужно не менее  $w$  полезных инструкций.

**Лемма 11** (представление кэш-промаха-III’ с помощью функций полезности для *LRU*). Пусть  $x$  – тегсет текущей инструкции при стратегии вытеснения *LRU*. Тогда если  $x = \lambda \in L_0$  и  $x \notin \{x_1, x_2, \dots, x_n\}$ , где  $x_1, x_2, \dots, x_n$  – тегсеты предыдущих инструкций, то  $x$  вытеснен к моменту текущей инструкции согласно определению *LRU* на списках тогда и только тогда, когда  $\sum_{i=1}^n u(x_i) > w - \delta$ , где  $\delta \in \{1, 2, \dots, w\}$  – индекс  $\lambda$  в своем наборе  $L_0$  согласно метрике вытеснения *LRU*, а  $u(x_i)$  (функция полезности) определена следующим образом:

$$u(x_i) \equiv \begin{cases} x_i \in \{\lambda_{\delta+1}, \dots, \lambda_w\} \wedge x_i \notin \{x_1, \dots, x_{i-1}\}, \text{ если } S_i = \text{hit} \\ R(x_i) = R(x), \text{ если } S_i = \text{miss} \end{cases}$$

*Доказательство.* По лемме 7  $x$  не вытеснен тогда и только тогда, когда  $\sum_{i=1}^n u(x_i) \leq w - \delta$ . Значит,  $x$  вытеснен тогда и только тогда, когда  $\sum_{i=1}^n u(x_i) > w - \delta$ .  $\square$

**Лемма 12** (представление кэш-промаха-III с помощью функций полезности для LRU). Пусть  $x$  – тегсет текущей инструкции при стратегии вытеснения LRU. Тогда если  $x = \lambda \in L_0$  и  $x \in \{x_1, x_2, \dots, x_n\}$ , где  $x_1, x_2, \dots, x_n$  – тегсеты предыдущих инструкций, то  $x$  вытеснен к моменту текущей инструкции согласно определению LRU на списках тогда и только тогда, когда  $\sum_{i=1}^n u(x_i) \geq w$ , где  $u(x_i)$  (функция полезности) определена следующим образом:

$$u(x_i) = \begin{cases} x \notin \{x_i, \dots, x_n\} \wedge x_i \in \{\lambda_{\delta+1}, \dots, \lambda_w\} \wedge \sum_{j=1}^{i-1} c_i(x_j) = 0, \\ \text{если } S_i = \text{hit} \\ x \notin \{x_i, \dots, x_n\} \wedge R(x_i) = R(x), \text{ если } S_i = \text{miss} \end{cases}$$

$\delta \in \{1, 2, \dots, w\}$  – индекс  $\lambda$  в своем наборе  $L_0$  согласно метрике вытеснения LRU ( $\lambda = \lambda_\delta$ ),

$$c_i(x_j) \equiv (x \notin \{x_j, x_{j+1}, \dots, x_i\} \wedge x_i = x_j)$$

*Доказательство.* По лемме 8  $x$  не вытеснен тогда и только тогда, когда  $\sum_{i=1}^n u(x_i) < w$ . Значит,  $x$  вытеснен тогда и только тогда, когда  $\sum_{i=1}^n u(x_i) \geq w$ .  $\square$

Неформально говоря, все инструкции до последнего обращения к вытесняемому элементу считаются бесполезными, а после этого обращения полезным считается лишь первое обращение к элементу, находящемуся между  $\lambda_\delta$  и концом списка (т.е. между  $\lambda_{\delta+1}$  и  $\lambda_w$ ). Функциональный символ  $c$  как раз призван считать количество предшествующих обращений к таким элементам с момента последнего обращения к вытесняемому элементу. Если  $c = 0$ , значит, это первое обращение (предшествующих нет).

**Теорема 10** (корректность использования функций полезности для записи LRU). *Тестовая программа, построенная по ограничениям, которые сгенерированы с использованием предъявленных выше функций полезности, удовлетворяет своему тестовому шаблону.*

*Доказательство.* Каждая тестовая ситуация представима в виде схемы ограничений, указанных в утверждении 2, а эта схема уточняется до конкретных ограничений с использованием лемм 7 – 12.  $\square$

Несколько слов об уменьшении ограничений для всех случаев. Представленные ограничения достаточны для полного описания кэш-попаданий и кэш-промахов. В некоторых случаях однако их количество можно сократить, используя следующие эвристики:

- *тождественные ограничения мощности:* ограничения вида  $\sum_{i=1}^n a_i \leq C$  можно не включать в конъюнкцию, если  $C > n$ ; если  $C < 0$ , то вся конъюнкция несовместна; если  $C = 0$  или  $C = n$ , то ограничение мощности можно сразу расписать в конъюнкцию вида  $\bigwedge_i (a_i = \alpha)$ , где  $\alpha = 0$ , если  $C = 0$ , и  $\alpha = 1$ , если  $C = n$ ; аналогично с ограничениями вида  $\sum_{i=1}^n a_i \geq C$ ;
- *ограничения на  $\delta$ :* если  $\delta + 1 < w$ , то функция полезности, в которую входит множество  $\{\lambda_{\delta+1}, \dots, \lambda_w\}$ , равна 0;
- *пересечение тегсетов:* при построении ограничений для нескольких кэширующих буферов, чьи тегсеты могут быть битовыми полями (как, например, в случае кэш-памяти и буфера TLB в микропроцессоре MIPS [71]), возникают конъюнкции ограничений вида  $x \in \{x_1, \dots, x_n\} \wedge \hat{x} \notin \{\hat{y}_1, \dots, \hat{y}_m\}$ , где  $x$  – тег в одном буфере, а  $\hat{x}$  – тег в другом буфере; поскольку неравенство битовых полей чисел влечет неравенство самих чисел, то общие тегсеты среди  $x_1, \dots, x_n$  и  $y_1, \dots, y_m$  можно исключить из ограничения на  $x$ .

### 3.3.2 Метод функций полезности для стратегии вытеснения FIFO

Из сравнения таблиц вытеснения для FIFO и LRU следует, что стратегию вытеснения FIFO можно воспринимать, как частный случай LRU, в котором

кэш-попадание не меняет состояния списка LRU. Поэтому и ограничения с функциями полезности для FIFO будем строить на основе уже сформулированных и обоснованных ограничений с функциями полезности для LRU. Кроме того все инструкции с кэш-попаданиями, поскольку они не влияют на вытеснение, можно вообще исключить из ограничений. Получившиеся ограничения показаны в таблице А.3. Доказательства корректности и полноты этих ограничений идентичны доказательствами для LRU. Символом  $\left[\sum_{i=1}^n\right]_{miss}u(x_i)$  обозначена сумма  $u(x_i)$ , где  $i = 1..n$  и тегсет  $x_i$  дает в своей инструкции кэш-промах.

### 3.3.3 Метод функций полезности для стратегии вытеснения Pseudo-LRU

При использовании функций полезности не происходит выделение участка тестового шаблона, непосредственно влияющего на вытеснение данного тегсета. Считается, что это влияние начинается с момента появления тегсета в кэширующем буфере. Другое дело, что одни инструкции влияют на его вытеснение (это и есть «полезные» инструкции), а другие – нет.

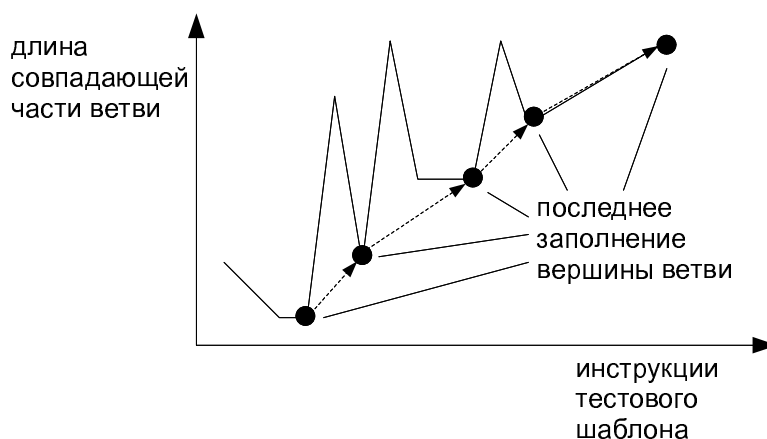


Рис. 3.11. Заполнение ветви черными вершинами в стратегии вытеснения Pseudo-LRU

Рассмотрим в качестве метрики вытеснения для стратегии вытеснения Pseudo-LRU длину черной части ветви, начиная от листовых вершин к корню дерева. Причем вершина будет учитываться в метрике как черная не в тот момент, когда ее перекрашивают, а в тот момент, когда это ее последнее покрашивание в черный цвет. Если таким образом будет закрашена вся

ветвь целиком перед кэш-промахом, то листовая вершина будет вытеснена. Представленный на рисунке 3.11 шаблон успевает покрасить 5 вершин ветви в черный цвет.

**Утверждение 12.** *Инструкция считается полезной в случае стратегии вытеснения *Pseudo-LRU*, если все последующие обращения затрагивают только те вершины ветви, которые расположены выше вершины, перекрашиваемой в данный момент в черный цвет.*

Количество полезных инструкций, необходимых для вытеснения, зависит от состояния ветви перед первой инструкцией. Если обращение к тегсету было в тестовом шаблоне, то для вытеснения нужно не менее  $W$  полезных инструкций (длина ветви). Если обращения в тестовом шаблоне не было (т.е. тегсет был в кэширующем буфере изначально), то для его вытеснения может потребоваться менее  $W$  полезных инструкций, поскольку часть вершин покрашены в черный цвет изначально. Напомним, что  $W$  обозначает  $\log_2 w$ .

Отличие этой метрики вытеснения от метрики вытеснения для LRU является *немонотонность*. Это означает, что полезные инструкции надо считать для каждого кэш-промаха заново — инструкции между двумя соседними кэш-промахами могут забелить несколько вершин ветви, что уменьшит метрику вытеснения (см.рис. 3.12). Метрика для LRU является монотонной, потому что инструкции между кэш-промахами не могут уменьшить метрику вытеснения — либо не меняют, либо увеличивают ее, сдвигая вытесняемый тегсет к концу списка LRU (см. рис. 3.13). Таким образом, ограничение, описывающее стратегию вытеснения *Pseudo-LRU*, будет представлено дизъюнкцией ограничений по всем предыдущим кэш-промахам.

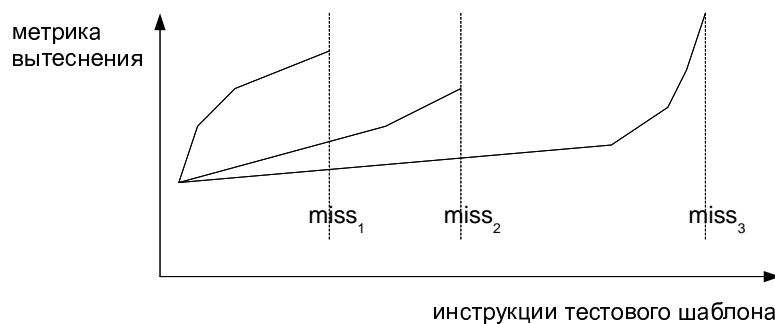


Рис. 3.12. Немонотонная метрика вытеснения

Осталось записать понятие полезной инструкции для *Pseudo-LRU* в виде ограничений. Напомню, что каждый тегсет кроме своего значения  $x_i$  снабжен



Рис. 3.13. Монотонная метрика вытеснения

позицией  $\pi_i$  ( $\pi_i \in \{0..w-1\}$ ). Пусть считается функция полезности тегсета  $(x_i, \pi_i)$  относительно тегсета  $(x, \pi)$ . Пусть выбрана некоторая инструкция с кэш-промахом между  $i$ -й и вытесняющей. Пусть  $(x_{i+1}, \pi_{i+1}), (x_{i+2}, \pi_{i+2}), \dots, (x_m, \pi_m)$  — тегсеты с позициями инструкций, расположенными между  $(x_i, \pi_i)$  и выбранным кэш-промахом, а  $(x_{i+1}, \pi_{i+1}), \dots, (x_n, \pi_n)$  — тегсеты с позициями инструкций, расположенными между  $(x_i, \pi_i)$  и  $(x, \pi)$ . Тогда  $(x_i, \pi_i)$  будет полезным, если выполнены одновременно три условия:

- $x \notin \{x_i, x_{i+1}, \dots, x_n\}$  — инструкция расположена после последнего обращения к вытесняемому тегсету;
- $R(x) = R(x_i)$  — инструкция принадлежит тому же региону;
- $P(\pi_i \oplus \pi, \pi_{i+1} \oplus \pi) \wedge \dots \wedge P(\pi_i \oplus \pi, \pi_{m-1} \oplus \pi)$  — все последующие обращения должны пересекаться только в более верхних частях ветви (это выражает предикат  $P$  для пары векторов); предикат  $P(\delta_i, \delta_j)$  истинен тогда и только тогда, когда количество старших нулевых бит у  $\delta_i$  больше количества старших нулевых бит у  $\delta_j$ , иными словами, только и только тогда, когда существует  $k$  такое, что  $\delta_i < 2^k \leq \delta_j$ ; с использованием битовых операций этот предикат можно записать в следующем виде:  $P(\delta_i, \delta_j) \equiv (\delta_j > \delta_i \wedge \delta_j \oplus \delta_i > \delta_i)$ , сравнения беззнаковые.

Таблица А.1 содержит ограничения для разных случаев кэш-попаданий и кэш-промахов (см. утверждение 2). В каждое из них включается ограничение на количество полезных инструкций согласно предлагаемой методике использования функций полезности. Полезности считаются относительно некоторого кэш-промаха (для их перебора используется сокращение  $x_m : \text{miss}$ ).

**Лемма 13.** Пусть  $x$  – тегсет текущей инструкции при стратегии вытеснения *Pseudo-LRU*. Тогда если  $x \in \{x_1, x_2, \dots, x_n\}$ , где  $x_1, x_2, \dots, x_n$  – тегсеты предыдущих инструкций, то  $x$  не вытеснен к моменту текущей инструкции согласно каноническому определению *Pseudo-LRU* тогда и только тогда, когда для каждого  $x_m : \text{miss}$  ( $1 \leq m \leq n$ ) выполнено  $\sum_{i=1}^{m-1} u_m(x_i) < W$ , где  $W = \log_2 w$ ,  $\pi$  – позиция  $x$ , а  $u_m(x_i)$  (функция полезности) определена следующим образом:

$$u_m(x_i) \equiv (x \notin \{x_i, x_{i+1}, \dots, x_{m-1}\} \wedge R(x_i) = R(x) \wedge \bigwedge_{j=i+1}^{m-1} P(\pi_i \oplus \pi, \pi_j \oplus \pi))$$

$$P(\delta_i, \delta_j) \equiv (\delta_j > \delta_i \wedge \delta_j \oplus \delta_i > \delta_i)$$

*Доказательство.* Согласно определению на ветвях бинарного дерева тег  $x$  будет вытеснен тогда и только тогда, когда к какому-либо кэш-промаху его ветвь будет состоять только из единиц. Значит, для того, чтобы он не был вытеснен, к каждому кэш-промаху его ветвь должна содержать хотя бы одну белую вершину.

Рассмотрим последовательность относительных позиций тегов тестового шаблона относительно позиции тега  $x$ . Выделим среди тегов тестового шаблона подпоследовательности  $F_k$  на основе относительных позиций. В подпоследовательность  $F_1$  войдут все теги с относительными позициями равными 1, в  $F_2$  – с относительными позициями 2 и 3, в  $F_3$  – 4, 5, 6 и 7, и т.д. В подпоследовательность  $F_k$  войдут все теги с относительными позициями из множества  $[\frac{w}{2^k}, \frac{w}{2^{k-1}})$ ,  $k = 1, 2, \dots, W$ . На рисунке 3.14 показан пример таких подпоследовательностей, каждая подпоследовательность заключена в свою горизонтальную полосу. Всего таких полос  $W$ . Теги в  $k$ 'й полосе перекрашивают  $W - k + 1$ 'ю вершину ветви тега  $x$  в черный цвет, а вершины ветви с номерами  $W - k$ ,  $W - k - 1$ , ..., 1 – в белый цвет.

Далее в каждой полосе выделим последние элементы  $y_1, y_2, \dots, y_k$ , расположенные после последнего обращения к  $x$ . Функциональным символом  $F(y)$  будем обозначать номер полосы тега  $y$ . Например,  $F(y_i) \equiv i$ . Выделим из  $y_1, y_2, \dots, y_k$  монотонную по индексам подпоследовательность, т.е. подпоследовательность  $u_1, u_2, \dots, u_c$  такую, что соответствующие им номера инструкций тестового шаблона образуют монотонно возрастающую последо-



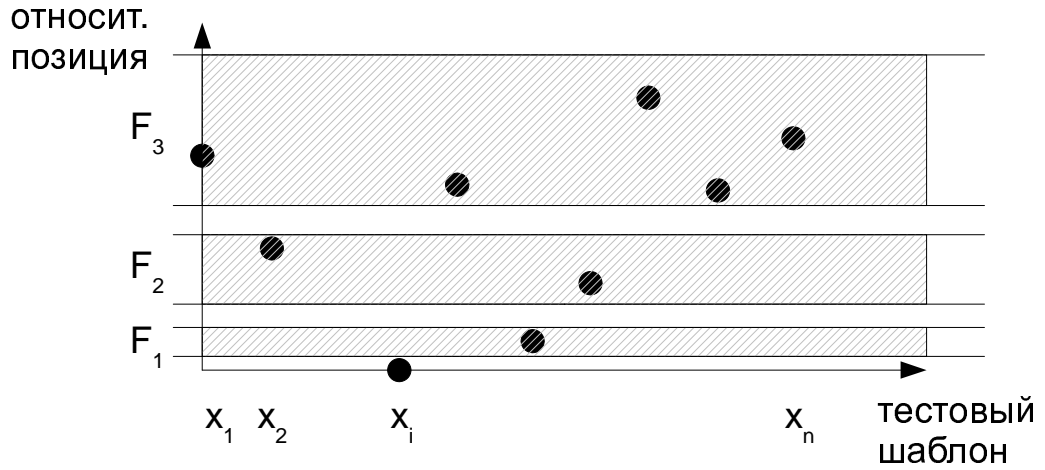


Рис. 3.14. К доказательству леммы 13

вательность и  $u_1 = y_1$ . Назовем эту подпоследовательность *полезной подпоследовательностью*. На рисунке 3.15 элементы этой подпоследовательности выделены кружком.  $y_2$  в данном случае не попал в эту подпоследовательность, потому что он расположен раньше  $y_1$ . Оставшаяся часть доказательства будет посвящена обоснованию того, что  $u_1, u_2, \dots, u_c$  и есть полезные инструкции.

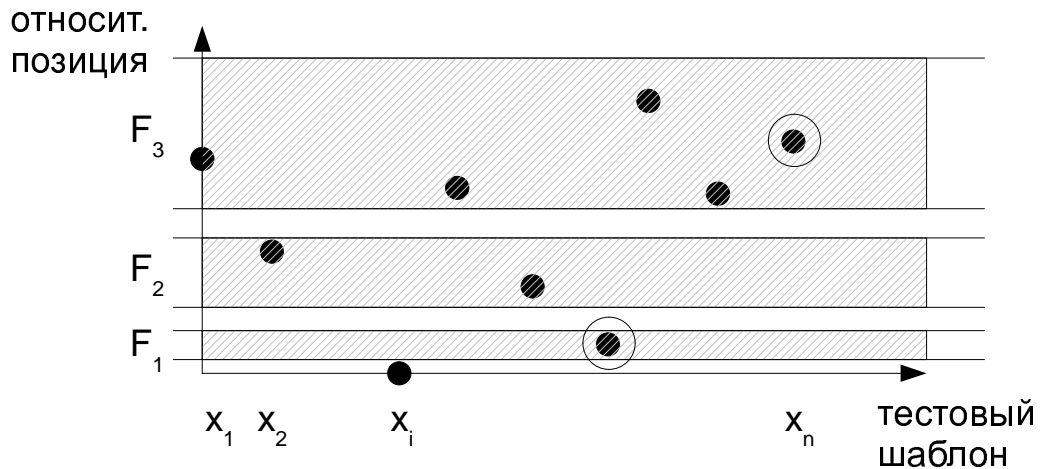


Рис. 3.15. К доказательству леммы 13

Покажем, что  $s$  есть количество черных вершин в ветви к моменту после  $x_n$ . Справедливо условие  $u_i \in [\frac{w}{2^k}, \frac{w}{2^{k-1}})$ , где  $k = F(u_i)$ . Следовательно, по теореме 7  $u_i$  красит в черный цвет  $W - k + 1$ 'й элемент ветви, а  $1, 2, \dots, W - k$ 'е – в белый. Так как после  $u_i$  не будет больше инструкций, перекрашивающих  $W - k + 1$ 'й элемент ветви в черный цвет (по построению  $u_i$ ), то  $u_i$  является последним тегом, который красит в черный цвет  $W - k + 1$ 'й элемент ветви. Пусть среди  $u_1, u_2, \dots, u_c$  отсутствует представитель какой-нибудь полосы,

например,  $k'$ й. Тогда всегда существует представитель более нижней полосы (поскольку для первой полосы всегда имеется представитель в полезной последовательности). Это означает, что этот более нижний представитель красит  $W - k + 1$ 'й элемент ветви в белый цвет и никакие другие инструкции не могут перекрасить этот элемент в черный цвет. Таким образом, показано взаимнооднозначное соответствие наличия в полезной последовательности представителя полосы и цвет соответствующего элемента ветви (черный в случае наличия представителя). Из этого будет следовать, что  $s$  и есть количество черных вершин в ветви.

Значит, при  $s < W$  тег не будет вытеснен, поскольку его ветвь будет содержать хотя бы один белый элемент.  $s$  есть количество тегов тестового шаблона  $x_i$ , входящих в полезную подпоследовательность. Т.е. количество  $x_i$ , для которых выполняется критерий попадания в полезную подпоследовательность. Обозначим этот критерий  $u(x_i)$ . Он равен 1 тогда и только тогда, когда  $x_i$  есть в полезной последовательности. Получаем, что  $s = \sum u(x_i)$ . Осталось показать, что этот критерий – и есть предложенная в формулировке теоремы функция полезности.

Действительно, если тег  $x_i$  попал в полезную последовательность, то по определению следующие за ним теги будут лежать в более высоких полосах. Т.е. для всех  $j > i$  ( $j \leq n$ )  $F(\delta_j) > F(\delta_i)$ , где  $\delta_j$  и  $\delta_i$  – относительные позиции тегов  $x_j$  и  $x_i$ . Условие сравнения  $F$  будет выполнено в том и только в том случае, когда множества  $[2^{W-k_i}, 2^{W-k_i+1})$  и  $[2^{W-k_j}, 2^{W-k_j+1})$ , где  $k_i = F(x_i)$ ,  $k_j = F(x_j)$ , не пересекаются. Т.е. существует такой  $k$ , что  $\delta_i < 2^k \leq \delta_j$ , что и есть по определению  $P(\delta_i, \delta_j)$ .

Осталось показать, что  $P(x, y)$  выполнено тогда и только тогда (т.е. что существует такой  $k$ , что  $x < 2^k \leq y$ , тогда и только тогда), когда  $(y > x \wedge y \oplus x > x)$ , где  $0 \leq x, y < w$ . Действительно, если выполнена левая часть, то количество старших нулей в  $y$  меньше количества старших нулей в  $x$ . Следовательно, в сумме по модулю 2  $y$  и  $x$  количество старших нулей будет равно минимуму количеств старших нулей в  $y$  и  $x$ , т.е. то, каково оно в  $y$ . Но поскольку оно меньше, чем в  $x$ , то  $y \oplus x > x$ . А  $y > x$  непосредственно следует из  $x < 2^k \leq y$ . В обратную сторону. Пусть количество старших нулей в  $y$  больше или равно количеству старших нулей в  $x$ . Если оно больше, то значения  $x$  и  $y$  разделяет число  $(0 \ 0 \dots 0 \ 1 \ 0 \ \dots 0)$ , в котором количество

старших нулей равно количеству старших нулей в  $x$ . Тем самым  $y < x$ . Если же количества старших нулей в  $x$  и  $y$  совпадают, то в  $x \oplus y$  будет как минимум на 1 больше старших нулевых бит, поскольку старшие единицы в  $x$  и  $y$  в сумме дали 0. Эквивалентность доказана.

Кроме того, в критерий  $u(x_i)$  надо добавить условие совпадения регионов  $R(x) = R(x_i)$ , поскольку вытеснение определяется только для тегов одного региона, и условие случившегося последнего обращения к  $x$ , что выражается формулой  $x \notin \{x_i, x_{i+1}, \dots, x_{m-1}\}$ .

Все эти рассуждения велись с целью описания свойства ветви после  $x_n$ . Значит, оно справедливо и для тех  $x_m$ , которые дают кэш-промах. Если хотя бы перед одним из них ветвь станет полностью черной, то тег  $x$  будет вытеснен. Значит, чтобы он не был вытеснен, надо чтобы для всех  $x_m$ , дающих кэш-промах,  $\sum_{i=1}^{m-1} u_m(x_i) < W$ .  $\square$

**Лемма 14.** Пусть  $x$  – тегсет текущей инструкции при стратегии вытеснения *Pseudo-LRU*. Тогда если  $x = \lambda \in L_0$  и  $x \notin \{x_1, x_2, \dots, x_n\}$ , где  $x_1, x_2, \dots, x_n$  – тегсеты предыдущих инструкций, то  $x$  не вытеснен к моменту текущей инструкции согласно каноническому определению *Pseudo-LRU* тогда и только тогда, когда для каждого  $x_m : \text{miss}$  ( $1 \leq m \leq n$ ) выполнено  $\sum_{i=1, \dots, W: \xi_i=1} v_m(\xi_i) + \sum_{i=1}^{m-1} u_m(x_i) < W$ , где  $W = \log_2 w$ ,  $(\xi_1 \ \xi_2 \ \dots \ \xi_W)$  – начальные цвета ветви, ведущей в  $\lambda$ , а  $u_m(x_i)$  (функция полезности) определена следующим образом:

$$u_m(x_i) \equiv (R(x_i) = R(x) \wedge \bigwedge_{j=i+1}^{m-1} P(\pi_i \oplus \pi, \pi_j \oplus \pi))$$

$$P(\delta_i, \delta_j) \equiv (\delta_j > \delta_i \wedge \delta_j \oplus \delta_i > \delta_i)$$

$$v_m(\xi_i) \equiv \bigwedge_{j=1}^{m-1} P(2^{W-i} \oplus \pi, \pi_j \oplus \pi)$$

*Доказательство.* Проводится аналогично доказательству леммы 13. Начальное состояние ветви моделируется «псевдотегами»  $\xi_1, \xi_2, \dots, \xi_W$ . Их относительные позиции равны соответственно  $(10\dots 0), (010\dots 0), \dots, (0\dots 01)$ , т.е.  $2^{W-1}, 2^{W-2}, \dots, 1$ .  $\square$

**Теорема 11** (корректность использования функций полезности для записи *Pseudo-LRU*). Тестовая программа, построенная по ограничениям, которые

сгенерированы с использованием предъявленных выше функций полезности, удовлетворяет своему тестовому шаблону.

*Доказательство.* Доказывается аналогично доказательству теоремы 10 с использованием доказанных ранее лемм. Для случаев кэш-промаха леммы формулируются как обратные к леммам про кэш-попадание, что обосновывает их истинность.  $\square$

### 3.3.4 Разрешение уравнений, описывающих стратегии вытеснения

Ограничения, которые предлагается генерировать для описания тестовых ситуаций в кэширующих буферах, можно разделить на две группы: ограничения на конечные множества тегсетов и *ограничения мощности*.

Ограничения вида  $C_1 \leq \sum_{i=1}^n a_i \leq C_2$ , где  $C_1, C_2$  – неотрицательные целые числа, а  $a_i$  принимают значения 0 или 1, называются *ограничениями мощности* (cardinality constraints) [35, 53, 59, 63]. Речь идет об ограничении размера некоторого множества элементов, возможно, заданного с помощью характеристической функции. В [35] проведено исследование способов записи ограничений мощности и показано, что от формы записи зависит эффективность разрешения этих ограничений. Например, ограничения мощности можно рассматривать, как компактную форму записи уравнения вида  $\bigvee_{C_1 \leq C \leq C_2} \sum_{i=1}^n a_i = C$ , где равенство есть

- тождественная ложь, если  $C < 0$  или  $C > n$ ;
- конъюнкция  $\bigwedge_{1 \leq i \leq n} (a_i = 0)$ , если  $C = 0$ ;
- дизъюнкция по всевозможным выборкам индексов  $i_1, \dots, i_C$ , где для каждого индекса  $i_k$  справедливы свойства  $1 \leq i_k \leq n$  и  $i_k < i_{k+1}$ , конъюнкций  $\bigwedge_{i_k} (a_{i_k} = 1)$ , если  $1 \leq C \leq n$ .

Задача организации особой процедуры разрешения ограничений не входила в проводимое исследование, поэтому были использованы имеющиеся инструменты решения систем уравнений и неравенств.

После устранения ограничений мощности в формуле остаются только ограничения на конечные множества тегсетов: принадлежности и непринадлежности тега конечному множеству тегсетов и равенства и неравенства битовых

полей тегсетов. Поскольку конечные множества тегсетов известны (заданы перечислением тегсетов, которые в входят в это множество), то ограничения принадлежности и не принадлежности могут быть переписаны без использования этих отношений. Отношение принадлежности  $x \in \{x_1, x_2, \dots, x_n\}$  может быть переписано в виде дизъюнкции  $(x = x_1) \vee (x = x_2) \vee \dots \vee (x = x_n)$ , а отношение не принадлежности  $x \notin \{x_1, x_2, \dots, x_n\}$  – в виде конъюнкции  $(x \neq x_1) \wedge (x \neq x_2) \wedge \dots \wedge (x \neq x_n)$ .

В результате получается предикат, в котором переменными величинами являются неотрицательные целые числа с конечной областью значений (тег-сеты), над переменными возможны операции получения битового поля, в предикате используется отношение равенства и неравенства над битовыми полями. Кроме того, этот предикат задается с использованием ограничений мощности.

Для разрешения такого рода предикатов можно было бы разрабатывать собственные процедуры распространения ограничений, но это свело бы на нет все усилия по выработке собственного представления стратегии вытеснения. Однако предлагаемые ограничения могут быть тривиальным образом выражены на языке теорий, для которых существуют эффективные разрешающие процедуры (битовые строки, неинтерпретируемые функции). Поэтому для записи и разрешения этих ограничений могут быть использованы SMT-инструменты [28].

## 3.4 Ограничения, описывающие тестовые ситуации в некоторых частных случаях, для стратегии вытеснения LRU

### 3.4.1 Тестовые шаблоны без кэш-промахов

В случае тестовых шаблонов, в которых нет кэш-промахов, нет ни вытесняющих, ни вытесняемых тегсетов. Поэтому в таких шаблонов уравнения для кэш-попаданий имеют очень простой вид:

$$\begin{cases} x \in D \\ \dots(\text{тестовые ситуации на остальные буферы}) \end{cases}$$

### 3.4.2 Тестовые шаблоны без кэш-попаданий

В случае тестовых шаблонов, в которых нет кэш-попаданий, надо генерировать ограничения для вытесняющих и лишь иногда для вытесняемых тегсетов. А именно, вытесняемый тегсет требуется лишь в том случае, когда кэш-промах вносит в кэширующий буфер ранее вытесненный тегсет. В этом случае для вытесняемого тегсета известен домен, что позволяет построить уравнения обозримого размера. Кроме того, поскольку отсутствуют кэш-попадания, повторные обращения к вытесняемым тегсетам (кроме кэш-промаха, который их может внести в кэширующий буфер) невозможны, что также упрощает генерируемые уравнения.

В результате получается, что вытесняющий тегсет описывается в тестовом шаблоне без кэш-попаданий следующей системой уравнений:

$$F'(x) \vee F''(x) \vee \bigvee_{\lambda_\delta \in D} F'''(x, \lambda_\delta)$$

где

$$F'(x) \equiv (x \notin D \wedge x \notin \{x_1, \dots, x_n\})$$

$$F''(x) \equiv (x \in \{x_1, \dots, x_n\} \wedge \sum_{i=1}^n u''(x_i) \geq w)$$

	случай	переменная перебора	система
кэш-попадание	тегсет находится в начальном состоянии буфера и он всё ещё не вытеснен	$\lambda_\delta \in D$	$\begin{cases} x = \lambda_\delta \\ \sum_{i=1}^n u(x_i) \leq w - \delta \end{cases}$
	тегсет уже встречался в шаблоне	—	$x \in \{x_1, \dots, x_n\}$
кэш-промах	тегсет встречается впервые	—	$\begin{cases} x \notin D \\ x \notin \{x_1, \dots, x_n\} \end{cases}$
	тегсет находился в начальном состоянии буфера и был вытеснен	$\lambda_\delta \in D, \delta \geq w - n + 1$	$\begin{cases} x = \lambda_\delta \\ x \notin \{x_1, \dots, x_n\} \\ \sum_{i=1}^n u(x_i) > w - \delta \end{cases}$

$$u(x_i) \equiv \begin{cases} x_i \in \{\lambda_{\delta+1}, \dots, \lambda_w\} \wedge x_i \notin \{x_1, \dots, x_{i-1}\}, \text{ если } S_i = \text{hit} \\ R(x_i) = R(x), \text{ если } S_i = \text{miss} \end{cases}$$

Таблица 3.1. Таблица систем уравнений для тестовых ситуаций в кэширующих буферах для коротких тестовых шаблонов в случае стратегии вытеснения LRU

$$u''(x_i) \equiv (x \notin \{x_i, \dots, x_n\} \wedge R(x_i) = R(x))$$

$$F'''(x, \lambda_\delta) \equiv (x = \lambda_\delta \wedge x \notin \{x_1, \dots, x_n\} \wedge \sum_{i=1}^n (R(x_i) = R(x)) \geq w - \delta + 1)$$

### 3.4.3 Короткие тестовые шаблоны

Будем называть тестовый шаблон *коротким*, если в нем не более  $w$  инструкций обращения к памяти. Очевидно, что любой короткий тестовый шаблон является простым. Из 7 случаев для коротких тестовых шаблонов остается всего 5 (первые два можно еще объединить в более компактную систему уравнений).

**Теорема 12** (корректность использования функций полезности для записи LRU в коротких тестовых шаблонах). *Тестовая программа, построенная по ограничениям, которые сгенерированы с использованием предъявленных*

в таблице 3.1 функций полезности, удовлетворяет своему короткому тестовому шаблону.

*Доказательство.* Для короткого шаблона, как и для любого другого, справедлива теорема 10 и таблица А.2. Однако не все выделенные в них ситуации в коротких шаблонах возможны. Поскольку в коротком шаблоне не может быть более  $w$  инструкций обращения к памяти, то и количество полезных инструкций не может быть более  $w$ . Значит, подформулы  $\sum u(x_i) \geq w$  являются тождественно ложными, а подформулы  $\sum u(x_i) < w$  — тождественно истинными. Таким образом, пятая и седьмая строчки таблицы А.2 не попадут в таблицу для коротких шаблонов, а из второй и третьей строчек нужно исключить неравенство с суммой функций полезности (в этих строчках функции полезности не нужны вовсе).

Дизъюнкция получившихся первых трех строк системы выглядит следующим образом:

$$\left[ \begin{array}{l} \left\{ \begin{array}{l} x = \lambda_\delta \\ x \notin \{x_1, x_2, \dots, x_n\} \\ \sum_{i=1}^n u(x_i) \leq w - \delta \end{array} \right. \\ \left\{ \begin{array}{l} x = \lambda_\delta \\ x \in \{x_1, x_2, \dots, x_n\} \end{array} \right. \\ x \in [x_1, x_2, \dots, x_n]_{\text{miss}} \end{array} \right.$$

что эквивалентно следующей системе:

$$\left[ \begin{array}{l} \left\{ \begin{array}{l} x = \lambda_\delta \\ \sum_{i=1}^n u(x_i) \leq w - \delta \end{array} \right. \\ \left\{ \begin{array}{l} x = \lambda_\delta \\ x \in \{x_1, x_2, \dots, x_n\} \end{array} \right. \\ x \in [x_1, x_2, \dots, x_n]_{\text{miss}} \end{array} \right.$$

Покажем, что справедливо следующее эквивалентное преобразование:

$$\left[ \begin{array}{l} \left\{ \begin{array}{l} x = \lambda_\delta \\ x \in \{x_1, x_2, \dots, x_n\} \end{array} \right. \\ x \in [x_1, x_2, \dots, x_n]_{\text{miss}} \end{array} \right. \Leftrightarrow x \in \{x_1, x_2, \dots, x_n\}$$



Обозначим,  $\alpha \equiv (x = \lambda_\delta)$ ,  $\beta \equiv (x \in [x_1, x_2, \dots, x_n]_{\text{hit}})$ ,  $\gamma \equiv (x \in [x_1, x_2, \dots, x_n]_{\text{miss}})$ . Тогда надо доказать следующую эквивалентность:  $\alpha(\beta \vee \gamma) \vee \gamma \equiv \beta \vee \gamma$ . Для начала упростим ее с помощью эквивалентных преобразований:  $\alpha(\beta \vee \gamma) \vee \gamma \equiv \beta \vee \gamma \Leftrightarrow \alpha\beta \vee \gamma \equiv \beta \vee \gamma \Leftrightarrow (\alpha\beta \vee \gamma)(\beta \vee \gamma) \vee \neg(\alpha\beta \vee \gamma)\neg(\beta \vee \gamma) \Leftrightarrow (\alpha\beta \vee \gamma) \vee (\neg\alpha \vee \neg\beta)\neg\gamma\neg\beta \Leftrightarrow (\alpha\beta \vee \gamma) \vee \neg\gamma\neg\beta \Leftrightarrow \alpha \vee \gamma \vee \neg\beta$ .

Итак, эквивалентность будет показана, если будет доказано, что:

$$\begin{cases} x = \lambda_\delta \\ x \in [x_1, x_2, \dots, x_n]_{\text{miss}} \\ x \notin [x_1, x_2, \dots, x_n]_{\text{hit}} \end{cases}$$

Из теоремы 10 следует, что  $x \in L_0 \vee x \in [x_1, x_2, \dots, x_n]_{\text{miss}}$ , из чего следует и требуемая эквивалентность.

Таким образом, если при обращении к  $x$  происходит кэш-попадание, то для  $x$  справедливы следующие условия:

$$\begin{cases} \begin{cases} x = \lambda_\delta \\ \sum_{i=1}^n u(x_i) \leq w - \delta \end{cases} \\ x \in \{x_1, x_2, \dots, x_n\} \end{cases}$$

□

### 3.4.4 Генерация тестовых данных для кэш-памяти, содержащей «грязные» ячейки

Любая ячейка в кэш-памяти может быть помечена *грязной* (*invalid*). Это означает, что данные, находящиеся в кэширующем буфере по этому адресу, не могут использоваться в качестве данных, хранящихся в памяти по этому адресу.

Рассмотренные ранее в этой работе случаи не учитывали грязные ячейки кэширующем буфере, хотя они зачастую присутствуют в микропроцессоре после его запуска – с таким состоянием кэширующего буфера работают первые после запуска микропроцессора инструкции.

Кэш-попадание возникает в том случае, когда требуемые данные присутствуют среди «чистых» ячеек кэширующего буфера. Кэш-промах возникает

в том случае, когда требуемых данных нет среди «чистых» ячеек. Причем при наличии «грязных» ячеек вытеснения может и не произойти. А именно, если все ячейки набора, с которым работает инструкция, являются «чистыми», то происходит вытеснение согласно стратегии вытеснения, остальные наборы не меняются. Если же среди ячеек набор есть «грязные» ячейки, то вытеснение не происходит, а на место одной из «грязных» ячеек помещаются данные из основной памяти по заданному адресу и ячейка объявляется «чистой». Остальные ячейки не меняются. В стратегии вытеснения LRU эта бывшая «грязная» ячейка становится самой новой.

Для генерации тестовых данных для кэширующих буферов с грязными ячейками предлагается применять ограничения с функциями полезности. Примечательно, что наличие грязных ячеек не меняет качественно систему уравнений.

В данном разделе рассматривается случай, когда начальное состояние микропроцессора известно. Кроме того, рассматриваемый случай учитывает отсутствие инструкций в тестовом шаблоне, которые превращали бы «чистые» ячейки в «грязные» (т.е. все такие изменения должны делаться явно вне тестовых шаблонов).

### **случай полностью-ассоциативного кэширующего буфера**

В случае полностью-ассоциативных кэширующих буферов очевидно, что первые кэш-промахи будут заполнять «грязные» ячейки. Пусть  $N$  – количество «грязных» ячеек в начальном состоянии кэширующего буфера, а  $L_0$  – начальное состояние (выражение) кэширующего буфера (только «чистые» ячейки). Тогда для тестовых ситуаций надо генерировать такие ограничения ( $L$  – выражение для состояния кэширующего буфера перед исполнением инструкции,  $L'$  – выражение для состояния кэширующего буфера после исполнения инструкции):

- для *кэш-попадания*  $\text{hit}(x)$  генерируются ограничения

$$\begin{cases} x \in L \\ L' \equiv L \end{cases}$$

- для *кэш-промаха*  $\text{miss}(x)$ , если это один из первых  $N$  кэш-промахов,

генерируются ограничения:

$$\begin{cases} x \notin L \\ L' \equiv L \cup \{x\} \end{cases}$$

- для *кэш-промаха*  $\text{miss}(x)$ , являющегося по счету более чем  $N$ -м кэш-промахом тестового шаблона, генерируются ограничения:

$$\begin{cases} x \notin L \\ x' \in L \\ L' \equiv L \setminus \{x'\} \cup \{x\} \\ \text{displaced}(x', L) \end{cases}$$

Предикат  $\text{displaced}(x', L)$  истинен, если  $x'$  является вытесняемым тегом в текущем состоянии кэширующего буфера  $L$ . Для стратегии вытеснения LRU этот предикат может быть записан с использованием тех же диапазонов вытеснения, что и для кэширующего буфера без «грязных» ячеек (см.п. 3.2.1). А именно, диапазон вытеснения начинается на инструкции, которая последний раз перед вытеснением тега обращается к нему. Тогда между этой инструкцией и инструкцией, вытесняющей  $x$ , должны быть обращения ко всем остальным тегам текущего состояния кэширующего буфера. Эта логика может быть записана в виде тех же уравнений, что и в пункте 3.2.1. Нетрудно проверить, что для кэширующего буфера с «грязными» ячейками остается справедливой лемма о невложенных диапазонах вытеснения, что доказывает корректность использования ограничений из пункта 3.2.1 для кэширующего буфера с «грязными» ячейками.

### **случай наборно-ассоциативного кэширующего буфера**

В этом пункте будет показано, что ограничения для кэширующего буфера, начальное состояние которого содержит «грязные» ячейки, качественно не отличаются от ограничений для кэширующего буфера без «грязных» ячеек.

Аналогично тому, как это делалось для кэширующих буферов без «грязных» ячеек, для тестовых ситуаций на кэширующие буферы с «грязными» ячейками тоже возможно следующее исчерпывающее выделение случаев:

- кэш-попадание тега:

1. данный тег находился в начальном состоянии кэширующего буфера и не был вытеснен к моменту данной инструкции;
2. данный тег был внесен в кэширующий буфер одной из инструкций кэш-промаха и с тех пор не был вытеснен;

- кэш-промах тега:

1. данный тег не встречался ранее (не находился в начальном состоянии кэширующего буфера и не был внесен какими-либо кэш-промахами);
2. данный тег был ранее вытеснен из кэширующего буфера и с тех пор не был внесен в кэширующий буфер вновь.

Соответствующие ограничения приведены в таблице А.4.

В таблице А.4 символ  $\Delta$  означает количество «чистых» ячеек в начальном состоянии того региона, про который идет речь в уравнении. На самом деле  $\Delta$  есть функция региона ( $\Delta = \Delta(\lambda_\delta)$ ), но для сокращения записи оставлен только функциональный символ. Кроме того, в приведенных уравнениях домен переменной включает только «чистые» ячейки.

Сходства уравнений (со случаем кэширующих буферов без «грязных» ячеек) удалось добиться за счет рассмотрения «грязных» ячеек, как ячеек с наименьшим счетчиком LRU, которые не участвуют в определении нахождения тега в кэширующих буферах. Поэтому в функциях полезности участвуют множества не  $\{\lambda_{\delta+1}, \dots, \lambda_w\}$ , а множества  $\{\lambda_{\delta+1}, \dots, \lambda_\Delta\}$ . Все «чистые» ячейки получили первые индексы, т.е. индексы всех от 1 до  $\Delta$ .

Для приведенных ограничений также могут быть применены эвристики, сокращающие их количество, которые были упомянуты для кэширующих буферов без «грязных» ячеек. Кроме того, в данном случае возможна дополнительная эвристика *ограничение на  $\delta$* : если  $\delta + 1 < \Delta$ , то функция полезности, в которую входит множество  $\{\lambda_{\delta+1}, \dots, \lambda_\Delta\}$ , равна 0.

### 3.4.5 Функции полезности для зеркальной генерации тестовых данных

Рассмотрим ограничения, генерируемые для тестовых шаблонов зеркальным методом с использованием функций полезности. По сравнению с представленными ограничениями (см. табл. А.2) зеркальная генерация имеет свои особенности:

1. множества констант (как, например,  $L, D$ ) не используются, поэтому в ограничениях будут отсутствовать соответствующие им случаи;
2. так как теги инструкций тестового шаблона должны появиться среди инициализирующей последовательности, то для вытеснения требуется  $w - 1$  инструкций, где  $w$  – ассоциативность кэширующего буфера;
3. учет полезных инструкций начинается уже в инициализирующей последовательности, тем самым необходимо сформулировать функцию полезности для инициализирующих инструкций.

Следующая теорема описывает функцию полезности для инициализирующих инструкций и описывает ограничения, генерируемые для тестовых шаблонов зеркальным методом с использованием функций полезности (количество инициализирующих инструкций зафиксировано, оно будет обозначено параметром  $m$ ):

**Теорема 13** (Корректность ограничений, генерируемые зеркальным методом с использованием функций полезности для LRU). Пусть  $t_1, t_2, \dots, t_m$  – теги инициализирующей последовательности,  $x$  – текущий тег тестового шаблона,  $x_1, x_2, \dots, x_n$  – теги предыдущих инструкций тестового шаблона, причем  $x \in \{t_1, \dots, t_m, x_1, \dots, x_n\}$  и  $\{t_1, \dots, t_m\}$  – все разные. Тогда  $x$  не вытеснен согласно определению на списках тогда и только тогда, когда

$$\sum_{i=1}^m \tilde{u}_x(t_i) + \sum_{i=1}^n u_x(x_i) < w$$

где функции полезности определены следующим образом:

$$\tilde{u}_x(t_i) \equiv (x \notin \{t_i, \dots, t_m, x_1, \dots, x_n\} \wedge R(x) = R(t_i))$$

$$u_x(x_i) \equiv (x \notin \{x_i, \dots, x_n\} \wedge R(x) = R(x_i)), \text{ если } S_i = \text{miss}$$

$$u_x(x_i) \equiv (x \notin \{x_i, \dots, x_n\} \wedge R(x) = R(x_i) \wedge \sum_{j=1}^m \tilde{c}_{x_i}(t_j) = 0 \wedge \sum_{j=1}^{i-1} c_i(x_j) = 0),$$

$$\text{если } S_i = \text{hit}$$

$$c_i(x_j) \equiv (x \notin \{x_j, \dots, x_{i-1}\} \wedge x_i = x_j)$$

$$\tilde{c}_{x_i}(t_j) \equiv (x \notin \{t_j, \dots, t_m, x_1, \dots, x_{i-1}\} \wedge x_i = t_j)$$

*Доказательство.* Воспользуемся леммой 9. При этом в качестве последовательности тегов тестового шаблона в этой лемме рассмотрим последовательность  $t_1, t_2, \dots, t_m, x_1, x_2, \dots, x_n$ . Согласно лемме тестовая ситуация на  $x$  выполнена при соответствующем условии на сумму функций полезности от элементов этой последовательности. Функции полезности для  $x_1, x_2, \dots, x_n$  без изменений переходят из формулировки леммы 9 в данную теорему. Функцию полезности для  $t_1, t_2, \dots, t_m$  из формулировки леммы 9 получить нельзя, поскольку неизвестна тестовая ситуация на эти теги. Однако, вспомнив определение полезной инструкции, функцию полезности для этих тегов получить несложно. А именно, тег  $t_i$  будет полезным, если он продвигает  $x$  к концу списка LRU после последнего обращения к  $x$ . Если после последнего обращения к  $x$  сам тег  $t_i$  встречается впервые, то он будет полезным (см. доказательство леммы 9). Если же после последнего обращения к  $x$   $t_i$  встречается не в первый раз, то он не двигает  $x$  к концу списка, что, тем самым, означает бесполезность  $t_i$ . Но поскольку все  $t_i$  разные, то повторное обращение возможно лишь среди  $x_1, x_2, \dots, x_n$  — поэтому в функцию полезности для этих тегов добавлено отличие от  $t_1, t_2, \dots, t_m$ .  $\square$

Из теоремы 13 следует система уравнений для описания тестовой ситуации  $S$  тега  $x$ , генерируемая зеркальным методом с использованием функций полезности для LRU (функции полезности приведены в формулировке теоремы 13):

- если  $S = \text{hit}$ , то

$$\begin{cases} x \in \{t_1, \dots, t_m, x_1, \dots, x_n\} \\ \sum_{i=1}^m \tilde{u}_x(t_i) + \sum_{i=1}^n u_x(x_i) < w \\ \{t_1, \dots, t_m\} - \text{все разные} \end{cases}$$

- если  $S = \text{miss}$ , то

$$\begin{cases} x \in \{t_1, \dots, t_m, x_1, \dots, x_n\} \\ \sum_{i=1}^m \tilde{u}_x(t_i) + \sum_{i=1}^n u_x(x_i) \geq w \\ \{t_1, \dots, t_m\} - \text{все разные} \end{cases}$$

Стоит заметить, что функции полезности добавили новое дополнительное условие на теги инициализирующих инструкций: они должны быть различными. В этом выражается свойство «простоты» инициализирующей последовательности, эта последовательность не должна содержать сложной внутренней последовательности изменений состояния кэширующего буфера.

### 3.4.6 Зеркальный метод генерации ограничений для кэш-памяти первого и второго уровня

Рассмотрим один часто встречающийся случай кэширующих буферов, инициализация которого может вызывать трудности. Речь идет о кэш-памяти второго уровня. Зачастую кэш-память второго уровня не может быть инициализирована отдельно от остальных подсистем микропроцессора, обычно оно связано с изменением кэш-памяти первого уровня. Это создает дополнительные сложности при формулировании ограничений методом зеркальной генерации, поскольку инициализирующая последовательность должна подготавливать сразу два кэширующих буфера одновременно – кэш-память первого уровня и кэш-память второго уровня. Кроме того, зачастую кэш-память второго уровня является совместной для хранения в ней данных и инструкций. Поэтому на инициализацию кэш-памяти второго уровня влияют и сами инициализирующие инструкции, и даже адрес расположения тестовой программы в памяти (от него зависит виртуальный адрес инструкций, а значит теги и индексы при обращении к кэш-памяти инструкций).

Если принять дополнительное требование (и оно даст решение), что в кэш-памяти второго уровня наборы, используемые для доступа к инструкциям, не пересекаются с наборами, используемыми для доступа к данным, то генерируемые ограничения упрощаются (кэширование инструкций можно вообще не учитывать). С точки зрения зеркальной генерации это означает, что на-

до сформулировать требования на инициализирующую последовательность. Напомню, что одним из ключевых требований является произвольность начального состояния (содержимого) кэш-памяти.

Предположим, что обращение к кэш-памяти второго уровня осуществляется при кэш-промахе в кэш-памяти первого уровня и кэш-память не является *virtually indexed virtually tagged* [43]. Для составления ограничений с использованием функций полезности необходимо знать, которые инструкции среди инициализирующей последовательности действительно обращаются в кэш-память второго уровня (иными словами, в каких инструкциях среди инициализирующей последовательности происходит кэш-промах при обращении к кэш-памяти первого уровня). Возможным решением было бы перебирать всевозможные распределения тестовых ситуаций в кэш-памяти первого уровня на элементах инициализирующей последовательности (с предварительной подготовкой этих тестовых ситуаций). Однако следующая лемма 15 показывает, что для любого такого произвольного распределения тестовых ситуаций в кэш-памяти первого уровня существует решение со специальным распределением тестовых ситуаций. Это позволяет перебирать только такие специальные распределения тестовых ситуаций в кэш-памяти первого уровня. При этом вычислительная сложность процедуры поиска инициализирующей последовательности, дающей решение, изменяется от экспоненциальной от длины тестового шаблона к полиномиальной, что показывает лемма 16

**Лемма 15** (О существовании специальной инициализации кэш-памяти). *Если для данного тестового шаблона  $(S_i, x_i)$ , где  $i = 1, 2, \dots, n$ ,  $S_i \in \{l1Hit, l1Miss, l2Hit, l1Miss, l2Miss\}$ ,  $x_i$  – тегсет, существует некоторое решение  $v_1, v_2, \dots, v_n$ , то для этого решения существует последовательность инициализирующих тегсетов, удовлетворяющая ограничениям, построенным согласно зеркальному методу. Инициализирующая последовательность состоит из двух подпоследовательностей  $s_1, s_2, \dots, s_k, p_1, p_2, \dots, p_h$ , где последовательность  $s_1, s_2, \dots, s_k, p_1, p_2, \dots, p_h$  состоит из различных тегсетов, при обращении к тегсетам  $p_1, \dots, p_h$  происходят кэш-промахи в кэш-памяти первого уровня, последовательность тегсетов  $s_1, \dots, s_k$  обеспечивают выполнение тестовых ситуаций для  $p_1, p_2, \dots, p_h$ .*

*Доказательство.* Из доказательства теоремы 5 следует, что для некоторых



стратегий вытеснения можно выбрать последовательность различных тегсетов, которые полностью заменят нужные наборы. Соответственно, последовательность  $s_1, s_2, \dots, s_k$  выберем таким образом, чтобы она перезаполнила все содержимое наборов в тех регионах, которые задействованы для кэш-памяти первого уровня среди  $v_1, v_2, \dots, v_n$ . Из этого следует, что дальнейшие различные тегсеты не могут давать кэш-попадание (поскольку до них не менее  $w_1$  различных тегсетов). Значит, последовательность  $p_1, p_2, \dots, p_h$  будет целиком состоять из неуспешных обращений к кэш-памяти первого уровня.

Поскольку разным тегсетам в первом уровне соответствуют разные тегсеты во втором уровне (иначе тегсеты были бы одинаковые), то для последовательности тегсетов  $p_1, p_2, \dots, p_h$  снова применима теорема 5, но уже для кэш-памяти второго уровня. С помощью нужного количества обращений в эту память, согласно этой теореме, можно добиться выполнения тестовых ситуаций на кэш-память второго уровня, используя зеркальный метод построения ограничений.  $\square$

**Лемма 16** (Верхняя оценка длины специальной инициализирующей последовательности для стратегии вытеснения LRU).

$$0 \leq k \leq n \cdot w_1$$

$$0 \leq h \leq n \cdot (w_1 + w_2 + 2)$$

где  $w_1$  – ассоциативность кэш-памяти первого уровня,  $w_2$  – ассоциативность кэш-памяти второго уровня,  $n$  – количество инструкций тестового шаблона.

*Доказательство.* Очевидно, что для полной замены одного региона в кэш-памяти первого уровня в случае стратегии вытеснения LRU достаточно  $w_1$  инструкций. Значит,  $k = r_1 \cdot w_1$ , где  $r_1$  – количество различных регионов кэш-памяти первого уровня среди тегсетов тестового шаблона.

Поскольку обычно битовая длина сета в тегсете для кэш-памяти второго уровня больше битовой длины сета для кэш-памяти первого уровня, то равенство регионов кэш-памяти второго уровня влечет за собой равенство регионов кэш-памяти первого уровня. Значит, весь тестовый шаблон можно разбить на независимые подшаблоны с одинаковым сетом тегсета в кэш-

памяти первого уровня, которые внутри поделены на подшаблоны с одинаковым сетом тегсета в кэш-памяти второго уровня (обозначим количество таких подшаблонов  $r_2(x)$ , где  $x$  – сет в кэш-памяти первого уровня). Для подготовки каждого внутреннего подшаблона нужно не более  $w_2 + 1$  инструкции (см. доказательство теоремы 6). Для подготовки подшаблона кэш-памяти первого уровня тоже надо не более  $w_1 + 1$  инструкций. Таким образом,  $h = \sum_x (r_2(x)(w_2 + 1) + w_1 + 1)$ , где суммирование ведется по всем регионам кэш-памяти первого уровня, задействованным в тестовом шаблоне. Упростим эту формулу:  $h = ((w_2 + 1) \sum_x r_2(x)) + (w_1 + 1) \sum_x 1 = r_2(w_2 + 1) + r_1(w_1 + 1)$ .

Поскольку  $r_1 \leq n$  и  $r_2 \leq n$ , то получаем окончательно, что  $k = r_1 \cdot w_1 \leq n \cdot w_1$  и  $h = r_2 \cdot (w_2 + 1) + r_1 \cdot (w_1 + 1) \leq n \cdot (w_1 + w_2 + 2)$ .  $\square$

**Следствие.**

$$m = O(n)$$

где  $m$  — длина специальной инициализирующей последовательности,  $n$  — количество инструкций тестового шаблона.

Для получения инициализирующей программы минимальной длины, можно применять сначала двоичный поиск суммы  $k + h$  с применением дальнейшего поиска допустимых значений  $k$  и  $h$ .

## Глава 4

# Программная реализация

### 4.1 Структура генератора тестовых программ

В главе описывается система генерации тестовых программ на основе тестовых шаблонов. Входными данными системы являются:

- тестовый шаблон;
- описания тестовых ситуаций;
- начальное состояние микропроцессора;
- дополнительные параметры конфигурации.

Выходом системы является тестовая программа, удовлетворяющая тестовому шаблону с учетом данных описаний тестовых ситуаций и начального значения микропроцессора. Ядром системы является *генератор ограничений* (см. рис. 4.1). Ограничения разрешаются другим компонентом системы – *решателем ограничений*. Модель, построенную решателем ограничений, анализирует *генератор инструкций тестовой программы*, с целью построить готовую тестовую программу.

На рис. 4.2 показано сравнение предлагаемого генератора тестовых программ с известным генератором Genesys-Pro [45]. Оба генератора получают на вход тестовый шаблон, а на выходе у них тестовые программы.

Genesys-Pro на вход требует architectural model и testing knowledge – первая дает по сути эталонный симулятор микропроцессора (задает операционную семантику инструкций и модель состояния микропроцессора), а второй

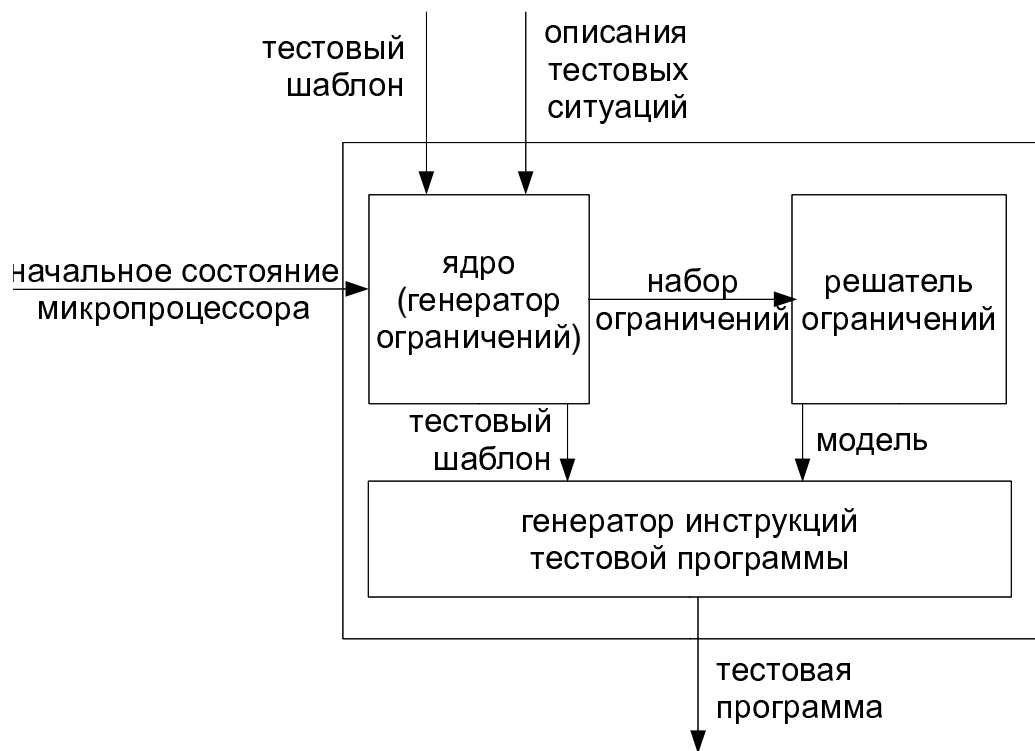


Рис. 4.1. Структура системы генерации тестовых программ

описывает эвристики выбора аргументов для инструкции. Genesys-Pro чётко разделяет свойства аргументов инструкции и свойства результата инструкции, соотношение между ними задается не с помощью ограничений (т.е. не декларативным способом), а в виде алгоритма (т.е. императивным способом). Genesys-Pro не предполагает систематического описания семантики инструкций, выделения ветвей их функциональности, описания программных контрактов инструкций. Симулятор нужен для построения модельного состояния микропроцессора после исполнения очередной сгенерированной инструкции, а эвристики выбора аргументов составляют основу тех ограничений, которые описывают значения аргументов очередной инструкции.

Другой особенностью Genesys-Pro является то, что поддерживаемые им тестовые шаблоны зачастую не фиксируют последовательность инструкций (это позволяет строить более простые ограничения, потому как генерируемая последовательность инструкций может по ходу генерации подстраиваться под уже сгенерированные инструкции со сгенерированными значениями аргументов, под состояние микропроцессора, в которое привели сгенерированные инструкции).

Выразительный язык Genesys-Pro для описания ограничений однако содержит такие нетривиальные конструкции, как явное использование элемен-

тов массивов данных, что требует для разрешения продвинутый решатель CSP, в том числе и заточенный под особенности генерации тестовых данных для тестовых шаблонов (как минимум такие ограничения могут включать битовые операции). Подобный решатель был разработан в IBM для инструмента Genesys-Pro [74]. Однако создание такого решателя – отдельное сложное исследование, которое не входило в цели данного исследования. В данной работе было принято решение использовать доступные существующие решатели (не обязательно CSP) и сосредоточиться на упрощении генерируемых ограничений для некоторых частных случаев архитектур.

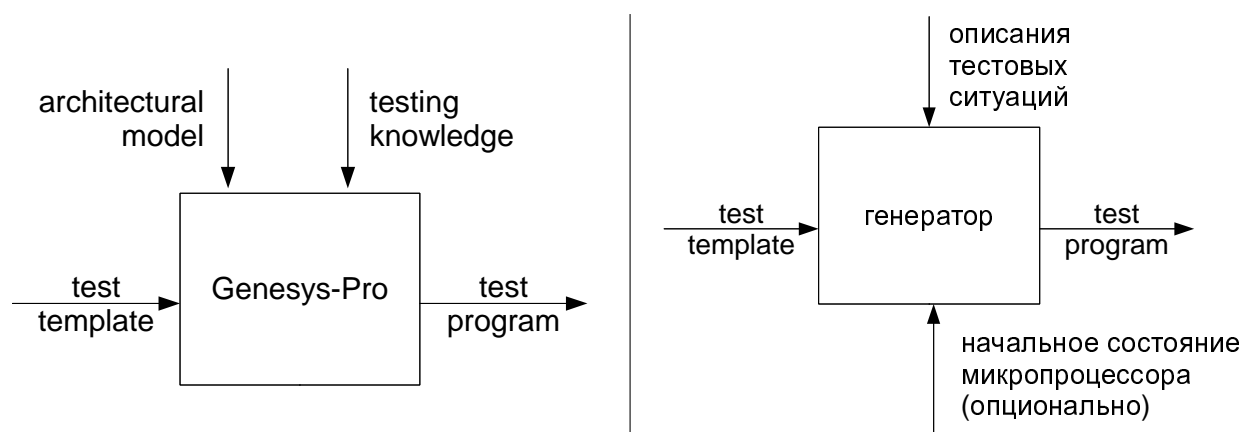


Рис. 4.2. Сравнение с Genesys-Pro

В отличие от Genesys-Pro в предлагаемом инструменте описание семантики инструкций задается в едином виде – в виде описаний тестовых ситуаций [7, 48]. Каждая тестовая ситуация описывает не только ограничение на свои аргументы, но и результат исполнения инструкции *при данном ограничении на аргументы* инструкции декларативным образом. В функции, которую реализует инструкция, выделяются отдельные *ветви функциональности*, ситуации различного поведения инструкций, каждая ветвь функциональности становится отдельной тестовой ситуацией. Например, инструкция целочисленного сложения ADD может быть исполнена либо точно, либо с возникновением переполнения. Поэтому у этой инструкции можно выделить 2 ветви функциональности (точное исполнение и исполнение с переполнением), каждая ветвь дает свою тестовую ситуацию. Кроме того, предлагаемый генератор дает возможность указать начальное состояние микропроцессора, которое будет эффективно использовано при построении тестовой программы. Последовательность инструкций фиксирована и задается в тестовом шаблоне.

Описания тестовых ситуаций можно составлять по следующей схеме:

1. выделить тестируемые инструкции;
2. найти описание семантики выбранных инструкций (обычно оно входит в документацию по тестируемой архитектуре);
3. для каждой инструкции выделить:
  - аргументы: имена и битовые длины;
  - предусловие (ограничение на значения аргументов инструкции, при которых она может быть результативно исполнена);
  - ветви функциональности инструкции (ситуации различного поведения инструкции);
4. для каждой ветви функциональности составить описание тестовой ситуации, поместив туда объявления аргументов, предусловие и операторы, описывающие поведение инструкции на данной ветви функциональности, т.е. вычисление выходного значения инструкции или создание условий возникновения исключительной ситуации.

Раздел 4.2 содержит описание предлагаемого языка описания тестовых шаблонов и тестовых ситуаций, пригодный для описания инструкций арифметической, логической подсистем, подсистемы обращения к памяти, инструкции переходов.

## 4.2 Описание тестовых шаблонов

Описание тестового шаблона состоит из следующих секций:

1. *заголовок шаблона*: объявление регистров и констант;
2. *тело шаблона*: инструкции и ограничения тестового шаблона.

Заголовок шаблона должен содержать объявления всех задействованных в тестовом шаблоне регистров (для каждого регистра указывается его имя и битовая длина) и констант (или по-другому, «непосредственных значений» — для каждой константы так же указывается ее имя и битовая длина). Регистр может использоваться в качестве аргумента-результата инструкции, константа не может использоваться в качестве аргумента-результата инструкции.

Регистры и константы сохраняют свою битовую длину на протяжении всего тестового шаблона. Генератор ограничений трактует регистр как переменную со значением и генерирует начальное значение такой переменной, при которой выполнены все заявленные в тестовом шаблоне тестовые ситуации. Обычно для инициализации регистра достаточно одной-двух инструкций (это зависит от количества бит, которое может изменить одна инструкция). Константа трактуется как значение, которое не меняется. Для нее тоже генерируется значение и при составлении тестовой программы оно вставляется непосредственно на место аргумента инструкций.

Пример объявления регистра и константы:

```
<register id="z" length="64" />
<constant id="c" length="16" />
```

Тело тестового шаблона состоит из описаний инструкций и ограничений. Для инструкции необходимо указать:

- имя инструкции;
- аргументы инструкции (объявленные ранее регистры или константы);
- внешние переменные инструкции;
- тестовую ситуацию.

Тестовые ситуации на косвенные обращения не рассматриваются, поэтому в описания тестовых шаблонов не включены механизмы описания косвенных обращений.

*Механизм внешних переменных* инструкции позволяет формулировать ограничения на локальные переменные, определенные в разных тестовых ситуациях. При объявлении новой локальной переменной кроме имени можно указать идентификатор (имя надо указывать обязательно, а идентификатор – необязательно). Все идентификаторы внутри тестовой ситуации должны быть уникальными. Это может быть виртуальный адрес, физический адрес, некое внутреннее выражение. Если тестовая ситуация является составной, то все тестовые ситуации должны определять выносимые на уровень тестового шаблона идентификаторы. На уровне тестового шаблона идентификатору ставится в соответствие некоторое новое уникальное внутри шаблона имя,

которое можно использовать наравне с другими переменными (регистрами или константами).

Тестовая ситуация описывает некоторое поведение инструкции. Обычно можно выделить два типа поведений инструкции: существенное исполнение (вычисление значения, осуществление взаимодействия) и генерация исключения. При существенном исполнении тестовая ситуация описывает предусловие инструкции и набор условий и вычислений, определяющих данное поведение инструкции. При исполнении с генерацией исключения описывается предусловие инструкции и набор условий и вычислений, приводящих к возникновению исключения. Само возникновение исключения, как оператор, не описывается.

Тестовая ситуация состоит из набора *ветвей* – простейших поведений инструкции. Ветви могут *комбинироваться* в дизъюнкции и конъюнкции. Дизъюнкция ветвей (или их комбинаций) означает, что в данный момент инструкция может себя вести согласно хотя бы одной из ветвей. Конъюнкция ветвей (или их комбинаций) означает, что в данный момент инструкция может себя вести согласно всем ветвям одновременно. Объединенные в конъюнкцию ветви не могут иметь существенное исполнение.

Пример тестовой ситуации ветви:

```
<situation>
  <branch name="overflow" />
</situation>
```

Для ветви указывается имя. Оно используется при поиске соответствующего файла с описанием этой тестовой ситуации. Поиск производится на основе имени тестовой ситуации и имени инструкции, для которой она указана.

Пример тестовой ситуации, включающей комбинацию ветвей:

```
<situation>
  <or>
    <and>
      <branch name="overflow" />
      <branch name="normal" />
    </and>
    <branch name="zero" />
  </or>
</situation>
```



Эту комбинацию ветвей можно прочесть следующим образом: *данная инструкция должна себя вести как overflow с normal или как zero*.

В описаниях тестовых ситуациях могут быть фиксированы обращения к различным подсистемам микропроцессора. Указание тестовой ситуации в шаблоне может фиксировать и тестовую ситуацию на эти обращения (а для полных тестовых шаблонов оно *должно* фиксировать тестовую ситуацию на эти обращения). Среди подсистем можно выделить различные кэширующие буферы (например, уровни кэш-памяти, TLB, другие подсистемы). Содержимое секции тестовых ситуаций обращений к подсистемам определяется архитектурой тестируемого микропроцессора. Например, оно может быть следующим:

```
<situation>
    ...
    <access>
        <cache level="1" type="DATA" id="miss" />
        <cache level="2" type="DATA" id="miss" />
        <cache level="3" type="DATA" id="hit" />
        <tlb id="invalid">
            <microtlb type="DATA" id="miss" />
        </tlb>
    </access>
</situation>
```

Это описание говорит о том, что при исполнении данной инструкции в кэш-памяти данных первого и второго уровней должен быть кэш-промах, а в кэш-памяти данных третьего уровня – кэш-попадание; в TLB должна произойти тестовая ситуация *invalid*, а в MicroTLB данных – промах. Интерпретация терминов *cache*, *tlb*, *microtlb*, *miss*, *hit*, *invalid* заложена в части генератора ограничений, ответственного за тестируемую архитектуру.

Кроме инструкций тестовый шаблон может содержать «допущения» (*assume*) – некоторые ограничения на текущее состояние микропроцессора и введенные внешние переменные. Можно выделить следующие основные применения этих ограничений:

1. задание зависимостей на адреса разных инструкций (например, у двух инструкций одинаковые физические адреса при разных виртуальных адресах – одна инструкция определяет свои виртуальный и физический

адрес, другая инструкция делает то же, а ограничение фиксирует связь значений этих четырех переменных);

2. задание ветви в графе потока управления: при тестировании инструкций перехода с некоторым сравнением вместо их непосредственного описания предлагается описывать конкретные результаты сравнений (истинно это сравнение в данный момент или ложно); тестовый шаблон не позволяет описывать разветвленные потоки управления, разрешается описывать лишь последовательности инструкций, поэтому такие дополнительные ограничения позволяют описать в тестовом шаблоне один из путей в графе потока управления и сгенерировать для этого пути свою тестовую программу.

Описание ограничения, как и описание тестовой ситуации, может состоять из указания ветви или их комбинаций. Пример:

```
<assume>
  <or>
    <and>
      <branch name="ff1" />
      <branch name="ff2" />
      <branch name="ff3" />
    </and>
    <branch name="ff4" />
  </or>
</assume>
```

Пример описания тестового шаблона целиком:

```
<template>
  <register id="x" length="64" />
  <register id="y" length="64" />
  <register id="z" length="64" />
  <constant id="c" length="16" />

  <instruction name="ADD">
    <argument name="x" />
    <argument name="y" />
    <argument name="z" />
    <external name="v1" id="virtual" />
    <external name="p1" id="phys" />
```

```

    <situation>
      <or>
        <and>
          <branch name="overflow" />
          <branch name="normal" />
        </and>
        <branch name="zero" />
      </or>

      <access>
        <cache level="1" type="DATA" id="miss" />
        <cache level="2" type="DATA" id="miss" />
        <cache level="3" type="DATA" id="hit" />
        <tlb id="invalid">
          <microtlb type="DATA" id="miss"></microtlb>
        </tlb>
      </access>

    </situation>
  </instruction>

  <assume>
    <or>
      <and>
        <branch name="ff1" />
        <branch name="ff2" />
        <branch name="ff3" />
      </and>
      <branch name="ff4" />
    </or>
  </assume>
</template>

```

## 4.3 Описание тестовых ситуаций

Описание тестовой ситуации состоит из следующих секций:

1. *заголовок тестовой ситуации*: объявление аргументов инструкции;
2. *тело тестовой ситуации*: последовательность операторов.

Заголовок тестовой ситуации должен содержать объявления всех аргументов инструкции. Для каждого аргумента указывается его имя (локальное внутри данной тестовой ситуации), статус «только для чтения/результат» и битовая длина. Последовательность аргументов тестовой ситуации должна совпадать с последовательностью аргументов инструкции с точностью до переименования. Иными словами, первый аргумент тестовой ситуации должен обозначать первый аргумент инструкции (их битовые длины должны совпадать), второй аргумент тестовой ситуации – второй аргумент инструкции и так далее. Аргументы, помеченные статусом «только для чтения» не могут менять свое значение во время всей тестовой ситуации. Аргументы, помеченные статусом «результат» обязаны получить значение в данной инструкции. Тестовая ситуация может иметь произвольное количество аргументов обоих статусов в произвольном порядке. Статус «только для чтения» позволяет передать в качестве аргументов инструкции одинаковые переменные (одинаковые регистры или константы). Однако все аргументы инструкции, соответствующие аргументам тестовой ситуации со статусом «результат», должны иметь разные имена (они могут быть среди аргументов со статусом «только для чтения»).

Пример:

```
<argument name="rt" state="result" length="64"/>
<argument name="base" state="readonly" length="64"/>
<argument name="offset" state="readonly" length="16"/>
```

Тело тестовой ситуации состоит из последовательности операторов трех видов:

- оператор **let** – объявление новой локальной переменной вместе с ее инициализацией;
- оператор **assume** – фиксация некоторого ограничения («допущения») на значения переменных;
- оператор **procedure** – вызов процедуры (ее семантика не задается в описании тестовой ситуации).

Тестовая ситуация по своей сути является ветвью функциональности инструкции. Поэтому ее описание содержит лишь последовательность операторов, условные операторы и операторы цикла отсутствуют.

Оператор **let** объявляет новую переменную и инициализирует ее результатом вычисления некоторого выражения. Оператор может содержать указание имени переменной (оно должно быть новым) *или* указание идентификатора новой переменной (все идентификаторы внутри тестовой ситуации должны быть разными; идентификатор может совпадать с именем этой или любой другой переменной). Безымянные операторы **let** позволяют задать идентификатор существующей переменной.

Тело оператора содержит выражение, результат вычисления которого станет значением объявляемой переменной. Выражение может содержать следующие операции:

- переменные (**var**) и константы (**constant**); допустимы только неотрицательные константы, у каждой константы должна быть указана битовая длина;
- битовые операции: выделение бита с заданными номером (**bit**), выделение непрерывной последовательности бит с заданными границами (**bits**), битовая конкатенация (**concat**), битовая степень (**power**);
- арифметические операции: сложение (**sum**), вычитание (**sub**); операции проводятся по модулю экспоненты битовой длины аргументов.

Производится строгая «проверка типов», т.е. битовых длин аргументов операций. Например, сложению подвергаются только выражения с одинаковыми битовыми длинами. В частности это позволяет автоматически вычислить битовую длину объявляемой переменной.

Пример:

```
<let name="vAddr" id="virtual">
  <sum>
    <sign_extend size="64"><var>offset</var></sign_extend>
    <var>base</var>
  </sum>
</let>
```

Оператор **assume** позволяет указать ограничение, справедливое в некоторый момент на значениях аргументов тестовой ситуации и локальных переменных. Выражения объединяются с помощью отношений сравнения. Пример:

```

<assume>
  <eq>
    <bits end="1" start="0"><var>vAddr</var></bits>
    <constant length="2">0</constant>
  </eq>
</assume>

```

Оператор **procedure** позволяет указать более сложное действие, в котором могут участвовать различные подсистемы микропроцессора. Семантика процедур не фиксируется при описании тестовой ситуации. Аргументы, наоборот, фиксируются. Каждый аргумент может иметь идентификатор (это позволяет располагать аргументы в произвольном порядке, указывая семантику каждого аргумента с помощью идентификатора). Тело аргумента может быть следующих типов:

- выражение на определенные к моменту вызова процедуры переменные; выражение задается с использованием того же синтаксиса, что и в операторе **let**;
- новая переменная (**new**);
- символьная константа.

Набор допустимых процедур и идентификаторов их аргументов задается генератором ограничений.

Пример:

```

<procedure name="AddressTranslation">
  <argument id="physical"><new length="64">pAddr</new></argument>
  <argument id="virtual"><var>vAddr</var></argument>
  <argument id="points_to">DATA</argument>
  <argument id="points_for">LOAD</argument>
</procedure>

```

Пример описания тестовой ситуации целиком:

```

<situation>
  <argument name="rt" state="result" length="64" />
  <argument name="base" state="readonly" length="64" />
  <argument name="offset" state="readonly" length="16" />

  <let name="vAddr" id="virtual">

```

```

    <sum>
      <sign_extend size="64"><var>offset</var></sign_extend>
      <var>base</var>
    </sum>
  </let>

<assume>
  <eq>
    <bits end="1" start="0"><var>vAddr</var></bits>
    <constant length="2">0</constant>
  </eq>
</assume>

<procedure name="AddressTranslation">
  <argument id="physical"><new length="64">pAddr</new></argument>
  <argument id="virtual"><var>vAddr</var></argument>
  <argument id="points_to">DATA</argument>
  <argument id="points_for">LOAD</argument>
</procedure>

<let id="physical"><var>pAddr</var></let>

<let name="dwByteOffset">
  <bits end="2" start="0"><var>vAddr</var></bits>
</let>

<!-- dwByteOffset can be changed
      according to BigEndian/LittleEndian -->

<procedure name="LoadMemory">
  <argument id="data"><new length="64">memdoubleword</new></argument>
  <argument id="size">WORD</argument>
  <argument id="physical"><var>pAddr</var></argument>
  <argument id="virtual"><var>vAddr</var></argument>
  <argument id="points_to">DATA</argument>
</procedure>

<procedure name="BytesSelect">
  <argument id="type">WORD</argument>
  <argument id="from"><new length="32">data</new></argument>
  <argument id="content"><var>memdoubleword</var></arument>

```

```

    <argument id="index"><var>dwByteOffset</var></argument>
  </procedure>

  <assume>
    <eq>
      <var>rt</var>
      <sign_extend size="64"><var>data</var></sign_extend>
    </eq>
  </assume>
</situation>

```

## 4.4 Генератор ограничений (ядро)

Генератор ограничений имеет модульную структуру (см. рис. 4.3) [9, 10]. В его составе есть модуль, ответственный за генерацию ограничений для общих механизмов описания архитектур микропроцессоров, такие как работа с регистрами, работа с последовательностью инструкций, работа с локальными переменными в тестовых ситуациях, и модуль, специфичный для тестируемой архитектуры (он содержит алгоритмы генерации ограничений для таких механизмов, как трансляция адресов, как кэширование).

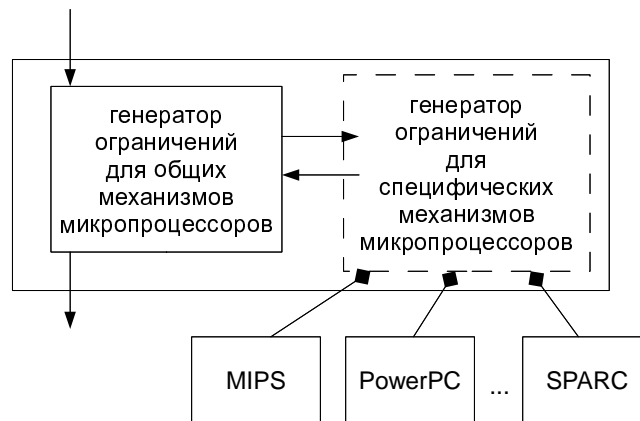


Рис. 4.3. Структура генератора ограничений

Генерация ограничений производится последовательно для каждой инструкции тестового шаблона. Однако разрешение ограничений может происходить быстрее при некотором порядке ограничений, это можно учесть при генерации ограничений.



## Глава 5

# Апробация

Целью является построение генератора тестовых программ по тестовым шаблонам для некоторого микропроцессора. Это может быть выполнено следующей последовательностью шагов:

1. построение схемы MMU микропроцессора (выделение кэширующих буферов и таблиц, определение подчиненных буферов) – для этого надо ознакомиться с документацией по MMU микропроцессора;
2. выбор процедур для языка описания тестовых ситуаций – для этого надо ознакомиться с документацией по системе команд микропроцессора;
3. написание генератора ограничений, анализирующего последовательности тестовых ситуаций в кэширующих буферах – для этого можно применить методы совместной и зеркальной генерации ограничений;
4. написание генератора ограничений для процедур, выбранных на шаге 2 – может потребоваться ознакомление с документацией по микропроцессору;
5. подготовка описаний тестовых ситуаций для инструкций микропроцессора – для этого надо ознакомиться с документацией по системе команд микропроцессора;
6. написание анализатора модели решателя и генератора тестовой программы;

7. объединение написанных модулей генератора в единое целое (с использованием готового компонента построения ограничений, независимого от конкретного микропроцессора);
8. запуск генератора ограничений с решателем ограничений.

## 5.1 Генерация ограничений для архитектуры MIPS

**Утверждение 13.** *Для архитектуры MIPS возможно применение методов генерации ограничений, описываемых в диссертации, для генерации тестовых программ по тестовым шаблонам; причем методов достаточно для полного описания поведения MMU микропроцессоров архитектуры MIPS.*

Рассмотрим исполнение инструкции обращения к памяти в микропроцессоре архитектуры MIPS [71]. MMU в микропроцессорах MIPS включает в себя (количественные характеристики приведены для микропроцессора MIPS R10000 – см. рис. 5.1):

- *кэш-память данных первого уровня (D-Cache-1):* virtually indexed physically tagged, размер 32 килобайта, размер строки кэш-памяти 32 байта, наборно-ассоциативная кэш-память, ассоциативность равна 2, стратегия вытеснения LRU;
- *кэш-память второго уровня (Cache-2):* размер от 512 килобайт до 16 мегабайт [2], стратегия вытеснения LRU;
- *кэширующий буфер TLB (D-TLB):* полностью ассоциативный, размер 4 строки;
- *объединенный TLB (Joint-TLB):* размер 48 строк, размер виртуального адреса 64 бита.

Таким образом, основная проблема при записи ограничений – большой размер содержимого кэш-памяти.

Инструкция может содержать тестовые ситуации в:

- кэш-памяти данных первого уровня, первого и второго уровней;
- кэш-буфере данных TLB (D-TLB).

Совместная генерация возможна на границе TLB–кэш-память, так как получаемый из TLB номер физического кадра (pfn) становится битовым полем тегсета физического адреса (см.рис. 5.1 – стрелками обозначены места применения совместной генерации, пунктиром обозначено подчинение кэширующего буфера таблице).

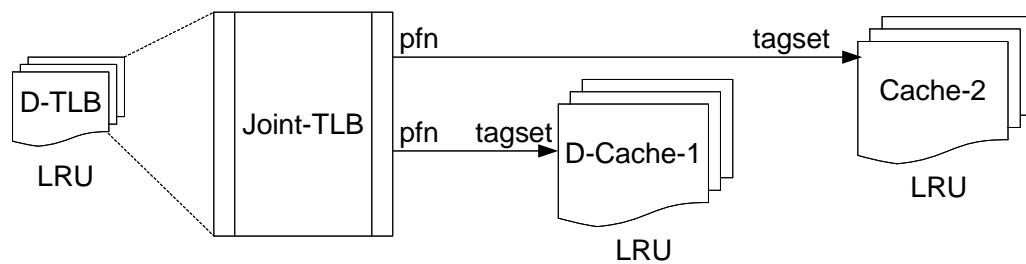


Рис. 5.1. Схема MMU микропроцессора MIPS

По шагам подготовки генератора тестовых программ:

1. структура MMU построена, для этого пришлось ознакомиться с документацией по архитектуре микропроцессора [71], это заняло 1 человеко-день;
2. на основе анализа системы команд архитектуры MIPS [70] были выделены следующие процедуры для описания тестовых ситуаций: AddressTranslation, LoadMemory, StoreMemory, BytesSelect, BytesExpand – на это ушел 1 человеко-день;
3. в генераторе ограничений был использован зеркальный метод генерации ограничений для кэшируемых неотображаемых обращений и совместно-зеркальный метод генерации ограничений для остальных обращений – на это ушло с учетом отладки 5 человеко-дней;
4. для процедуры AddressTranslation в виде ограничений была записана модель виртуальной памяти (виды обращений в разных областях виртуальной памяти – кэшируемое или некаэшируемое, отображаемое или неотображаемое), для процедуры LoadMemory в виде ограничений были записаны взаимосвязи физических адресов и считанных из основной

памяти данных (см. п. 2.2.3 диссертации), для процедур BytesSelect и BytesExpand был выписан перебор значений младших бит физического адреса и границ части нужной длины двойного слова, являющего результатом чтения из памяти или записи в память – с учетом отладки на это ушло 3 человеко-дня;

5. по результатам знакомства с документацией по системе команд архитектуры MIPS [70] было выделено 8 инструкций (load / store — byte / halfword / word / doubleword), в каждой инструкции по 2 тестовые ситуации (AddressError(невыровненный виртуальный адрес) / полное выполнение инструкции), на подготовку описаний тестовых ситуаций ушло 1 человеко-день;
6. использовался решатель ограничений Z3 [28], который печатал модель в виде пар «(имя, значение)», среди имен выбирались начальные значения регистров и инициализирующие тегсеты кэшируемых неотображаемых обращений, по которым генерировались инициализирующие инструкции – с учетом отладки на это ушло 1 человеко-день;
7. были объединены имеющиеся компоненты чтения описаний тестовых ситуаций и построения ограничений для операторов **let** и **assert** и новые компоненты, описывающие последовательности тестовых ситуаций в кэш-памяти и TLB, описывающие процедуры описаний тестовых ситуаций и генерирующие искомую тестовую программу – на это ушло 1 человеко-день.

Итого на построение генератора тестовых программ для MIPS ушло около 2,5 человеко-недель. При этом при построении генератора тестовых программ для другого микропроцессора архитектуры MIPS (он может отличаться количественными параметрами кэширующих буферов, размерами виртуальных и физических адресов) повторно можно использовать результаты шагов 1, 2, 5, 6 и 7, остальные шаги выполняются аналогичным образом с заменой количественных параметров. Это позволяет достичь уровень переиспользования в 40% ( $\frac{5 \cdot 100\%}{13}$ ). Ручное создание генератора тестовой программы для микропроцессора MIPS RM7000 [6] заняло в сумме 2 человеко-месяца. Данные о трудоемкости показывают, что при сходной полноте тестового набора пред-

ставленные в диссертации методы позволяют сократить время построения генератора тестовых программ более чем в 3 раза.

Был подготовлен прототип генератора тестовых программ для микропроцессора архитектуры MIPS. Были проведены эксперименты по генерации тестовых программ на массивах тестовых шаблонов. Первый набор экспериментов был связан с исследованием вероятности того, что ограничения, построенные по методу совместной генерации, будут совместны и дадут искомую тестовую программу. В таблице 5.1 приведены результаты этих экспериментов для тестовых шаблонов из двух инструкций. Таких тестовых шаблонов с различными неэквивалентными зависимостями по данным было 240. Из них 15% несовместных тестовых шаблонов (для них не может существовать ни одна тестовая программа). Остальные 85% тестовых шаблонов составили основу экспериментов. Были подготовлены начальные состояния микропроцессора двух типов: произвольные (значения тегов в ячейках кэш-памяти были сгенерированы случайным образом) и подготовленные (значения тегов в ячейках были выбраны так, чтобы они с большей вероятностью пересекались с номерами физических кадров состояния TLB).

тип начального состояния	доля реализованных тестовых шаблонов	доля нереализованных тестовых шаблонов	КПД совместной генерации	общее время генерации
подготовленное	49 %	36 %	58 %	85 с.
произвольное	32 %	53 %	38 %	170 с.

Таблица 5.1. Эксперименты с совместной генерацией;  $n = 2$

Эксперименты показали, что использование совместной генерации на произвольных начальных данных дает возможность построить тестовые программы для 35-40% тестовых шаблонов с различными зависимостями по регистрам; на подготовленных начальных данных применением совместной генерации удастся достичь 55-60% покрытия для тестовых шаблонов. Важны оба случая, поскольку при первом запуске состояние микропроцессора будет произвольным, а при всех последующих запусках состояния, полученных от прошлых запусков, будут уже подготовленными — тем самым повысится вероятность построения тестовой программы по ограничениям, сгенерирован-

ным методом совместной генерации. Зеркальным методом (в силу его полноты) удалось построить тестовые программы для всех тестовых совместных шаблонов. На все тестовые шаблоны «зеркальному методу» потребовалось около 220 секунд.

## 5.2 Генерация ограничений для архитектуры PowerPC

**Утверждение 14.** *Для архитектуры PowerPC возможно применение при-  
менение методов генерации ограничений, описываемых в диссертации, для  
генерации тестовых программ по тестовым шаблонам; причем методов  
достаточно для полного описания поведения MMU микропроцессоров архи-  
тектуры PowerPC.*

Рассмотрим исполнение инструкции обращения к памяти в микропроцессоре архитектуры PowerPC [2]. MMU в микропроцессорах PowerPC включает в себя (количественные характеристики приведены для микропроцессора PowerPC 970FX [61] – см. рис. 5.2):

- *кэш-память данных первого уровня (D-Cache-1):* размер 32 килобайта, наборно-ассоциативная кэш-память, количество секций равно 2, размер строки кэш-памяти 128 байт, effective index real tag, стратегия вытеснения LRU;
- *кэш-память второго уровня (Cache-2):* размер 512 килобайт, наборно-ассоциативная кэш-память, количество секций равно 8, стратегия вытеснения LRU, размер строки кэш-памяти 128 байт, real index real tag;
- *кэш-буфер TLB (D-TLB):* наборно-ассоциативный буфер, количество секций 4, количество наборов в каждой секции 256; стратегия вытеснения LRU;
- *таблица страниц виртуальной памяти (Page Table):* размер виртуального адреса 65 бит, размер физического адреса 42 бита;
- *сегментные регистры (SLB):* полностью ассоциативный буфер, размер 64 строки;

- *буфер непосредственной трансляции адресов (D-ERAT)*: наборно-ассоциативный буфер, количество секций равно 2, в каждой секции по 64 строки; стратегия вытеснения FIFO.

Таким образом, проблема возникнет при записи ограничений на кэш-память и на TLB.

Инструкция может содержать тестовые ситуации в:

- кэш-памяти данных первого уровня, первого и второго уровней;
- кэш-буфере данных TLB (D-TLB);
- кэш-буфере непосредственной трансляции адресов (D-ERAT).

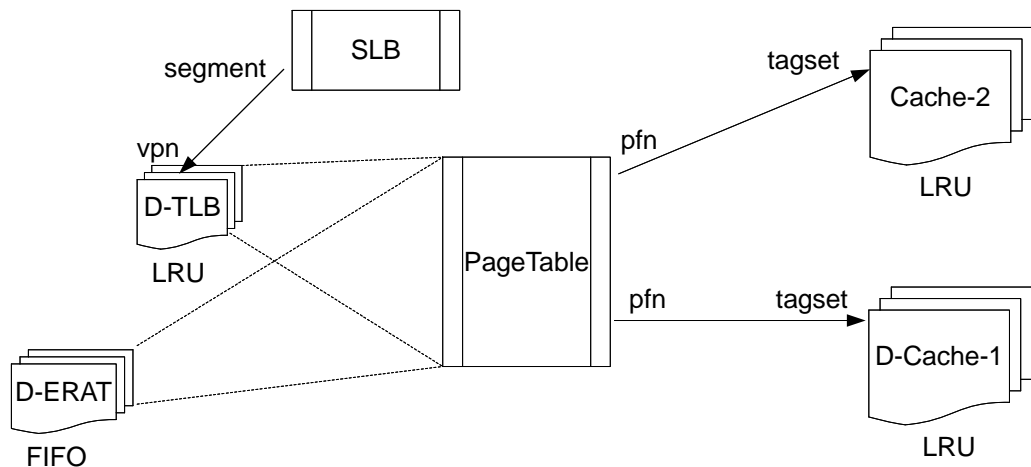


Рис. 5.2. Схема MMU микропроцессора PowerPC 970FX

Совместная генерация возможна (см. рис. 5.2):

- на границе D-ERAT–кэш-память, так как получаемый из D-ERAT номер физического кадра (pfn) становится битовым полем тегсета физического адреса;
- на границе SLB–D-TLB, так как значение сегментного регистра становится битовым полем номера страницы виртуальной памяти (vpn);
- на границе D-TLB–кэш-память, так как получаемый из D-TLB номер физического кадра (pfn) становится битовым полем тегсета физического адреса.

## 5.3 Генерация ограничений для архитектуры Alpha

**Утверждение 15.** *Для архитектуры Alpha возможно применение методов генерации ограничений, описываемых в диссертации, для генерации тестовых программ по тестовым шаблонам.*

Рассмотрим исполнение инструкции обращения к памяти в микропроцессоре архитектуры Alpha. MMU в микропроцессорах Alpha включает в себя (количественные характеристики приведены для микропроцессора Alpha 21264 [43] – см. рис. 5.3):

- *кэш-память данных первого уровня (D-Cache-1):* virtually indexed physically tagged, размер 64 килобайта, наборно-ассоциативный, количество секций равно 2, стратегия вытеснения LRU, размер строки кэш-памяти 64 байта;
- *кэш-память второго уровня (Cache-2):* physically indexed physically tagged, прямого отображения, размер от 1 до 16 мегабайт
- *таблица TLB (D-TLB):* 128 строк, полностью ассоциативная, размер виртуального адреса 48/43 бит, размер физического адреса 44/41 бит, размер страницы виртуальной памяти от 8 килобайт до 4 мегабайт;
- *буфер вытесненных данных (VictimBuffer):* полностью ассоциативный, количество строк равно 8, стратегия вытеснения FIFO.

Таким образом, основная проблема при записи ограничений – большой размер содержимого кэш-памяти.

Инструкция может содержать тестовые ситуации в:

- кэш-памяти данных первого уровня;
- кэш-памяти первого и второго уровней.

Совместная генерация возможна на границе TLB–кэш-память, так как получаемый из TLB номер физического кадра (pfn) становится битовым полем тегсета физического адреса (см.рис. 5.3).



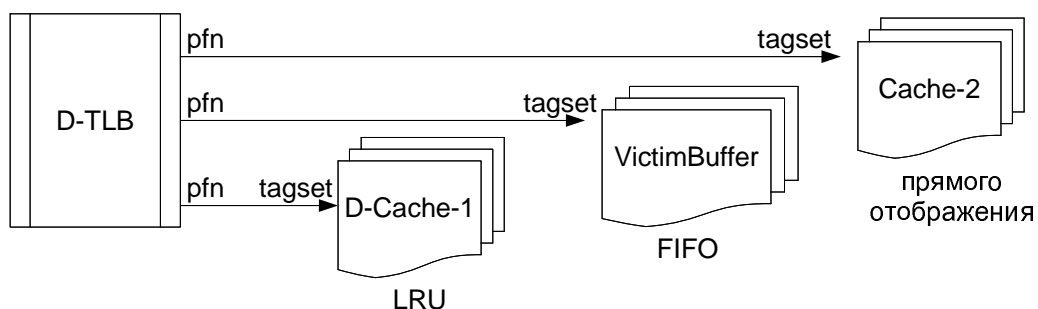


Рис. 5.3. Схема MMU микропроцессора Alpha

## 5.4 Генерация ограничений для архитектуры Pentium

**Утверждение 16.** Для архитектуры *Pentium* возможно применение при-  
менение методов генерации ограничений, описываемых в диссертации, для  
генерации тестовых программ по тестовым шаблонам.

Рассмотрим исполнение инструкции обращения к памяти в микропроцес-  
соре архитектуры *Pentium* P6. MMU в микропроцессорах *Pentium* включает в  
себя (количественные характеристики приведены для микропроцессора Intel  
*Pentium* III [43] – см. рис. 5.4):

- *кэш-память данных первого уровня (D-Cache-1)*: размер 16 килобайт, наборно-ассоциативная, количество секций равно 2, стратегия вытесне-  
ния LRU, размер строки 32 байта;
- *кэш-память второго уровня (Cache-2)*: размер от 256 килобайт до 2  
мегабайт, наборно-ассоциативная, количество секций равно 8, стратегия  
вытеснения LRU, размер строки 32 байта;
- *кэш-буфер TLB (D-TLB)*: наборно-ассоциативный, количество секций  
равно 4, в каждой секции 16 строк, стратегия вытеснения Pseudo-LRU;
- *таблица страниц виртуальной памяти (Page Table)*: размер страницы  
от 8 килобайт, длина логического адреса 48 бит, длина линейного адреса  
32 бита, длина физического адреса 32 бита;
- *таблица дескрипторов сегментов (SDT)*: размер от 8 байт до 64 кило-  
байт [25].

Таким образом, проблема возникнет при записи ограничений на кэш-память и на TLB.

Инструкция может содержать тестовые ситуации в:

- кэш-памяти данных первого уровня, первого и второго уровней;
- кэш-буфере данных TLB (D-TLB).

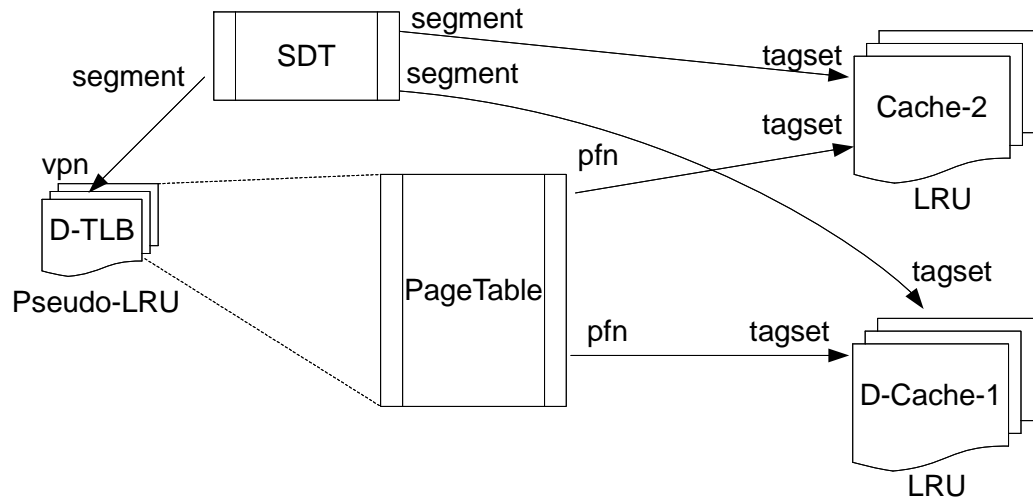


Рис. 5.4. Схема MMU микропроцессора Pentium

Совместная генерация возможна (см. рис. 5.4):

- на границе SDT–D-TLB, так как значение сегментного регистра становится битовым полем номера страницы виртуальной памяти (vpn);
- на границе D-TLB–кэш-память, так как получаемый из D-TLB номер физического кадра (pfn) становится битовым полем тегсета физического адреса;
- на границе SDT–кэш-память при неотображаемом обращении, так как получаемый из SDT сегментный регистр становится битовым полем тегсета физического адреса.

# Заключение

Основные научные и практические результаты, полученные в диссертационной работе и выносимые на защиту, состоят в следующем:

- Разработан метод генерации ограничений для тестовых шаблонов, нацеленных на тестирование инструкций обращения к памяти, с использованием заданного начального состояния микропроцессора, который использует свойство инструкций изменять состояния нескольких кэширующих буферов (*совместная генерация ограничений*). Метод параметризован методом записи стратегии вытеснения в виде ограничений. Доказана корректность метода для любых тестовых шаблонов и полнота при некоторых дополнительных условиях на тестовые шаблоны. Метод позволяет эффективно строить тестовые программы по тестовым шаблонам, перед исполнением которых не меняется состояние кэширующих буферов микропроцессора.
- Разработан метод генерации ограничений для тестовых шаблонов, нацеленных на тестирование инструкций обращения к памяти, без использования начального состояния микропроцессора (*зеркальная генерация ограничений*). Метод параметризован методом записи стратегии вытеснения в виде ограничений. Доказана корректность метода для любых тестовых шаблонов и полнота при некоторых дополнительных условиях на стратегии вытеснения. Показано, что наиболее часто используемые в микропроцессорах стратегии вытеснения удовлетворяют этим дополнительным условиям, что обеспечивает полноту зеркального метода генерации ограничений в практически значимых случаях. Отсутствие требования предъявить начальное состояние микропроцессора позволяет упростить процесс тестирования, поскольку перед построением очередной тестовой программы не нужно считывать текущее состояние микро-

процессора. Тем самым пакет тестовых программ может быть построен полностью до проведения тестирования.

- Разработан метод генерации ограничений для описания стратегий вытеснения перебором частей тестовой программы, непосредственно влияющих на вытеснение (*перебор диапазонов вытеснения*). Приведены ограничения, генерируемые этим методом, для стратегий вытеснения LRU, FIFO и Pseudo-LRU, наиболее используемых стратегий вытеснения в микропроцессорах. Показана эквивалентность этих ограничений определениям стратегий вытеснения. Метод может быть эффективно использован в случае кэширующих буферов небольшого размера, каковыми являются, например, буферы трансляции адресов некоторых микропроцессоров.
- Разработан метод генерации ограничений для описания стратегий вытеснения, представляющий условие вытеснения в виде границы (верхней или нижней) на количество инструкций, непосредственно влияющих на вытеснение (*метод функций полезности*). Приведены ограничения, генерируемые этим методом, для стратегий вытеснения LRU, FIFO и Pseudo-LRU, наиболее используемых стратегий вытеснения в микропроцессорах. Показана эквивалентность этих ограничений определениям стратегий вытеснения. Метод может быть эффективно использован в случае тестовых шаблонов произвольного размера. В диссертации приведены некоторые классы тестовых шаблонов, для которых генерируемые ограничения имеют меньший размер, причем практика показывает, что для определения многих ошибок достаточно тестовых шаблонов из таких классов.

# Приложение А

## Таблицы ограничений

	случай	переменная перебора	система
кэш-попадание	тегсет находится в начальном состоянии буфера, к нему нет обращений до данной инструкции и он всё ещё не вытеснен	$\lambda \in L_0$	$\begin{cases} x = \lambda \\ x \notin \{x_1, \dots, x_n\} \\ \bigwedge_{x_m: \text{miss}} \sum_{i=1}^W v_m(\xi_i) + \sum_{i=1}^{m-1} u_m(x_i) < W \end{cases}$
	тегсет находится в начальном состоянии буфера, к нему есть обращение до данной инструкции и он всё ещё не вытеснен	$\lambda \in L_0$	$\begin{cases} x = \lambda \\ x \in \{x_1, \dots, x_n\} \\ \bigwedge_{x_m: \text{miss}} \sum_{i=1}^{m-1} u_m(x_i) < W \end{cases}$
	тегсет был внесен одним из кэш-промахов и с того момента не вытеснен	—	$\begin{cases} x \in [x_1, \dots, x_n]_{\text{miss}} \\ \bigwedge_{x_m: \text{miss}} \sum_{i=1}^{m-1} u_m(x_i) < W \end{cases}$
кэш-промах	тегсет встречается впервые	—	$\begin{cases} x \notin L_0 \\ x \notin [x_1, \dots, x_n]_{\text{miss}} \end{cases}$
	тегсет ранее был внесен одной из инструкций шаблона, затем вытеснен	—	$\begin{cases} x \in [x_1, \dots, x_n]_{\text{miss}} \\ \bigvee_{x_m: \text{miss}} \sum_{i=1}^{m-1} u_m(x_i) \geq W \end{cases}$
	тегсет находился в начальном состоянии буфера и был вытеснен, к нему не было обращений в шаблоне	$\lambda \in L_0$	$\begin{cases} x = \lambda \\ x \notin \{x_1, \dots, x_n\} \\ \bigvee_{x_m: \text{miss}} \sum_{i=1}^W v_m(\xi_i) + \sum_{i=1}^{m-1} u_m(x_i) \geq W \end{cases}$
	тегсет находился в начальном состоянии буфера и был вытеснен, к нему было обращение в шаблоне после последнего внесения в буфер	$\lambda \in L_0$	$\begin{cases} x = \lambda \\ x \in \{x_1, \dots, x_n\} \\ \bigvee_{x_m: \text{miss}} \sum_{i=1}^{m-1} u_m(x_i) \geq W \end{cases}$

Таблица А.1. Таблица систем уравнений в случае стратегии вытеснения Pseudo-LRU с использованием функций полезности

случай	переменная перебора	система	функция полезности для кэш-попадания	функция полезности для кэш-промаха
кэш-попадание	тегсет находится в начальном состоянии буфера, к нему нет обращений до данной инструкции и он всё ещё не вытеснен	$\lambda_\delta \in D$	$\begin{cases} x = \lambda_\delta \\ x \notin \{x_1, \dots, x_n\} \\ \sum_{i=1}^n u(x_i) \leq w - \delta \end{cases}$	$R(x_i) = R(x)$
	тегсет находится в начальном состоянии буфера, к нему есть обращение до данной инструкции и он всё ещё не вытеснен	$\lambda_\delta \in D$	$\begin{cases} x = \lambda_\delta \\ x \in \{x_1, \dots, x_n\} \\ \sum_{i=1}^n u(x_i) < w \end{cases}$	$x \notin \{x_i, \dots, x_n\} \\ \wedge R(x_i) = R(x)$
	тегсет был внесен одним из кэш-промахов и с того момента не вытеснен	–	$\begin{cases} x \in [x_1, \dots, x_n]_{miss} \\ \sum_{i=1}^n u(x_i) < w \end{cases}$	$x \notin \{x_i, \dots, x_n\} \\ \wedge R(x_i) = R(x)$
	тегсет встречается впервые	–	$\begin{cases} x \notin D \\ x \notin [x_1, \dots, x_n]_{miss} \end{cases}$	–
кэш-промах	тегсет ранее был внесен одной из инструкций шаблона, затем вытеснен	–	$\begin{cases} x \in [x_1, \dots, x_n]_{miss} \\ \sum_{i=1}^n u(x_i) \geq w \end{cases}$	$x \notin \{x_i, \dots, x_n\} \\ \wedge R(x_i) = R(x)$
	тегсет находится в начальном состоянии буфера и был вытеснен, к нему не было обращений в шаблоне	$\lambda_\delta \in D$	$\begin{cases} x = \lambda_\delta \\ x \notin \{x_1, \dots, x_n\} \\ \sum_{i=1}^n u(x_i) \geq w - \delta + 1 \end{cases}$	$R(x_i) = R(x)$
	тегсет находится в начальном состоянии буфера и был вытеснен, к нему было обращение в шаблоне после последнего внесения в буфер	$\lambda_\delta \in D$	$\begin{cases} x = \lambda_\delta \\ x \in \{x_1, \dots, x_n\} \\ \sum_{i=1}^n u(x_i) \geq w \end{cases}$	$x \notin \{x_i, \dots, x_n\} \\ \wedge R(x_i) = R(x)$

Таблица А.2. Таблица систем уравнений для тестовых ситуаций в LRU кэширующих буферах с использованием функций полезности

случай	переменная перебора	система	функция полезности для кэш-попадания	функция полезности для кэш-промаха
кэш-попадание	—	—	—	—
тегсет встречается впервые	—	$\begin{cases} x \notin D \\ x \notin [x_1, \dots, x_n]_{miss} \end{cases}$	—	—
тегсет ранее был внесен одной из инструкций шаблона, затем вытеснен	—	$\begin{cases} x \in [x_1, \dots, x_n]_{miss} \\ \left[ \sum_{i=1}^n u(x_i) \right]_{miss} \geq w - \delta + 1 \end{cases}$	—	$x \notin \{x_i, \dots, x_n\} \wedge R(x_i) = R(x)$
тегсет находился в начальном состоянии буфера и был вытеснен, к нему не было обращений в шаблоне	$\lambda_\delta \in D$	$\begin{cases} x = \lambda_\delta \\ x \notin \{x_1, \dots, x_n\} \\ \left[ \sum_{i=1}^n u(x_i) \right]_{miss} \geq w - \delta + 1 \end{cases}$	—	$R(x_i) = R(x)$
тегсет находился в начальном состоянии буфера и был вытеснен, к нему было обращение в шаблоне после последнего внесения в буфер	$\lambda_\delta \in D$	$\begin{cases} x = \lambda_\delta \\ x \in \{x_1, \dots, x_n\} \\ \left[ \sum_{i=1}^n u(x_i) \right]_{miss} \geq w \end{cases}$	—	$x \notin \{x_i, \dots, x_n\} \wedge R(x_i) = R(x)$

Таблица А.3. Таблица систем ограничений в случае стратегии вытеснения FIFO с использованием функций полезности

случай	переменная перебора	система	функция полезности для кэш-попадания	функция полезности для кэш-промаха
кэш-попадание	тегсет находится в начальном состоянии буфера, к нему нет обращений до данной инструкции и он всё ещё не вытеснен	$\lambda_\delta \in D$	$\begin{cases} x = \lambda_\delta \\ x \notin \{x_1, \dots, x_n\} \\ \sum_{i=1}^n u(x_i) \leq w - \delta \end{cases}$	$x_i \in \{\lambda_{\delta+1}, \dots, \lambda_\Delta\} \wedge x_i \notin \{x_1, \dots, x_{i-1}\}$ $R(x_i) = R(x)$
	тегсет находится в начальном состоянии буфера, к нему есть обращение до данной инструкции и он всё ещё не вытеснен	$\lambda_\delta \in D$	$\begin{cases} x = \lambda_\delta \\ x \in \{x_1, \dots, x_n\} \\ \sum_{i=1}^n u(x_i) < w \end{cases}$	$x \notin \{x_i, \dots, x_n\} \wedge x_i \in \{\lambda_{\delta+1}, \dots, \lambda_\Delta\} \wedge \sum_{j=1}^{i-1} c_i(x_j) = 0, c_i(x_j) \equiv (x \notin \{x_j, \dots, x_i\} \wedge x_i = x_j)$ $x \notin \{x_i, \dots, x_n\} \wedge R(x_i) = R(x)$
	тегсет был внесен одним из кэш-промахов и с того момента не вытеснен	–	$\begin{cases} x \in [x_1, \dots, x_n]_{miss} \\ \sum_{i=1}^n u(x_i) < w \end{cases}$	$x \notin \{x_i, \dots, x_n\} \wedge R(x_i) = R(x) \wedge \sum_{j=1}^{i-1} c_i(x_j) = 0, c_i(x_j) \equiv (x \notin \{x_j, \dots, x_i\} \wedge x_i = x_j)$ $x \notin \{x_i, \dots, x_n\} \wedge R(x_i) = R(x)$
	тегсет встречается впервые	–	$\begin{cases} x \notin D \\ x \notin [x_1, \dots, x_n]_{miss} \end{cases}$	–
кэш-промах	тегсет ранее был внесен одной из инструкций шаблона, затем вытеснен	–	$\begin{cases} x \in [x_1, \dots, x_n]_{miss} \\ \sum_{i=1}^n u(x_i) \geq w \end{cases}$	$x \notin \{x_i, \dots, x_n\} \wedge R(x_i) = R(x) \wedge \sum_{j=1}^{i-1} c_i(x_j) = 0, c_i(x_j) \equiv (x \notin \{x_j, \dots, x_i\} \wedge x_i = x_j)$ $x \notin \{x_i, \dots, x_n\} \wedge R(x_i) = R(x)$
	тегсет находится в начальном состоянии буфера и был вытеснен, к нему не было обращений в шаблоне	$\lambda_\delta \in D$	$\begin{cases} x = \lambda_\delta \\ x \notin \{x_1, \dots, x_n\} \\ \sum_{i=1}^n u(x_i) \geq w - \delta + 1 \end{cases}$	$x_i \in \{\lambda_{\delta+1}, \dots, \lambda_\Delta\} \wedge x_i \notin \{x_1, \dots, x_{i-1}\}$ $R(x_i) = R(x)$
	тегсет находится в начальном состоянии буфера и был вытеснен, к нему было обращение в шаблоне после последнего внесения в буфер	$\lambda_\delta \in D$	$\begin{cases} x = \lambda_\delta \\ x \in \{x_1, \dots, x_n\} \\ \sum_{i=1}^n u(x_i) \geq w \end{cases}$	$x \notin \{x_i, \dots, x_n\} \wedge x_i \in \{\lambda_{\delta+1}, \dots, \lambda_\Delta\} \wedge \sum_{j=1}^{i-1} c_i(x_j) = 0, c_i(x_j) \equiv (x \notin \{x_j, \dots, x_i\} \wedge x_i = x_j)$ $x \notin \{x_i, \dots, x_n\} \wedge R(x_i) = R(x)$

Таблица А.4. Таблица систем уравнений для тестовых ситуаций в LRU кэширующем буфере с «грязными» ячейками в начальном состоянии, использующих функции полезности



# Литература

- [1] *Д.Н.Воробьев.* Генерация тестовых программ для подсистемы управления памятью микропроцессоров / Д.Н.Воробьев, А.С.Камкин // *Труды Института Системного Программирования РАН.* — 2009.
- [2] *В.З.Шнитман.* Современные высокопроизводительные компьютеры / В.З.Шнитман // *Центр информационных технологий.* — 1996.
- [3] *Б.Томпсон.* Управление памятью / Б.Томпсон // *Computerworld Россия.* — 2001.
- [4] *В.П.Пасько.* Энциклопедия ПК. Аппаратура.Программы.Интернет / В.П.Пасько. — Питер, 2004.
- [5] *В.В.Кулямин.* Технологии программирования. Компонентный подход / В.В.Кулямин. — М: ИНТУИТ-Бином, 2007. — С. 463.
- [6] *А.С.Камкин.* Комбинаторная генерация тестовых программ для микропроцессоров на основе моделей / А.С.Камкин // *Препринт Института Системного Программирования РАН.* — 2008. — Т. 21.
- [7] *Е.В.Корныхин.* Генерация тестовых данных для тестирования арифметических операций центральных процессоров / Е.В.Корныхин // *Труды Института Системного Программирования.* — 2008. — Т. 15. — С. 107–117.
- [8] *В.В.Кулямин.* Интеграция методов верификации программного обеспечения / В.В.Кулямин // *Программирование.* — 2009. — Т. 35, № 4. — С. 212–222.
- [9] *Е.В.Корныхин.* Система генерации тестовых программ с использованием

ограничений ТЕСЛА / Е.В.Корныхин // *Сборник тезисов конференции Ломоносов.* — 2009. — С. 39.

- [10] *Е.В.Корныхин.* Система генерации тестовых данных для системного функционального тестирования микропроцессоров ТЕСЛА / Е.В.Корныхин // *Сборник тезисов конференции «Микроэлектроника и информатика».* — 2009. — С. 87.
- [11] *Е.В.Корныхин.* Генерация тестовых данных для системного функционального тестирования микропроцессоров с учетом кэширования и трансляции адресов / Е.В.Корныхин // *Труды Института Системного Программирования.* — 2009.
- [12] *Е.В.Корныхин.* Генерация тестовых данных для системного функционального тестирования fifo-кэш-памяти микропроцессоров / Е.В.Корныхин // *Вычислительные методы и программирование.* — 2009. — Т. 10. — С. 107–116.
- [13] *Е.В.Корныхин.* Генерация тестовых данных для тестирования механизмов кэширования и трансляции адресов микропроцессоров / Е.В.Корныхин // *Программирование.* — 2010. — Т. 36, № 1. — С. 1–10.
- [14] Подход unitesk к разработке тестов: достижения и перспективы / А.В.Баранцев, И.Б.Бурдонов, А.В.Демаков и др. // *Труды Института Системного Программирования РАН.* — 2004. — Т. 5. — С. 121–156.
- [15] *Ackermann, W.* Solvable cases of the decision problem / W. Ackermann // *Studies in Logic and the Foundations of Mathematics.* — 1954.
- [16] *Adleman, L.* Computational complexity of decision procedures for polynomials / L. Adleman, K. Manders // *Symposium on Foundations of Computer Science.* — 1975. — Vol. 0. — Pp. 169–177.
- [17] An approach to functional testing of VLIW architectures / M. Beardo, F. Bruschi, F. Ferrandi, D. Sciuto // *Proceedings of the IEEE International High-Level Validation and Test Workshop (HLDVT'00).* — 2000. — Pp. 29–33.

- [18] *Apt, K. R.* Constraint Logic Programming using Eclipse / K. R. Apt, M. Wallace. — New York, NY, USA: Cambridge University Press, 2007.
- [19] *Ashenden, P. J.* The Designer's Guide to VHDL / P. J. Ashenden. — Elsevier, 2008.
- [20] Automatic test program generation – a case study / F. Corno, E. Sanchez, M. S. Reorda, G. Squillero // *IEEE Design & Test, Special issue on Functional Verification and Testbench Generation*. — 2001. — March-April. — Vol. 21, no. 2. — Pp. 102–109.
- [21] *Bartak, R.* Theory and practice of constraint propagation / R. Bartak // *Proceedings of the Third Workshop on Constraint Programming for Decision and Control (CPDC-01)*. — 2001. — Pp. 7–14.
- [22] *Bryant, E.* Microprocessor verification using efficient decision procedures for a logic of equality with uninterpreted functions / E. Bryant, S. M. German, M. N. Velev // *Analytic Tableaux and Related Methods*. — 1999. — Pp. 1–13.
- [23] *Burch, J. R.* Automatic verification of pipelined microprocessor control / J. R. Burch, D. L. Dill // *Proceedings of CAV '94*. — 1994.
- [24] Chaff: Engineering an efficient sat solver / M. Moskewicz, C. Madigan, Y. Zhao et al. // *Proceedings of the 39th Design Automation Conference (DAC 2001), Las Vegas*. — 2001.
- [25] *Dandamudi, S. P.* Fundamentals of computer organization and design / S. P. Dandamudi. — Springer, 2003.
- [26] *Davis, M.* A machine program for theorem-proving / M. Davis, G. Logemann, D. Loveland // *Communications of the Association for Computing Machinery*. — 1962. — Vol. 5. — Pp. 394–397.
- [27] *Davis, M.* A computing procedure for quantification theory / M. Davis, H. Putnam // *Journal of the Association for Computing Machinery*. — 1960. — Vol. 7, no. 3. — Pp. 201–215.
- [28] *de Moura, L.* Z3: An efficient smt solver / L. de Moura, N. Bjørner // *Conference on Tools and Algorithms for the Construction and Analysis of Systems (TACAS)*. — 2008.

- [29] *de Moura, L.* Yices 1.0: An efficient smt solver / L. de Moura, B. Dutertre // *The Satisfiability Modulo Theories Competition (SMT-COMP)*. — 2006.
- [30] *Dechter, R.* Backtracking algorithms for constraint satisfaction problems: Tech. rep. / R. Dechter, D. Frost: Department of Information and Computer Science, University of California, Irvine, 1999.
- [31] Deeptrans — a model-based approach to functional verification of address translation mechanisms / A. Adir, R. Emek, Y. Katz, A. Koyfman // MTV. — 2003. — Pp. 3–6.
- [32] An efficient finite domain constraint solver for circuits / G. Parthasarathy, M. K. Iyer, K. Cheng, L. Wang // *Proceedings of DAC'04*. — 2004.
- [33] Efficient satisfiability modulo theories via delayed theory combination / M. Bozzano, R. Bruttomesso, A. Cimatti et al. // *Proceedings of the International Conference on Computer-Aided Verification, CAV 2005*. — 2005.
- [34] Encoding rtl constructs for mathsat: a preliminary report / M. Bozzano, R. Bruttomesso, A. Cimatti et al. // *Proceedings of the PDPAR'05*. — 2006.
- [35] Evaluation of cardinality constraints on smt-based debugging / A. Sülflow, R. Wille, G. Fey, R. Drechsler // *Multiple-Valued Logic, IEEE International Symposium on*. — 2009. — Vol. 0. — Pp. 298–303.
- [36] *Fallah, F.* A new functional test program generation methodology / F. Fallah, K. Takayama // *Proceedings 2001 IEEE International Conference on Computer Design: VLSI in Computers and Processors*. — 2001. — Pp. 76–81.
- [37] Feedback-directed random test generation / C. Pacheco, S. K. Lahiri, M. D. Ernst, T. Ball // *Proceedings of the 29th International Conference on Software Engineering*. — 2007. — Pp. 75–84.
- [38] *Fournier, L.* Functional verification methodology for microprocessors using the genesys test-program generator-application to the x86 microprocessors family / L. Fournier, Y. Arbetman, M. Levinger // DATE. — 1999. — Pp. 434–441.

- [39] Genesys-pro: Innovations in test program generation for functional processor verification / A. Adir, E. Almog, L. Fournier et al. // *IEEE Design and Test of Computers*. — 2004. — Mar/Apr. — Vol. 21, no. 2. — Pp. 84–93.
- [40] Grund, D. Estimating the performance of cache replacement policies / D. Grund, J. Reineke // *6th ACM & IEEE International Conference on Formal Methods and Models for Co-Design (MEMOCODE 2008), June 5-7, 2008, Anaheim, CA, USA*. — 2008. — Pp. 101–112.
- [41] Hadjiyiannis, G. ISDL: An instruction set description language for retargetability / G. Hadjiyiannis, S. Hanono, S. Devadas // *Proceedings of the 34th Design Automation Conference*. — 1997. — June. — Pp. 299–302.
- [42] Handbook of Automated Reasoning (in 2 volumes) / Ed. by J. A. Robinson, A. Voronkov. — Elsevier and MIT Press, 2001.
- [43] Hennessy, J. L. Computer architecture: a quantitative approach / J. L. Hennessy, D. A. Patterson. — 3 edition. — Morgan Kaufmann, 2003.
- [44] Hennessy, J. L. Computer architecture: a quantitative approach / J. L. Hennessy, D. A. Patterson, A. C. Arpaci-Dusseau. — 4 edition. — Morgan Kaufmann, 2007.
- [45] Industrial experience with test generation languages for processor verification / A. Adir, E. Almog, L. Fournier et al. // *IEEE Design and Test of Computers*. — 2004. — Mar./Apr. — Vol. 21, no. 2. — Pp. 84–93.
- [46] Industrial experience with test generation languages for processor verification / M. Behm, J. Ludden, Y. Lichtenstein et al. // *Proceedings of the 41st Design Automation Conference (DAC'04)*. — 2004.
- [47] Kohno, K. A new verification methodology for complex pipeline behavior / K. Kohno, N. Matsumoto // *Proceedings of the 38th Design Automation Conference (DAC'01)*. — 2001.
- [48] Kornikhin, E. Test data generation for arithmetic subsystem of CPUs MIPS64 / E. Kornikhin // *Proceedings of Spring Young Researchers Colloquium on Software Engineering*. — 2008. — Vol. 2. — Pp. 43–46.

- [49] Kornikhin, E. Test data generation for LRU cache-memory testing / E. Kornikhin // *Proceedings of Spring Young Researchers Colloquium on Software Engineering*. — 2009. — Pp. 88–92.
- [50] Kornikhin, E. SMT-based test program generation for cache-memory testing / E. Kornikhin // *Proceedings of East-West D T S*. — 2009. — Pp. 124–127.
- [51] Kroening, D. Decision Procedures: an algorithmic point of view / D. Kroening, O. Strichman. — Springer, 2008.
- [52] Kumar, V. Algorithms for constraint satisfaction problems: A survey / V. Kumar // *AI Magazine*. — 1992. — Vol. 13, no. 1. — Pp. 32–44.
- [53] Kuncak, V. Towards efficient satisfiability checking for boolean algebra with presburger arithmetic / V. Kuncak, M. C. Rinard // *Proceedings of the 21st International Conference on Automated Deduction CADE, Bremen, Germany, July 17-20*. — 2007. — Pp. 215–230.
- [54] Metropolis, N. The monte carlo method / N. Metropolis, S. Ulam // *Journal of American Statistical Association*. — 1949. — Vol. 44, no. 247. — Pp. 335–341.
- [55] Miczo, A. Digital logic testing and simulation / A. Miczo. — Wiley-Interscience; 2 edition, 2003.
- [56] Montanari, U. Networks of constraints: Fundamental properties and applications to picture processing / U. Montanari // *Information Sciences*. — 1974. — Vol. 7. — Pp. 95–132.
- [57] Nelson, G. A simplifier based on efficient decision algorithms / G. Nelson, D. C. Oppen // *Proc. 5th ACM SIGACT-SIGPLAN symposium on Principles of programming languages*. — 1978. — Pp. 141–150.
- [58] Nelson, G. Simplification by cooperating decision procedures / G. Nelson, D. C. Oppen // *ACM Transactions on Programming Languages and Systems*. — 1979. — Vol. 1, no. 2. — Pp. 245–257.

- [59] *Piskac, R.* Decision procedures for multisets with cardinality constraints / R. Piskac, V. Kuncak // *Proceedings of the 9th International Conference on Verification, Model Checking, and Abstract Interpretation, VMCAI 2008, San Francisco, USA.* — 2008. — Pp. 218–232.
- [60] Powerpc 750 RISC microprocessor technical summary: Tech. rep.: Motorola, 1997.
- [61] Powerpc g5 user's manual: Tech. rep.: IBM, 2008.
- [62] *Puget, J.-F.* A c++ implementation of CLP / J.-F. Puget // *Proceedings of the 2nd Singapore International Conference on Intelligent Systems.* — 1994.
- [63] *Revesz, P. Z.* The expressivity of constraint query languages with boolean algebra linear cardinality constraints / P. Z. Revesz // *Proceedings of Advances in Databases and Information Systems, 9th East European Conference, ADBIS 2005, Tallinn, Estonia, September 12-15, 2005, Proceedings.* — 2005. — Pp. 167–182.
- [64] *Rossi, F.* Handbook of Constraint Programming (Foundations of Artificial Intelligence) / F. Rossi, P. van Beek, T. Walsh. — New York, NY, USA: Elsevier Science Inc., 2006.
- [65] *Selman, B.* Local search strategies for satisfiability testing / B. Selman, H. Kautz, B. Cohen // *Cliques, Coloring, and Satisfiability: Second DIMACS Implementation Challenge.* — 1993.
- [66] *Shiva, S. G.* Computer design and architecture / S. G. Shiva. — 3d edition. — Atlantic/Little, Brown, 2000.
- [67] *Shostak, R. E.* Deciding combinations of theories / R. E. Shostak // *Journal of the ACM.* — 1984. — Vol. 31. — Pp. 1–12.
- [68] EXPRESSION: A language for architecture exploration through compiler/simulator retargetability. / A. Halambi, P. Grun, V. Ganesh et al. // *Proceedings of the European Conference on Design, Automation and Test.* — 1999. — Pp. 485–490.

- [69] MAATG: A functional test program generator for microprocessor verification / T. Li, D. Zhu, Y. Guo et al. // *Proceedings of the 2005 8th Euromicro conference on Digital System Design (DSD'05)*. — 2005.
- [70] MIPS Technologies. — MIPS64™ Architecture For Programmers Volume II: The MIPS64™ Instruction Set, 2001.
- [71] MIPS Technologies. — MIPS64™ Architecture For Programmers Volume III: The MIPS64™ Privileged Resource Architecture, 2001.
- [72] Intelligent Systems Laboratory, Swedish Institute of Computer Science. — SICStus Prolog User's manual, release 4, 2009.
- [73] *Tveretina, O.* A decision procedure for equality logic with uninterpreted functions / O. Tveretina // *Artificial Intelligence and Symbolic Mathematical Computation, Lecture Notes in Artificial Intelligence*. — 2004. — Vol. 3249. — Pp. 63–76.
- [74] Using a constraint satisfaction formulation and solution techniques for random test program generation / E. Bin, R. Emek, G. Shurek, A. Ziv // *IBM Systems Journal*. — 2002. — Vol. 41, no. 3. — Pp. 386–402.